

انتقال حرارت در نیروگاه ها

مقدمه

در این فصل ما بر روی تاثیر پارامترهای گوناگون و خصوصیات انتقال حرارت خارجی اجزاء توربین تمرکز می نماییم. پیشرفتها در طراحی محفظه احتراق منجر به دماهای ورودی توربین بالاتر شده اند که به نوبه خود بر روی بار حرارتی و مولفه های عبور گاز داغ تاثیر می گذارد. دانستن تاثیرات بار حرارتی افزایش یافته از اجزایی که گاز عبور می کند طراحی روش‌های موثر سرد کردن برای محافظت از اجزاء امری مهم است. گازهای خروجی از محفظه احتراق به شدت متلاطم می باشد که سطوح و مقادیر تلاطم ۲۰٪ تا ۲۵٪ در پره مرحله اول می باشد. مولفه های مسیر گاز داغ اولیه، پره های هادی نازل ثابت و پره های توربین درحال دوران می باشد. شرائط توربین، نوک های پره، سکوها و دیواره های انتهایی نیز نواحی بحرانی را در مسیر گاز داغ نشان می دهد. بررسی های کاربردی و بنیادی در ارتباط با تمام مولفه های فوق به درک بهتر و پیش بینی بار حرارتی به صورت دقیق تر کمک کرده اند. اکثر بررسی های انتقال حرارت در ارتباط با مولفه های مسیر گاز داغ مدل هایی در مقیاس بزرگ هستند که در شرایط شبیه سازی شده بکار می روند تا درک بنیادی از پدیده ها را فراهم سازد. مولفه ها با استفاده از سطوح صاف و منحنی شبیه سازی شده اند که شامل مدل های لبه راهنمایی و کسکید های^۱ ایرفویل های مقیاس بندی شده می باشد. در این فصل، تمرکز بر روی نتایج آزمایشات انتقال حرارت بدست آمده توسط محققان گوناگون روی مولفه های مسیر گاز خواهد بود. انتقال حرارت به پره های مرحله اول در ابتدا تحت تاثیر پارامترهای از قبیل پروفیل دمای خروجی محفظه احتراق، تلاطم زیاد جریان آزاد و مسیر های داغ می باشد. انتقال

1.cascades

حرارت به تیغه های روتور مرحله اول تحت تاثیر تلاطم جریان آزاد متوسط تا کم ، جریان های حلقوی نا پایدار ، مسیر های داغ و البته دوران می باشد.

2.1.1- سرعت خروجی محفظه احتراق و پروفیل های دما

سطح تلاطم در محفظه احتراق خیلی مهم هستند که ناشی از تاثیر چشمگیر انتقال حرارت همرفتی به مولفه های مسیر گاز داغ در توربین می باشد. تلاطم تاثیر گزار بر روی انتقال حرارت توربین ها در محفظه احتراق تولید می شود که ناشی از سوخت به همراه گاز های کمپرسور می باشد. آگاهی از قدرت تلاطم تولید شده توسط محفظه احتراق برای طراحان در بر آورد مقادیر انتقال حرارت در توربین مهم است. تلاطم محفظه احتراق کاهش یافته، می تواند منجر به کاهش بار حرارتی در اجزاء توربین و عمر طولانی تر و همچنین کاهش نیاز به سرد کردن می شود. بر سی های انجام شده بر روی اندازه گیری سرعت خروجی محفظه احتراق و پروفیل های تلاطم مرکز شده است.

Goldstein Moss سرعت خروجی و پروفیل های تلاطم را برای محفظه احتراق مدل نشان داد. Oldfield طیف های تلاطم را در خروجی های محفظه احتراق نشان دادند. هر کدام از بر سی های فوق در فشار اتمسفر و دمای کم انجام شد. اگرچه بدست آوردن آوردن انرازه گیری ها تحت شرایط واقعی مشکل است اما برای یک طراح توربین گاز درک بهبود هندسه محفظه احتراق و پروفیل های گاز خروجی از محفظه امری ضروری است. این اطلاعات به بهبود شرایط هندسه و تاثیرات نیاز های سرد کردن توربین کمک می نماید.

اخيراً، Goebel سرعت محفظه احتراق و پروفیل های تلاطم در جهت موافق جريان يک محفظه احتراق کوچک با استفاده از يک سیستم سرعت سنج دوپلر ولسیمتر (LDV) را اندازه گيري کردنند. آنها سرعت نرماليزه شده، تلاطم و پروفیل های دمای موجود برای تمام آزمایش های احتراق را نشان دادند. آنها يک محفظه احتراق از نوع قوطی مانندبکار رفته در موتور های تورбин گاز مدرن را استفاده کردن، که در شکل ۲-۱ نشان داده شده است. جريان از کمپرسور و از طریق سوراخ ها وارد محفظه احتراق می شود و با سوخت محترق در محل های متفاوت در جهت موافق جريان

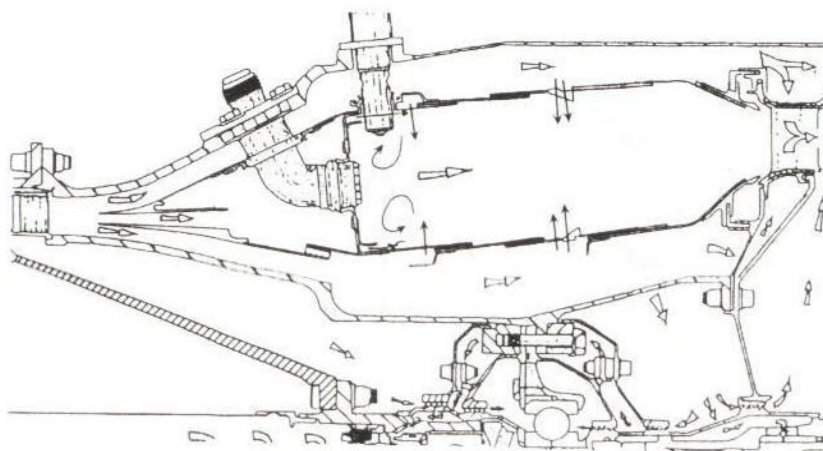


Figure 2.1

مخلوط می شود. طراحی محفظه احتراق حداقل مستلزم يک افت فشار از طریق محفظه احتراق تا ورودی تورbin است. فرایند محفظه احتراق توسط اختلاط تدریجی هوای فشرده با سوخت در محفظه قوطی شکل کنترل می شود. طراحان محفظه احتراق نوین نیز بر روی مشکلات و مسائل ترکیب و فرایند اختلاط هوای سوخت تمرکز می نمایند احتراق تمیز نیز یک مسئله و کانون برای طراحان ناشی از استاندارد های محیطی الزامی شده توسط دولت فدرال آمریکا و EPA می باشد. با این حال، طراح محفظه احتراق یک مسئله مورد بحث در این کتاب نمی باشد.

شکل ۲-۲ تاثیر احتراق بر روی سرعت محوری، شدت تلاطم محوری، سرعت پیچ و تاب

مارپیچی) و شدت تلاطم پیچ و تاب را نشان میدهد. تمام سرعت‌ها توسط خط مرکزی سرعت



اندازه گیری شده و در مقابل شعاع نرمالیزه رسم شدند. جریان جرم و فشار هوا برای قدرت های

مختلف احتراق اندازه گیری شدند. افزایش جریان سوخت باعث افزایش استحکام احتراق

گردید. دمای شعله آدیباتیک تغییر داده شد. هوای فشرده در یک موتور توربین گاز ناشی از فرایند

تراکم پیش گرم می باشد. با این حال، در این بررسی، هوا پیش گرم نمی شود. جریان جرم



و فشار 0.45 kg/s و 6.8 اتمسفر بودند. دمای های شعله از 71°F تا 1980°F متغیر بود. تاثیر

احتراق شدیداً آشکار است هنگامی که حالت آتش گرفته را با بقیه حالتهای آتش گرفته مقایسه می

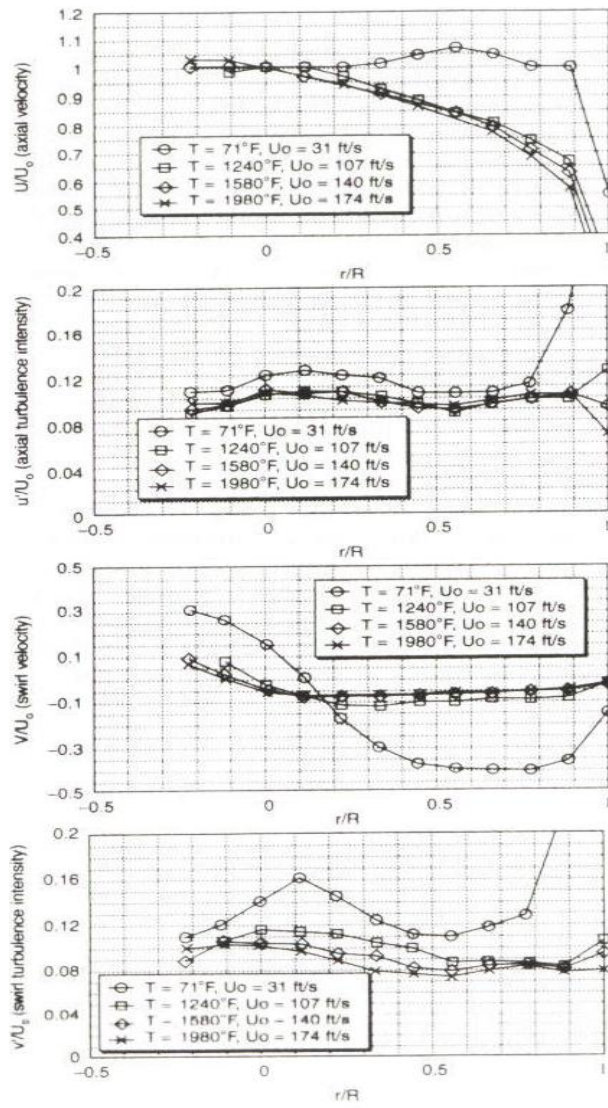


Figure 2.2

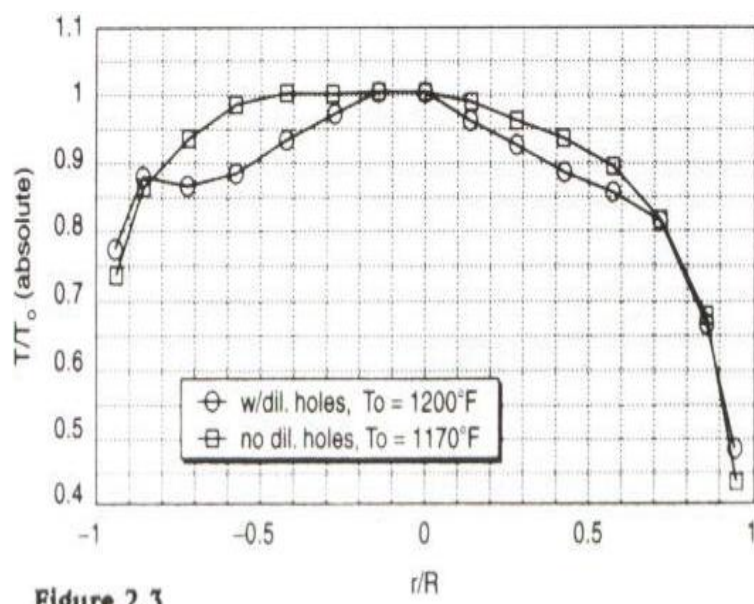
نماییم. سرعت محوری و سرعت پیچ و تاب (مارپیچی) شدیداً تحت تاثیر احتراق هستند، مقداری

پیچ و تاب توسط احتراق کم می‌شود. کاهش در پیچ و تاب می‌تواند در شدت تلاطم مشاهده

شود. مقدار اوج در شدت تلاطم از 10% تا 16% از حالت غیر مشتعل تا کاملاً مشتعل کاهش

یافتند.

پروفیل های دما نیز برای حالت های احتراق اندازه گیری شدند. شکل ۲-۳ تاثیر سوراخ های رقیق سازی را برای دما های آتش زدن مشابه ($1200^{\circ}F$) مقایسه مینماید. پروفیل دما نسبتاً صاف و یکنواخت و بدون سوراخ های رقیق سازی، با مقادیر اوج در خط مرکز می باشد. با این حال افزودن سوراخ های رقیق سازی باعث کاهش مقادیر دما بین خط مرکز و لبه ها می گردد. آگاهی از پروفیل دمای خروجی محفظه احتراق یک ضرورت برای محاسبات انتقال حرارت مسیر گاز می باشد. اندازه گیری های پروفیل خروجی دما یک روال تولید کنندگان توربین گاز است. پروفیل های دمای گاز ورودی برای محاسبات انتقال حرارت مولفه مسیر گاز برای برآورد کردن دماهای مولفه لازم هستند. مقایسه پروفیل های دمای محفظه احتراق ناشی از منحصر بفرد بودن طراحی امری دشوار است. با این حال، بررسی های فوق آگاهی هایی در مورد سرعت، شدت تلاطم و پروفیل های دما و تاثیرات احتراق ببروی آنها فراهم می کنند. مقیاس اندازه دما یک عامل مهم برای انتقال حرارت مسیر گاز است. با این حال، بررسی های فوق هیچ نوع اطلاعاتی در مورد مقیاس اندازه دما فراهم نمی کنند.



2.2- انتقال حرارت در مرحله های توربین:

2.2.1- مقدمه :

یک مرحله توربین شامل یک ردیف از پره های هادی نازل یا استاتور و یک ردیف از پره های دوران کننده موسوم به روتورها میباشند. سیال وارد معتبرهای توربین شده و در جهت لبه پره های هادی روتور خمیده می شود. یک بخش از انرژی سیال به انرژی مکانیکی ناشی از حرکت دورانی پره های روتور تبدیل می شود. پره های روتور به محور توربین متصل هستند. حرکت دورانی منتقل شده به محور برای راه اندازی کمپرسور استفاده می شود. شکل ۲-۴ یک مرحله توربین را نشان داده که از یک معبر پره هادی نازل و یک معبر پره روتور تشکیل شده است. نمودار سرعت برای مرحله (استیج) نیز نشان داده می شود.

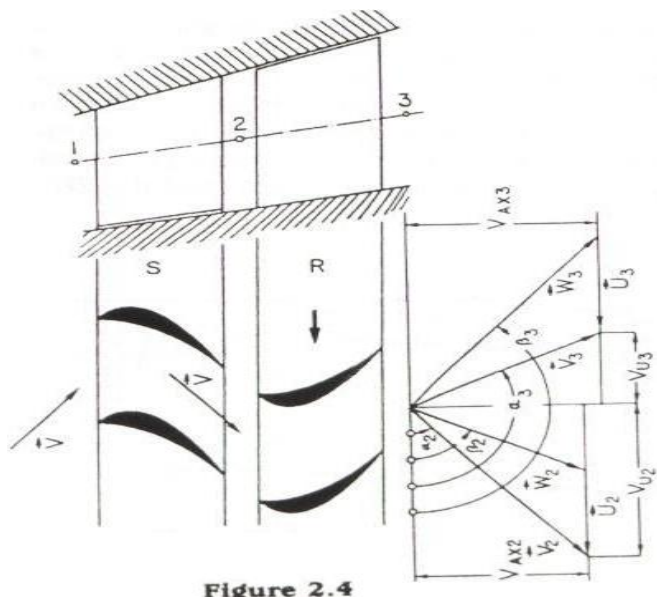


Figure 2.4

2.2.2- استیج توربین موتور واقعی:

درک جنبه های انتقال حرارت برای تمام مولفه های (اجزاء) توربین تحت شرایط واقعی امری مهم است. عنوان نمونه، سنجش هایی که بر روی یک توربین تک مرحله تحت شرایط موتور می توانند برای فراهم کردن تمام اطلاعات انتقال حرارت درباره اجزای مسیر گاز استفاده شود. تجهیزات و آزمایشات در مورد استیج های توربین واقعی تحت شرایط موتور بسیار نادر هستند. فقدان ابزارهای دقیق اندازه گیری دما بالا و دشواری در تجهیز توربین با دستگاه های اندازه گیری دما و فشار از جمله دلایل تلاش های محدود در بررسی انتقال حرارت یک استیج واقعی تحت شرایط موتور واقعی می باشند.

اکثر نتایج اولیه بر روی انتقال حرارت روتور- استاتور واقعی توسط Dunn از مرکز فن آوری پیشرفتی Calspan تهیه شده اند. Dunn مقدار قابل توجهی از اطلاعات درباره اندازه گیری های فلوی (جريان) حرارت برای های هادی نازل (دیوار انتهای وايرفویل ها)، پره روتور، نوک روتور، سکو و شراع ها (shroud) را ارائه کرد. Dunn از یک توربین گردان کامل از موتور استفاده کرد. آنها اندازه گیری فلوی حرارت درباره پره هادی نازل Gerratt TFE 731-2

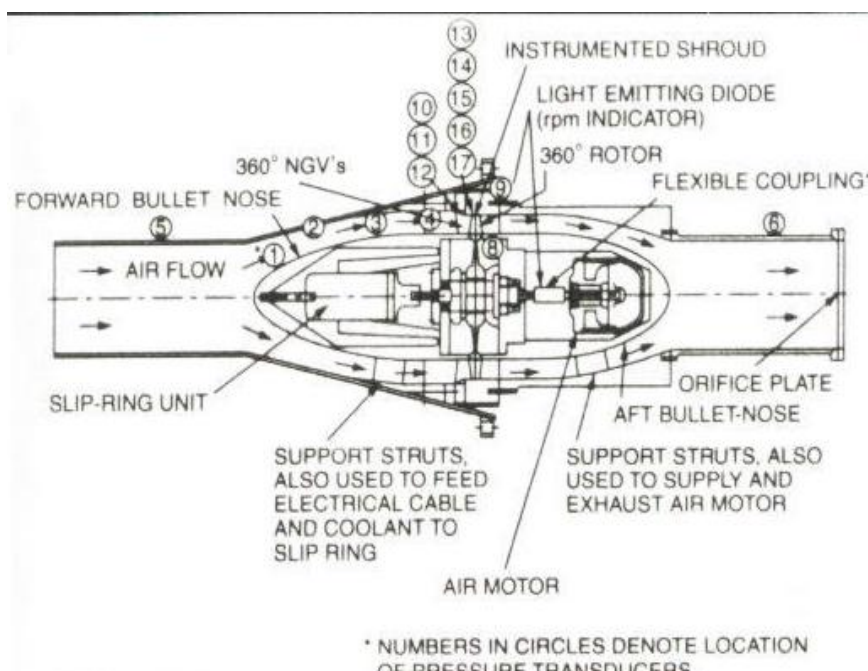


Figure 2.5

(NGV)، روتور و شراع توربین گزارش کردند. یک مجموعه شوک-تونل برای ارائه شرایط خوب تعريف شده در نظر گرفته شد و تعداد کافی از پارامترها برای بهبود اطمینان در اطلاعات طراحی و فنون در حال توسعه مطرح گردید. اندازه گیری های فشار استاتیک با استفاده از آشکار سازهای فشار بر روی مقطع کلی توربین بدست آمدند. گیج های جریان حرارت فیلم نازک در استیج توربین روی دیوار انتهایی نوک NGV و مکش موتور وسطوح فشار نصب شدند. شکل ۲-۵ مجموعه تونل-شوک بکاررفته Dunn را نشان می دهد.

Dunn نیز اندازه گیری های فشار و فلوی حرارت را برای یک استیج توربین با نسبت کم ارائه کرد. در بررسی های فوق الذکر، آنها یک استیج پر فشار با یک نسبت تقریباً ۱.۵ را مطالعه کردند. یک توربین نیروی هوایی / Garentt (LART) با نسبت کم با نسبت تقریباً ۱.۵ برای این بررسی

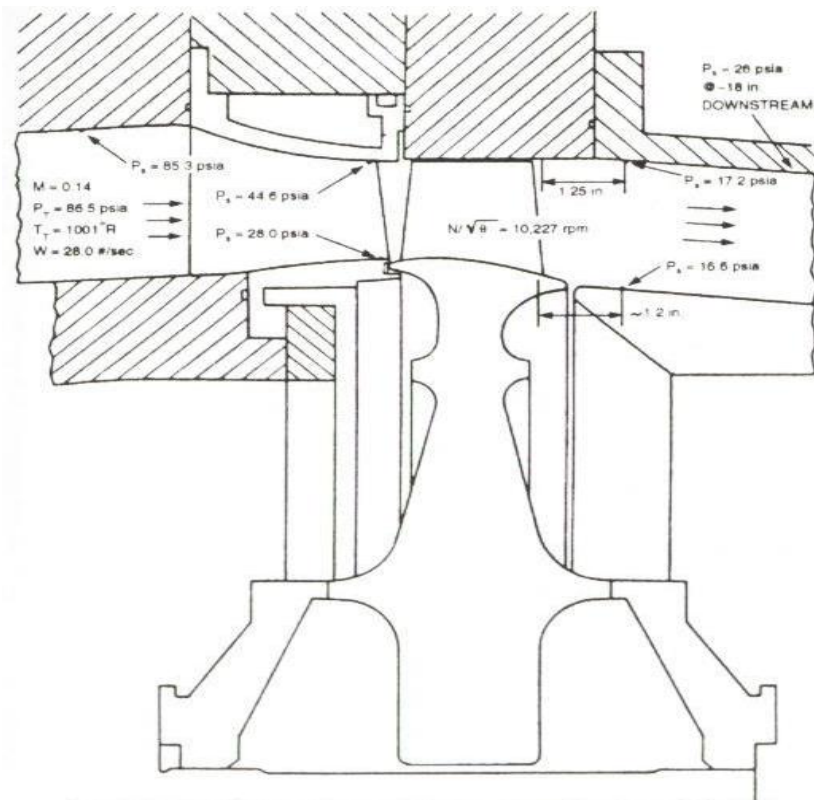


Figure 2.6

استفاده گردید. یک مجموعه تونل باد لوله مانند برای شوک مشابه در بررسی های اولیه استفاده گردید. شکل ۲-۶ طرحی از استیج LART را نشان میدهد. عدد ورودی، فشار کلی، دمای کلی و جریان وزن بر روی شکل نشان داده می شوند. اندازه گیری ها برای توپی NGV و دیواره های انتهایی نوک و پره روتور برای این استیج بدست آمدند.

شکل ۲-۷ توزیع های فشار اندازه گیری شده بر روی NGV و خطوط میانی روتور را نشان می دهد. توزیع های فشار بطور واضح بالا ترین و پایین ترین محل های سرعت NGV و سطوح پره در امتداد خط مرکزی را نشان می دهند.

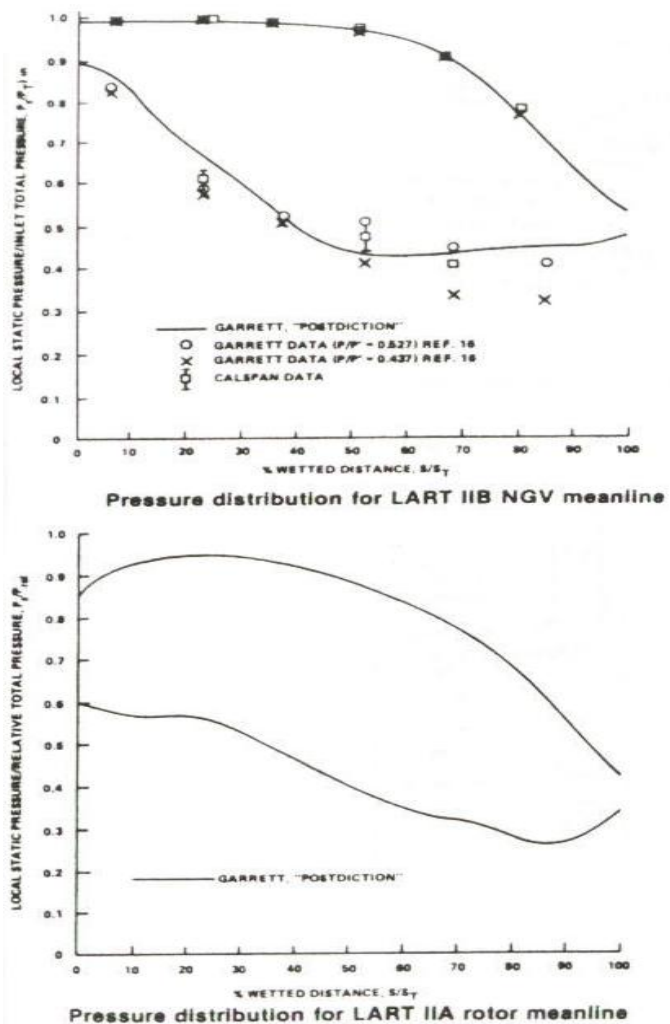


Figure 2.7

شکل ۲-۸ توزیع عدد stanton را برای خط میانی NGV نشان می دهد. خطوط پر و خط چین

طرح توزیع های عدد stanton محاسبه شده را بر اساس روابط صفحه تخت لایه ای و تلاطم به ترتیب نشان می دهند. بالا ترین عدد stanton در محدوده فاصله سطح بر روی سطح فشار رخ می دهد. آنگاه عدد stanton به سرعت بر روی سطح فشار تا حدود نصف مقدار در فاصله سطح، ۱۱٪ افت می کند و سپس بتدريج بر روی سطح فشار کل تا دنباله لبه افزایش می يابد.توزيع های فشار آشکار میباشد که جريان سطح فشار در ۵۰٪ فاصله سطح اوليه خيلي آهسته است و سپس سرعت به طرف دنباله لبه زياد می شود. اين رفتار در عدد stanton به انتقال لایه مرزی تلاطم -

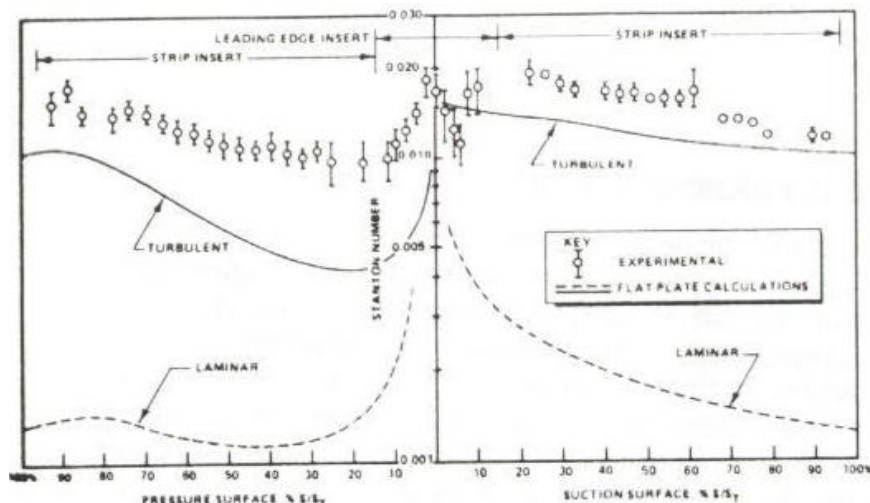


Figure 2.8

لایه ای معروف می باشد که در حدود فاصله سطح ۶٪ رخ می دهد(نسبت داده می شود). وقتی انتقال در فاصله سطح ۲۵٪ کامل می شود، عدد stanton بتدريج بطرف دنباله لبه کاهش میابد. از اين روابط، بنظر می رسد که سطوح فشار و مکش داراي لایه های مرزی تلاطم قوي هستند و اعداد stanton پيش بیني شده خيلي کمتر از مقادير اندازه گيري شده هستند.

Dunn اندازه گيري های مربوط به توپي NGV و دیواره های انتهایی نوک را انجام داد. شکل ۹-۲ اطلاعات عدد stanton را برای محل های نزدیک دیواره انتهایی سطح فشار، وسط دیواره

انتهایی و نواحی دیوار انتهای سطح مکش مجاور نشان می دهد. توبی^۱ و نوک دیواره انتهایی روشهای مشابه را نشان می دهند. اعداد stanton در حدود 60% فاصله سطح از لبه راهنمای

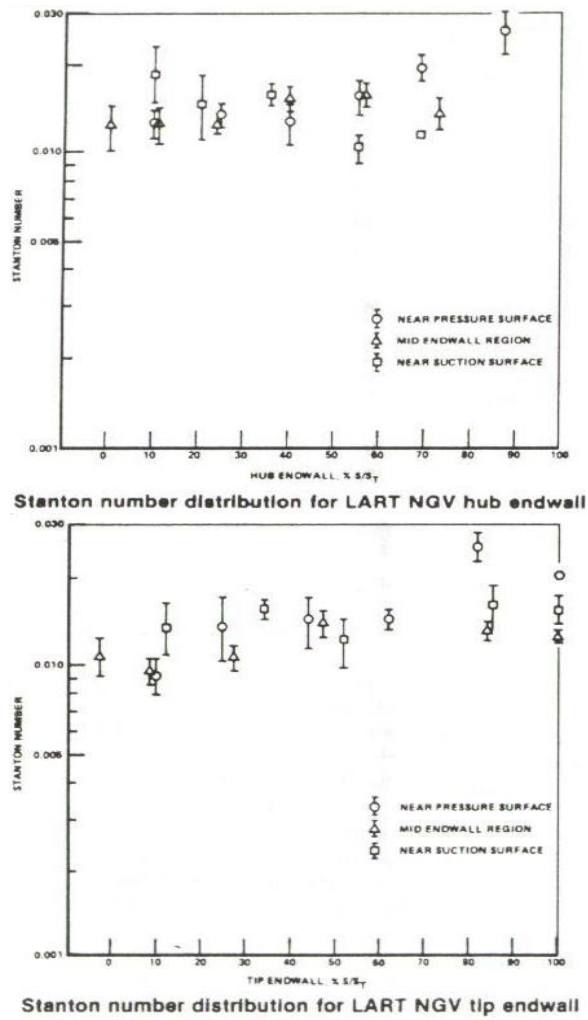


Figure 2.9

دنباله لبه غیر تخت می باشد و سپس به طرف دنباله لبه افزایش می یابد.

اعداد stanton بالاتر نزدیک به دنباله لبه ممکن است ناشی از جریان شتاب دار باشد.

شکل ۲-۱۰ توزیع عدد stanton بر روی تیغه روتور را نشان می دهد. تحلیل اطلاعات بخوبی تحلیل برای NGV ناشی از مسئله اضافی بدست آوردن اطلاعات بر روی یک مولفه گردان نمی باشد. توزیع های عدد stanton مشابه روی سطوح فشار و مکش پره می تواند به دوران پره کمک

1.hub

Dunn نشان می دهد که آنها مشاهده کردند تاثیر دوران تغییرات توزیع عدد stanton بر روی فویل هوای را کاهش میدهد. عدد اوچ stanton در فصله تقریبی 3.5% در سمت فشار رخ می داد. عدد stanton به سرعت از لبه هدایت کننده تا حدود 30% فاصله سطح سقوط می کند. توزیع فشار برای پره نشان می دهد که جریان در حدود 37% فاصله سطح در طرف مکش سونیک می شود. در این نقطه عدد stanton سطح زیاد می شود و به حداقل مقدار فاصله سطح دیگر حدود 70% میرسد. جدای از فاصله سطح 70% ، اعداد stanton به طرف دنباله لبه کاهش می یابد . با این حال Dunn هیچ اندازه گیری نزدیک ناحیه دنباله لبه ندارد مگر یک نقطه واحد در فاصله سطح 90% . روی سطح فشار پره عدد stanton از یک مقدار حداقل در فاصله دور 3.5% تا یک مقدار حداقل در فاصله سطح 25% افت می کند. این یک ناحیه دارای شیب فشار قوی میباشد که باعث کاهش سرعت جریان بر روی سطح فشار می گردد. سپس در جهت موافق جریان عدد Stanton مجددًا تا یک مقدار زیاد در حدود فاصله سطح 70% مانند حالت سطح مکش زیاد می شود. مقادیر عدد stanton از فاصله سطح 70% تا دنباله لبه بر روی سطح فشار کم میشوند.

پیش بینی های لایه ای و تلاطمی نیز روی شکل نشان داده میشود. پیش بینی های لایه

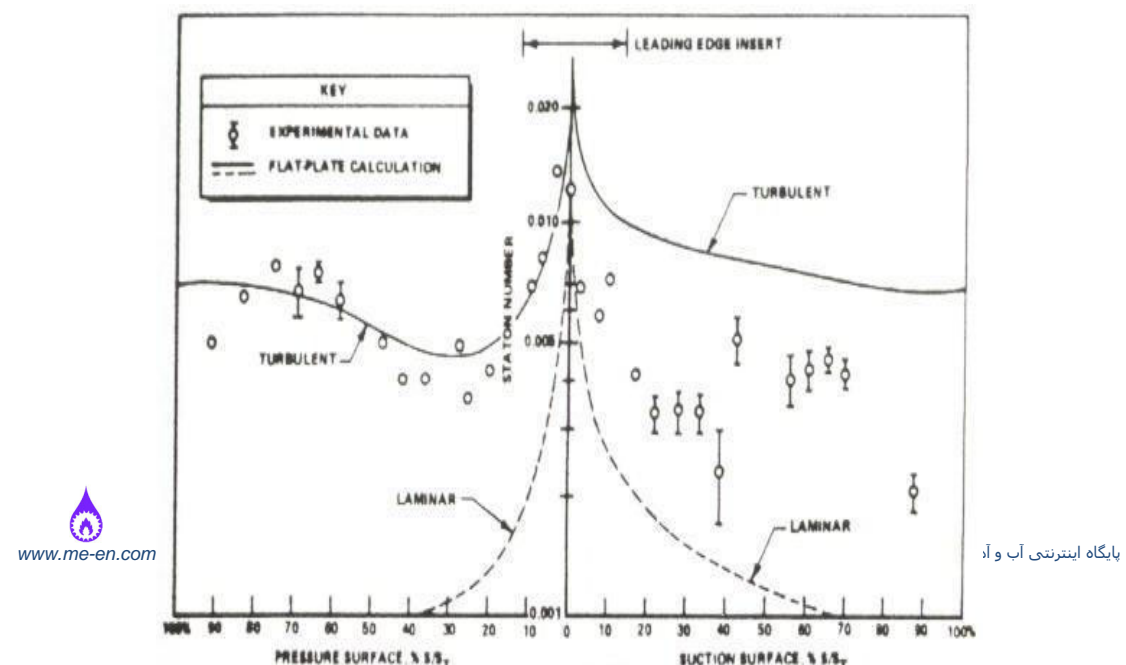


Figure 2.10

مرزی تلاطم(آشفته) با اطلاعات سطح فشار توافق خوبی دارد ولی خیلی بیشتر از اطلاعات سطح مکش است. بر اساس نتایج میتوانیم بگوییم که لایه مرزی سمت فشار از لبه هدایت کننده کاملاً "آشفته است، در حالیکه لایه مرزی سمت مکش ممکن است لایه ای شود و انتقال به لایه مرزی آشفته در امتداد سطح را طی نمایدو به لایه مرزی آشفته کامل نزدیک به دنباله لبه برسد.

شکل ۲-۱۱ توزیع عدد Stanton روی مرکز نوک پره را نشان می دهد. Dunn سه محل روی مرکز

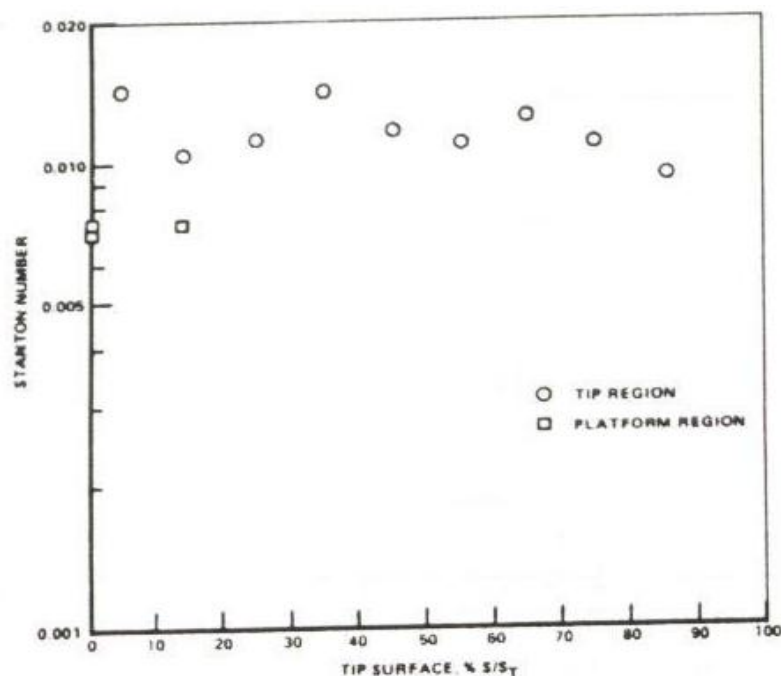


Figure 2.11

(سکو) و ده محل روی نوک برای اندازه گیری های جریان حرارت داشت. از اطلاعات چنین بنظر می رسد که اطلاعات Stanton ناحیه نوک خیلی بیشتر از ناحیه سکو است. در مقایسه با تاثیرات سطح پره، اعداد استانتون ناحیه نوک از مرتبه لبه هدایت گر پره هستند که انتقال حرارت زیاد را نشان می دهد. بعدها در این فصل درباره انتقال حرارت نوک پره صحبت می کنیم.

2.2.3- استیج توربن شبیه سازی شده:

آزمایشاتی روی دمای محیط در مقیاس بزرگ در مدل استیج Turbine-Blair انجام داد. مدل استیج Turbine شامل یک استاتور، یک روتور و یک استاتور اضافی پشت روتور بود. آنها همچنین تاثیرات آشفتگی ورودی، فاصله محوری روتور-استاتور و فاصله محیطی اولین و دومین استاتور بر روی

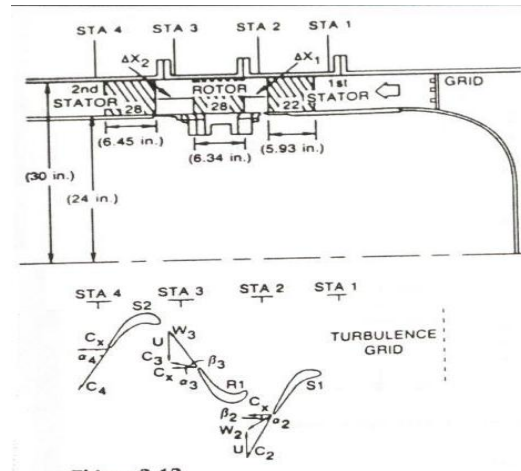


Figure 2.12

انتقال و ایرفویل های توربین را بررسی کردند. گزارش جامعی از این بررسی آزمایشی می تواند از مقاله Dring در مرکز تحقیقات فن آوری UTRC بدست آمد. جزئیات آزمایش و تجهیزات در بررسی های فوق یافت میشوند. شکل ۲-۱۲ شکل هندسی و زوایای جریان ایرفویل را نشان میدهد. این آزمایش برای اجرای بررسی های جریان اطراف توربن و پره کمپرسور طراحی گردید. مجموعه شامل $1\frac{1}{2}$ استیج در این این مطالعه هندسه توربین است.

شکل ۲-۱۳ فشار های استاتیک اندازه گیری شده روی ایرفویل را نشان میدهد. برای اولین استاتور، جریان روی سطح ایرفویل بخوبی رفتار کرد. سطح فشار و جریان موضعی بطور پیوسته از لبه هدایت کننده به تدریج بطرف دنباله لبه افزایش سرعت یافت و بخش بزرگی از افزایش پس از فاصله سطح 60% بود. سطح مکش جریان در ابتدا افزایش سرعت یافت و سپس کاهش یافته و

بعداً بطرف ناحیه گلویی^۱ افزایش سرعت یافت و سپس به آرامی به طرف دنباله لبه بدون جدا

1.throat



www.me-en.com

شدن جریان کاهش سرعت پیدا کرد. برای پره روتور کاهش سرعت جریان در نزدیک لبه هدایت

کننده سطح مکش و فشار رخ داد. سطح، فشار پس از کاهش اولیه تا حدود فاصله سطح 3% جریان بطور پیوسته بطرف دنباله لبه افزایش سرعت پیدا کرد. سطح مکش، جریان از فاصله سطح 70% تا حدود فاصله سطح 25% افزایش سرعت پیدا کرد. سرعت جریان تقریباً از 25 تا 5% فاصله سطح ثابت بود و سپس بطرف دنباله لبه کاهش یافت. برای استاتور دوم، توزیع فشار شبیه به توزیع اولین استاتور بود بغیر از مجاورت لبه هدایت کننده. روی سطح فشار یک افزایش بدنبال یک کاهش ملایم فشار در جهت موافق جریان لبه هدایت کننده وجود داشت. در سطح مکش یک افزایش سرعت پیوسته جریان بطرف گلوبی وجود داشت و سپس جریان به سمت دنباله لبه کاهش یافت پس از اینکه به حداقل سرعت در گلوبی رسید.

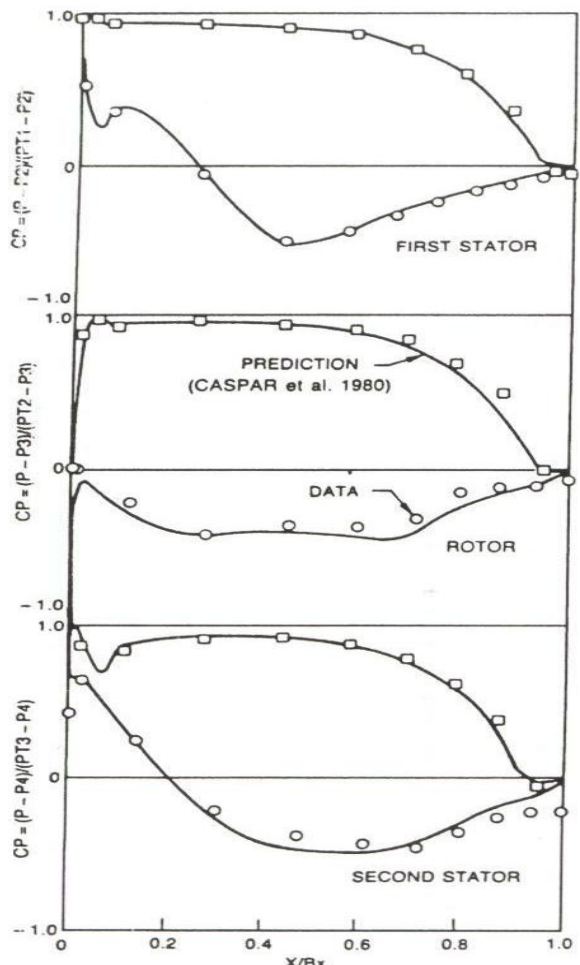


Figure 2.13

شکل ۲-۱۴ توزیع های عدد stanton را برای هر ایرفویل بر اساس سرعت خروج و دانسیته در هر فویل نشان می دهد. توزیع های انتقال حرارت میانی برای حالتی ارائه می شوند که فاصله استاتور ۱ تا روتور و روتور تا استاتور ۲، ۶۳٪ و ۶۵٪ و تر پره روتور بود. نتایج برای یک مورد دارای یک شبکه آشفته مخالف جریان استاتور ۱ در مقابل حالت بدون شبکه مقایسه می شوند. آشفتگی شبکه تولید شده حدود ۹.۸٪ در ورودی اولین استاتور بود. استاتور ۱ لایه مرزی لایه ای را بر روی سطح فشار کل بدون یک شبکه نشان می دهد. با این حال شبکه اعداد Stanton بیشتر میشود که نشانه انتقال به آشفتگی موافق جریان لبه هدایت کننده است. سطح مکش، انتقال در $S/Bx=1$ (نسبت فاصله سطح به وتر محوری ایرفویل) بدون شبکه رخ می دهد. انتقال به $S/Bx=0.2$ با شبکه حرکت می کند. این نشان می دهد که یک جریان ورودی آشفته در محل انتقال لایه مرزی روی سطوح فشار و مکش پیش می رود و مقادیر انتقال حرارت به شدت زیاد می گردد. در موتور واقعی، گازهای خروجی از محفظه احتراق به شدت آشفته هستند و مقادیر آشفتگی ۱۵ تا ۲۰٪ در ورودی استاتور اولین مرحله (اولین استیچ) می باشد.

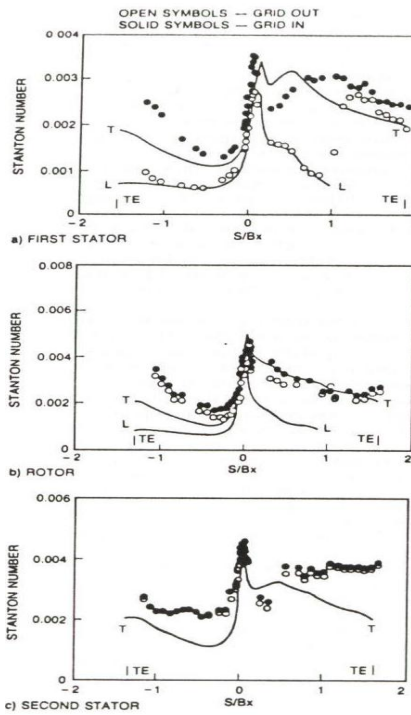


Figure 2.14

برای روتور، تاثیر آشفتگی، مانند اولین استاتور آشکار نمی باشد. حالت آشفتگی کم نشان می دهد

که لایه مرزی فقط در مجاورت لبه هدایت کنند بصورت لایه ای بنظر می رسد. مقادیر انتقال

حرارت سطح فشار، توسعه لایه مرزی آشفته قوی را پس از $S/Bx=0.2$ نشان می دهند. انتقال

حرارت روتور تحت تاثیر آشفتگی تولید شده توسط شبکه به دو دلیل نمی باشد: (الف) جریان

روتور قبل" جریانهای نا آرام تولید شده توسط استاتور در جهت مخالف جریان به شدت آشفته

میشود و (ب) تلاطم تولید شده توسط شبکه در جهت موافق جریان خروجی اولین استاتور بدليل

افزایش سرعت جریان از بین می رود. مقادیر ناپایداری در جریان تولید توسط روتور نسبت به

استاتور ثابت خیلی بیشتر از مقادیر تولید شده توسط شبکه است. بر روی سطح مکش کمی تحت

تاثیر می باشد. جریان بی ثبات باعث تولید آشفتگی در جریان آزاد می شود که بطور متوسط

آشفتگی در مقادیر 10 تا 15% را بر روی آشفتگی تولید شده توسط شبکه موجود قبلی تولید می

نماید. این امر ممکن دلیلی برای اعداد استانتون بالاتر پره روتور در مقایسه با اولین استاتور باشد.

برای دومین استاتور ، تاثیر آشتفتگی شبکه بدلیل افزایش بعدی سرعت جریانهای موافق جهت اولین پره ، وجود ندارد. لایه مرزی، تحت تاثیر جریانهای ناپایدار مخالف جهت جریان و جریانهای ثانوی تولید شده توسط روتور می باشد. سطح فشار و انتقال حرارت مکش برای اولین استاتور در حالت آشتفتگی نسبتاً کم خیلی بیشتر می باشند. پیچیدگی جریان با هر ردیف فویلهای هوا افزایش می یابد. این موضوع در توزیع های انتقال حرارت اندازه گیری شده بسیار آشکار است. اطلاعات بیشتر درباره آزمایش میتوانند از مقالات Dring بدست آیند.

شکل ۲-۱۵ تاثیر عدد رینولدز جریان اصلی بر روی توزیع های عدد استانتون اولین استاتور، تحت

آشفتگی شبکه بالا (9.8%) را نشان می دهد. سطح مکش ، یک کاهش در عدد رینولدز(Re) محل

انتقال لایه مرزی را از لبه هدایت کننده روتورمی بر دبرای $Re=642900$ انتقال در جهت موافق

لبه هدایت کننده آغاز می گردد. برای $Re=242800$ انتقال فقط در $S/Bx=1.0$ شروع می شود.

با افزایش در عدد رینولدز، محل انتقال به لبه هدایت کننده میروند که به نوبه خود منطقه انتقال

حرارت لایه ای و منطقه انتقال حرارت آشفته را کاهش می دهد و منطقه انتقال حرارت آشفته را برابر

روی سطح فویل هوا توسعه می دهد. در سطح فشار ، تاثیر عدد رینولدز تا یک سطح - $S/Bx=$

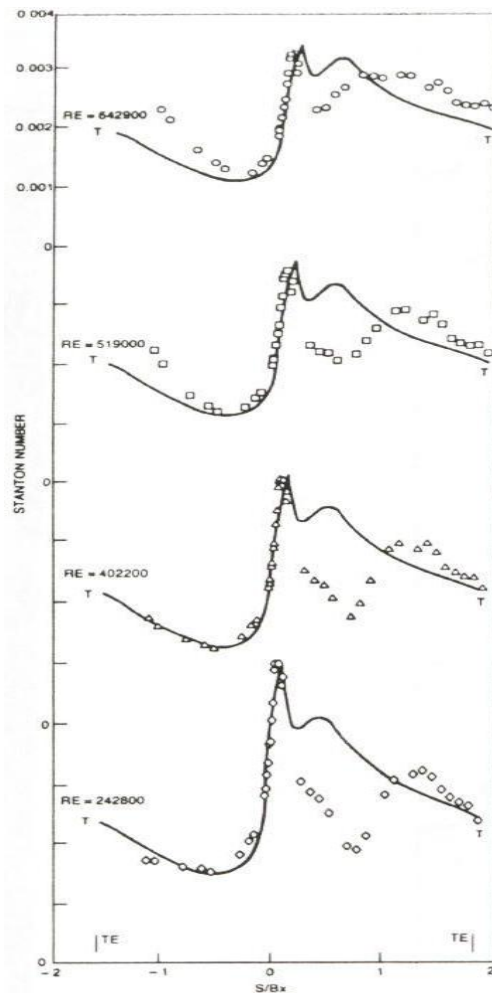


Figure 2.15

4.4 احساس نمی شود. بعدها در جهت موافق جریان، انتقال حرارت اندازه گیری شده از پیش بینی

های آشفتگی کاملاً "تجاوز کرد در حالی که برای اعداد رینولدز کمتر، مقادیر انتقال حرارت اندازه

گیری شده با پروفیل آشفتگی انطباق کامل داشت.

۲.۴- اندازه گیری های انتقال حرارت تجزیه شده زمانی

بر روی یک پره روتور:

اندازه گیری های انتقال حرارت را برای یک پره توربین تراسونیک^۱ در مقیاس کامل

نشان داد. اندازه گیری ها در تونل توربین MIT انجام شدند. مجموعه برای شبیه سازی عدد

رینولدز جریان، عدد ماخ، عدد پرانتل و سرعت تصحیح شده و وزن جریان و نسبت های دمای گاز

به فلز همراه با مکانیک سیال توربین و انتقال حرارت طراحی شده است. آنها از گیجهای جریان

حرارت فیلم نازک برای اندازه گیری های انتقال حرارت سطح استفاده کردند. جزئیات بیشتر درباره

روش اندازه گیری می تواند در تحقیقات Guenette یافت شود. شکل ۲-۱۶ آرایش جریان

توربین MIT را نشان می دهد. شکل هندسی استیج توربین نشان داده شده است.

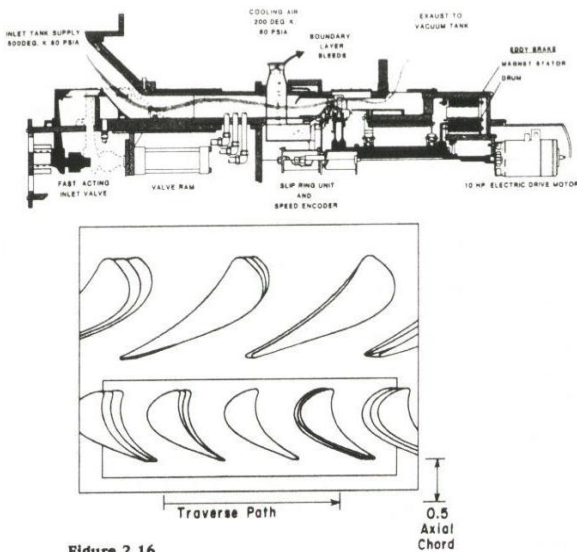


Figure 2.16

شکل ۲-۱۷ توزیع های فشار پروفیل محاسبه شده را برای پره روتور نشان می هد. بر سطح فشار

یک کاهش سرعت جریان اولیه تا حدود ۵% فاصله سطح وجود دارد سپس یک افزایش سرعت

تدریجی تا حدود ۶۰% فاصله سطح و یک کاهش سرعت مختصر موافق جریان لبه هدایت کننده

وجود دارد. سپس جریان تا حدود 75% فاصله سطح زیاد می شود که محل گلویی است و سپس بطرف دنباله لبه کاهش می یابد. پره دوباره بارگیری می شود، هنگامی که بالاترین سرعت جریان

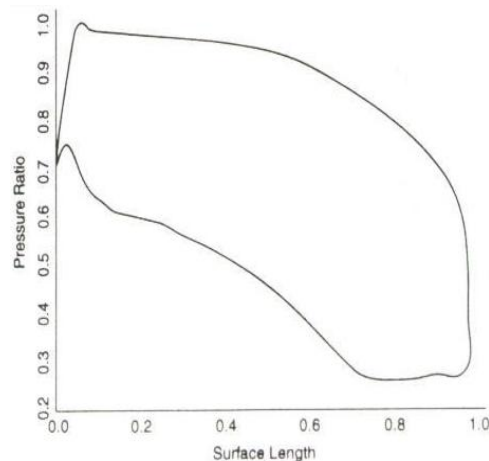


Figure 2.17

موضعی در یک محل نزدیک به دنباله لبه رخ می دهد.

شکل ۲-۱۸ میانگین اندازه گیری های جریان حرارت تجزیه شده زمانی در اطراف بخش های میانی پره روتور نشان می دهد. معدل گیری بر روی معبر های ۳۶۰ پره متواالی انجام می شود. شکل ها اندازه گیری را در ۱۲ محل بر روی سطح پره نشان می دهد. محققان یک آشفتگی همبسته وسیع را بر روی سطح فشار در امتداد پره مشاهده کردند. محققان نشان می دهند که آشفتگی ممکن است

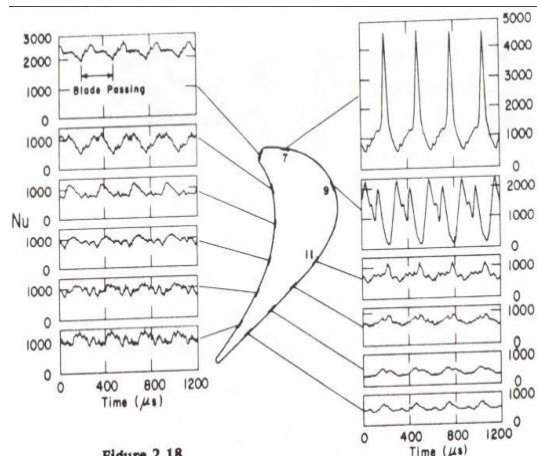


Figure 2.18
معرف جابجایی مسیر بطرف معبر باشد. دوره زمانی عبور از پره بروی یکی از پروفیل های زمان نشان داده می شود. رقیق سازی توزیع ممکن است ناشی از افزایش سرعت جریان عبوری از لبه هدایت کننده تا دنباله لبه باشد. برسطح مکش ، مدولاسیون عبور پره ، قوی تر از لبه هدایت کننده است(70 تا 90%) و به طرف دنباله لبه رقیق می شود (30 تا 40%). تاثیر NGV در جهت موافق جریان کم می شود هنگامی که جریان وارد معبر های پره ناشی از افزایش سرعت قوی جریان از لبه هدایت کننده دنباله لبه می گردد. تغییرات شدید اطلاعات بر روی سطح مکش ، انتشار قوی بطرف سطح مکش نزیک به لبه هدایت کننده و حرکت بطرف سطح فشار نزدیک به دنباله لبه را نشان می دهد.

شکل ۲-۱۹ یک مقایسه از دمای میانگین و اندازه گیری شده توسط حسگر های فوکانی در محل اندازه گیری جریان حرارت بر روی سطح مکش را نشان می دهد. نوسانات کوچک شبیه به نوسان حلقه، نوسان الکتریکی و نوسان جریان توسط روش مذکور فیلتر می شوند. از پروفیل های زمانی اندازه گیری شده می توان مشاهده کرد که جریان با عبور از پره بصورت تناوبی (پریودی) است.

۲.۳- آزمایشات انتقال حرارت پره کسکید:

۲.۳.۱- مقدمه :

همانطور که قبلاً نشان داده شد تمام بررسی های قبلی انجام شده نسبت به اندر کنش های روتور-استاتور صورت گرفت. آنها انتقال حرارت را برای کل روتور-استاتور انجام دادند. بررسی ها بر روی انتقال حرارت NGV اولین مرحله روتور را در نظر که هر نوع تاثیرات مخالف جهت جریان را در نظر نگرفتند. حضور روتور بر خصوصیات انتقال حرارت پره مرحله اول تاثیر نگذاشت. براساس این فرض، بررسی هایی وجود دارد که فقط روی تمام تاثیرات پارامترهای انتقال

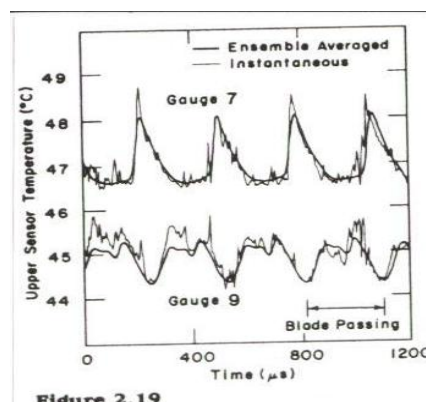


Figure 2.19

حرارت NGV مرکز دارند.

اولاً، می خواهیم تایید کنیم که حضور یک روتور موافق جهت جریان روی خصوصیات انتقال حرارت مرحله اول تایر چشمگیری نمی گذارد. Dunn تاثیر روتور بر روی توزیع های عدد

استانتون را برای پره مخالف جهت جریان بررسی کرد. شکل ۲-۲۰ مقایسه ای بر روی اطلاعات پره به تنهایی و پره با روتور موافق جهت جریان در یک نشان میدهد. دایره های پر شده برای اطلاعات پره تنهایی باشندو دایره های باز مربوط به اطلاعات استیج کامل هستند.

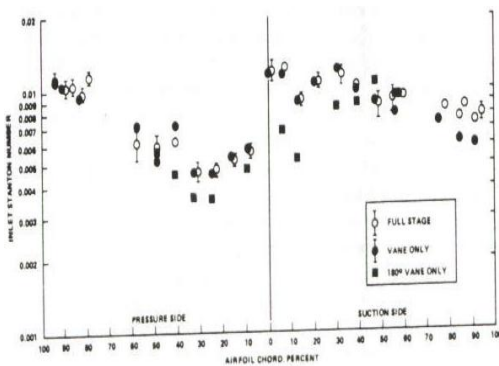


Figure 2.20

مربع های پر شده اطلاعات اضافی درمورد پره فقط برای $T\omega/T=0.21$ را نشان می دهند.

مقایسه دایره های باز با بسته نشان می دهد بر توزیع عدد استانتون تاثیر نمی گذارد. با این حال، تاثیر کمی در سمت مکش نزدیک دنباله لبه وجود دارد. وجود روتور عدد استانتون را تا ۲۵٪ نزدیک دنباله لبه سطح مکش افزایش می دهد. بدلیل اینکه این یک ناحیه کوچک در مقایسه با سطح پره کامل است، می توان بیان کرد که خصوصیات انتقال حرارت پره تحت تاثیر حضور یک روتور در جهت موافق جریان نمی باشد.

2.3.2- تاثیر عدد ماخ خروجی و عدد رینولدز :

توزیع های انتقال حرارت بر روی پره های هدایت نازل بارگیری شده زیاد را در دمای **Nealy** متوسط نشان می دهد و سه پره تحت شرایط حالت یکنواخت قرار دارند. آنها پارامتر ها را تغییر دادند از قبیل عدد ماخ، عدد رینولدز، شدت آشفتگی و نسبت دمای دیوار به گاز. اطلاعات آزمایشگاهی در مجموعه کسکید آیروترمودینامیک در شرکت موتور السیون بدست آمدند. Nealy

نشان داد که مکانیزم های پایه ای وجود دارد که بر انتقال حرارت گاز به فویل هوا تاثیر می گذارند.

آنها رفتار زودگذر لایه مرزی ، آشفتگی جریان آزاد، انحنای سطح ایرفویل ، زبری سطح ایرفویل ،

شیب فشار ، محل تزریق ماده خنک کننده، جدایش و اتصال مجدد جریان و اندر کنش لایه مرزی

- شوک بصورت مکانیک های پایه بررسی کردند که تاثیرات آنها لازم است بر انتقال حرارت فویل

هوا تعیین شود. در این بررسی آنها توجه خود را روی عدد ماخ کسکید خروجی ، عدد رینولز و

شکل ایرفویل متمرکز کردند. شکل ۲-۲۱ پروفیل های سطح را برای در پره کسکید نشان می دهد.

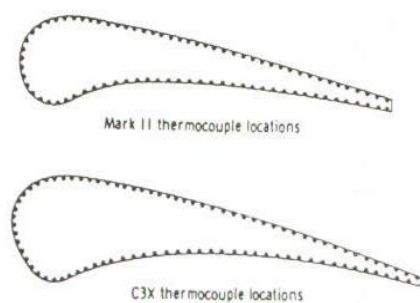


Figure 2.21

طرح های دو پره موسوم به C3X و Mark II دارای شکل هندسی سطح مکش کاملاً متفاوت

می باشند. آزمایشات روی این دو طرح یک آگاهی نسبت به تاثیر شکل هندسی سطح مکش

بر انتقال حرارت را فراهم کردند.

شکل ۲-۲۲ توزیع فشار استاتیک سطح بر دو پره را برای سه عدد ماخ خروجی متفاوت نشان می

دهد. توزیع های فشار روی دو پره خیلی شبیه هم بودند (روی سطح فشار). با این حال ، تاثیر

پروفیل پره بر سطح مکش چشمگیر است. یک شیب فشار معکوس قوی در سمت مکش

پره C3X در فاصله سطح حدود 20% وجود دارد. پره Mark II یک شتاب تدریجی را نشان می

دهد. تاثیر عدد ماخ خروجی بر سطح مکش هر دو پره چشمگیر است. عدد ماخ خروجی بیشتر به یک سرعت بالاتر بر سمت مکش نزدیک به دنباله لبه تبدیل می شود.

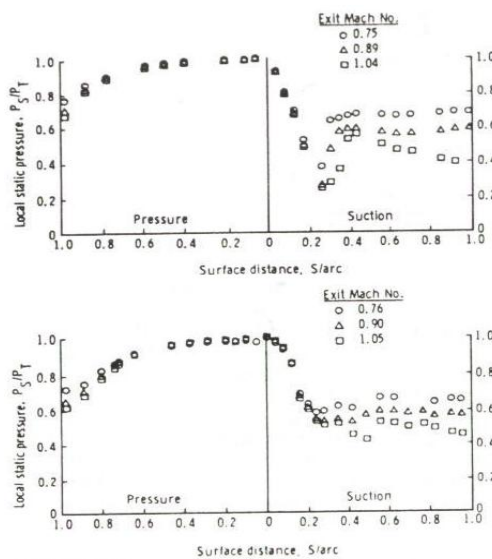


Figure 2.22

نمانه توزیع های فشار متغیر سطح مکشی بر دو پره، توزیع های انتقال حرارت سطح اندازه گیری شده نیز خصوصیات مختلف را نشان می دهنند. شکل ۲-۲۳ تاثیر عدد ماخ خروجی بر توزیع های انتقال حرارت برای پره Mark II را نشان می دهد. از توزیع های فشار ، توزیع انتقال حرارت سطح توسط تغییر عدد ماخ خروجی تحت تاثیر قرار نمی گیرد. ضرایب انتقال حرارت سطح فشار به سرعت از لبه هدایت کننده تا حدود ۲۰٪ فاصله سطح کم می شود و سپس بطرف دنباله لبه بتدريج افزایش می يابد. سطح مکش، توزیع های ضریب انتقال حرارت جدایش لایه مرزی لایه ای ، گذار و اتصال مجدد آشتفتگی در فاصله سطح ۲۵٪ را نشان می دهنند. محل جدایش لایه مرزی لایه ای بنظر می رسد در جهت مخالف جريان با کاهش عدد ماخ خروجی حرکت نماید. همچنان در جهت موافق جريان آن محل، ضرایب انتقال حرارت با کاهش اعداد ماخ خروجی بالاتر هستند.

در ناحیه هایی که که لایه مرزی متصل باقی می ماند، هیچ تاثیر آشکار عدد ماخ خروجی وجود ندارد.

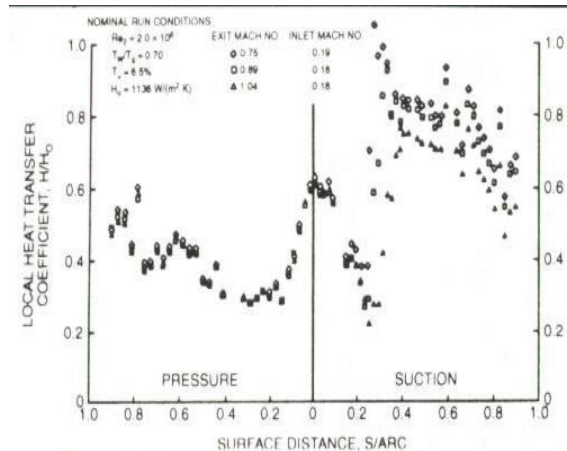


Figure 2.23

شکل ۲-۲۴ تاثیر اعداد ماخ خروجی روی توزیع های انتقال حرارت سطح را برای پره C3X نشان می دهد ، هیچ تاثیر عدد ماخ خروجی بر سطح فشار وجود ندارد. ضریب انتقال حرارت به سرعت از لبه هدایت کننده تا حدود فاصله سطح ۲۰٪ سقوط می کند و بتدريج بطرف دنباله لبه زياد می شود. ضرایب انتقال حرارت با افزایش فاصله سطح تا حدود فاصله سطح ۲۵٪ کم می شود، سپس ضرایب انتقال حرارت بدليل آغاز گذار از لایه مرزی لایه ای به آشفته زياد می شود. گذار در فاصله سطح ۵۰٪ در جهت موافق جريان كامل می شود در جايی که ضرایب انتقال حرارت با افزایش ضخامت لایه مرزی آشفته، کاهش می يابد. محل انتقال (گذار) نزديک به لبه هدایت با يك کاهش در عدد ماخ خروجی حرکت می کند. اين رفتار انتقال حرارت بر روی پره C3X از نوع توزيع نمونه مربوط به فويل های هوا مibاشد.

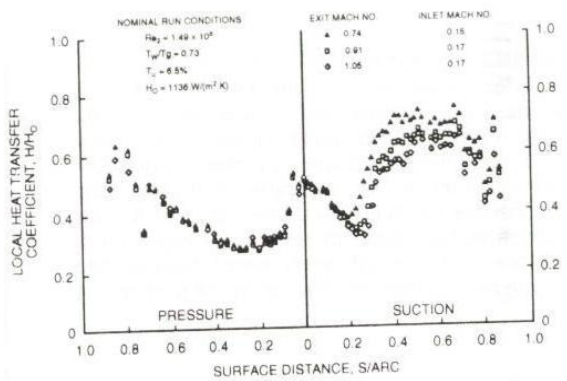


Figure 2.24

شکل ۲-۲۵ تاثیر عدد رینولذز بر انتقال حرارت پره C3X را نشان میدهد. شرایط جریان بر روی شکل نشان داده می‌شود. محل انتقال(گذار) در سطح مکش نزدیک به لبه هدایت کننده با یک افزایش در عدد رینولذز حرکت می‌کند. توزیع‌های انتقال حرارت سطح فشار تمایل به طرف یک رفتار زود گذر همانند مورد نشان داده شده در سطح مکش می‌باشد. بطور کلی، ضرایب انتقال حرارت سطح کل ایرفویل افزایش چشمگیر را با یک افزایش در عدد رینولذز نشان دادند.

این بررسی جامع برای اولین بار در انتقال حرارت NGV انجام گرفت. خصوصیات انتقال حرارت خیلی وابسته به شکل هندسی پره است. تفاوت‌های قوی در توزیع‌های پره C3X و Mark II و تأثیرات سایر پارامتر های اشکار هستند. اطلاعات بیشتر درباره این بررسی در گزارش NASA ذکر شده است.

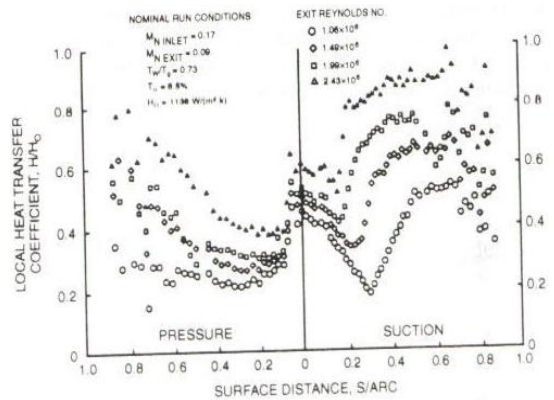


Figure 2.25

2.3.3 - تاثیر آشфтگی جریان آزاد:

یکی از تاثیرات اولیه انتقال حرارت پره، آشفتگی جریان آزاد تولید شده در خروجی محفظه



احتراق است. آشتفتگی تولید شده توسط محفظه احتراق به افزایش انتقال حرارت کمک چشمگیر



می کند. تأثیر آشفتگی جریان آزاد روی انتقال حرارت پره بخوبی مستند سازی نمی شود. آشفتگی می تواند بر انتقال حرارت لایه ای، سطح فشار، انتقال زود گذر و انتقال حرارت لایه مرزی آشفته تاثیر بگذارد. Ames تأثیر آشفتگی شبیه سازی شده توسط محفظه احتراق را بر انتقال حرارت پره توربین بررسی کرد. جزئیات بیشتر درباره آشفتگی و خصوصیات جریان می توانند از بررسی های Ames و plesniak بدست آیند. کسکید چهار پره دارای فویل های هوایی در مقیاس

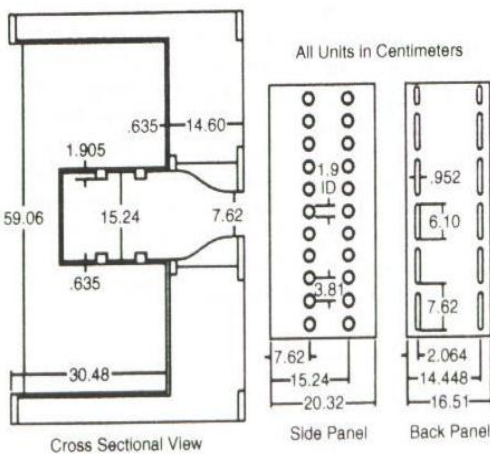


Figure 2.26

4.5 برابر پره های C3X بود. پروفیل های پره یک بخش از خط مرکزی نازل اولین استیج از یک موتور هلی کوپتر (بال گرد) شرکت موتور آلیسون هستند. شکل هندسی پره شبیه به ترکیب بندی پره C3X بکار رفته توسط Nealy است. Ames تأثیرات شدت آشفتگی و مقیاس طول بر انتقال حرارت پره را بررسی کردند. Ames یک مولد آشفته کننده محفظه احتراق را توسعه داد که مقادیر آشفتگی و مقیاس طول همراه با آن و موارد تولید شده توسط محفظه احتراق موتور واقعی یکسان بودند. شکل ۲-۲۶ طرح مولد (ژنراتور) آشفته کننده محفظه احتراق را نشان می دهد. Ames سطوح متفاوت آشفتگی نزدیک به پره ها برای حالت آشفتگی زیاد و حرکت دادن آن سایر حالت های تلاطم کم را نشان می دهد.

شکل ۲-۲۷ شماتیکی از کسکید چهار پره که توسط Ames استفاده شد را نشان می دهد.(۱۹۹۷)

شکل ۲-۲۸ اطلاعات انتقال حرارت اندازه گیری شده برای یک $Re = 790000$ را نشان می دهد

که چهار وضعیت تلاطم متفاوت(بر اساس وتر محوری)را نشان میدهد. چهار حالت که برای آنها

اطلاعات ارائه می شوند عبارتند از (۱) یک حالت خط پایه که $Tu = 1.1\%$ و $Lu = 6.6 \text{ cm}$ و

(۲) یک آشفتگی شبیه سازی شده با محفظه احتراق که $Tu = 12\%$ و $Lu = 3.36 \text{ cm}$ (۳) یک

آشفتگی شبیه سازی شده با محفظه احتراق که $Tu = 8.3\%$ و $Lu = 4.26 \text{ cm}$ و (۴) یک حالت

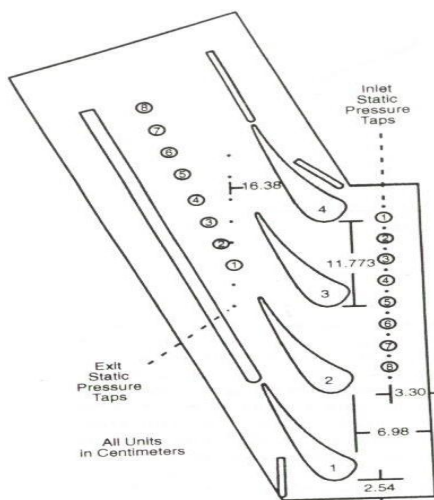


Figure 2.27

آشفتگی تولید شده با شبکه در جایی که $Lu = 1.36 \text{ cm}$ و $Tu = 7.8\%$ است. اطلاعات تلاطم

زیاد، اعداد استانتون قابل توجه را برای حالت آشفتگی کم نشان می دهد. ناحیه لایه ای شامل

ناحیه دسته بندی شده، سطح فشار کلی و ناحیه شبیه فشار مطلوب سطح مکش است. گذار از

سطح مکش رخ می دهد که در طی آن مقادیر انتقال حرارت به سرعت زیاد می شود. جریان موافق

بعدی اعداد استانتون با توسعه لایه مرزی آشفته کامل کاهش می یابد. با این حال، با افزایش تلاطم

جریان آزاد، محل گذار به طرف لبه هدایت کننده حرکت می کند. پس از گذار، شدت آشفتگی

بالاتر به افزایش بعدی مقادیر انتقال حرارت نمی انجامد. نتایج تاثیر مقياس طول تلاطم (Ln) را نشان می دهند. آشفتگی تولید شده توسط شبکه شبیه به حالت آشفتگی تولید شده توسط محفظه احتراق کمتر است ولی تفاوت در مقادیر مقياس طول وجود دارد. تلاطم مقياس طول بزرگ بنظر می رسد که افزایش انتقال حرارت کمتر از مقیاس های طول کوچک را روی حالت خط مر کزی در مقادیر تلاطم مشابه تولید می کند. این بررسی یک مورد قوی را برای محققان ایجاد کرده آشفتگی جریان آزاد را همراه با مقیاس های بزرگ در بررسی های بعدی خودشان در نظر بگیرند. تاثیر این تلاطم

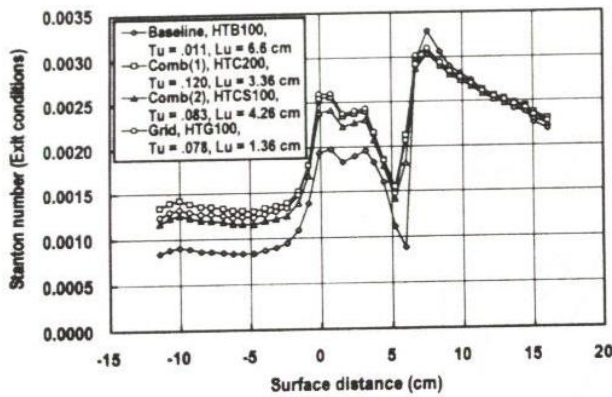


Figure 2.28

در افزایش مقادیر انتقال حرارت و همچنین ایجاد گذار لایه مرزی بر سطح مکش توسط بررسی فوق تایید می شود.

2.3.4- تاثیر زبری سطح :

یک ضریب که باعث افزایش انتقال حرارت از NGV می شود تاثیر زبری سطح است. در موتورهای حقیقی، زبری سطح پارامتری می شود که ناشی از پرداخت تولید اولیه و رسوبات موتور پس از چند ساعت عملیات است. رسوبات احتراق ممکن است زبری سطح پره را پس از چند ساعت عملیات ایجاد کند و این زبری می تواند برای عمر پره ناشی از مقادیر انتقال حرارت

افزایش یافته مخرب باشد که خیلی بیشتر از شرایط طراحی هستند. Abuaf تاثیرات زیری سطح بر عملکرد آئرودینامیک و انتقال حرارت ایرفویل را نشان داده است این امر یکی از اولین بررسی ها برای تمرکز روی تاثیرات زیری سطح در انتقال حرارت پره بود. بررسی های قبلی در زبری سطوح تخت یا پره های روتور تمرکز داشت. (این امر بعداً در این فصل بحث خواهد شد). سه مقدار متفاوت زیری توسط Abuaf مطالعه شد. مقادیر زیری با استفاده از یک میکروسکوپ تداخلی روبشی مشخص شدند. ایرفویل های A توسط بخار و براده سنباده زنی شده و با codep پوشانیده شد که یک پوشش مقاوم در مقابل اکسیداسیون است. ایرفویل B با بخار براده سنباده زده شد و سپس با آلومینیم رسوب یافته به روش بخار شیمیایی پوشانیده شد (CVD). فویل هوای C سنباده زنی شد و سیقل یافت و با آلومینیم CVD پوشانیده شد و بالاخره مجدداً پوشش داده شد. بخش‌های انتخاب شده از سطوح ایرفویل با استفاده از میکروسکوپ برای مقادیر زیری ابزاره گیری شدند. زیری میانگین خط مرکزی (Ra) برابر با ۰.۹۴ و $0.77 \mu\text{m}$ برای فویل های A و B و C بترتیب بدست آمدند.

شکل ۲-۲۹ یک مقایسه از توزیع های ضریب انتقال حرارت را برای ایرفویل های A و B و C نشان می دهد. تاثیر زبری سطح روی سطح فشار خیلی کم است. یک افزایش ملایم در مقادیر ضریب انتقال حرارت برای ایرفویل های A با بالا ترین زبری وجود دارد. برسط مکش، تاثیر قوی است و با محل گذار منتقل شده به لبه هدایت کننده برای ایرفویل همراه بوده است. تاثیر زبری سطح مکش در ناحیه آشفتگی کامل سطح مکش آشکار است. بنظر می رسد که زبری سطح

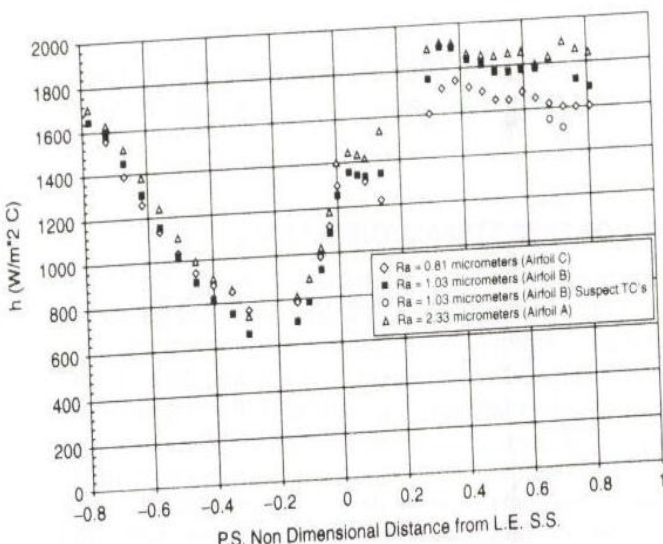


Figure 2.29

بر ضرایب انتقال حرارت و تشدید لایه مرزی بر مکش سطحی ایرفویل تاثیر می گذارد. زبری سطح بالاتر باعث گذار زود هنگام شده و منجر به این عقیده می شود که زبری سطح برای عمر پره مخرب است. طراحان به پرداخت و سیقل دادن سطح ایرفویل های هوانیاز دارند در حالیکه احتمالات سرد کردن در نظر گرفته برای NGV ها را بررسی می کنند.

یک عمل دیگر وجود دارد که باید در نظر گرفته شود. ترکیب آشفتگی جریان آزاد در ترکیب با زبری سطح ممکن است تاثیر واحد زبری را خنثی کند. اگر تاثیر زبری سطح بر انتقال حرارت پره قبل "تحت تاثیر آشفتگی" زیاد جریان آزاد بصورت جزئی و نموی باشد، آنگاه زبری سطح بصورت

یک عامل ممکن است یک تاثیر ثانوی باشد. Hoffs اندازه گیری های انتقال حرارت بر روی ایرفویل های توربین را تحت شرایط زبری سطح زیاد و آشفتگی جریان آزاد بالاتر انجام داد. تاثیرات زبری سطح توسط پوشش کریستال مایع در بررسی آنها تعیین شدند. سطح کریستال مایع پوشش یافته بصورت طبیعی بر سطح زبر با مقدار زبری سطح $Rz = 25 \mu\text{m}$ عمل کرد. برای سطح هموار، سطح پوشش یافته با کاغذ سنباده بسیا ریز سیقل یافت تا شرایط سطح قابل تکرار و هموار بدست آید. مقدار زبری سطح Rz برابر با $15 \mu\text{m}$ است. مقادیر آشفتگی بالاتر با استفاده از جریان مخالف تولید کننده آشفتگی کسکید ایرفویل تولید شدند.

شکل ۲-۳۰ ضرایب انتقال حرارت، مربوط به تاثیر آشفتگی جریان آزاد و همچنین افزودن زبری

سطح برای یک حال آزمایشی ایرفویل نشان داده میشود؛ اولین مورد برای یک سطح هموار با



است، دومین مورد برای یک سطح هموار با $Tu=10\%$ است، سومین حالت برای سطح زبر در $Tu=10\%$ است، مقایسه دومورد اول برای سطح هموار، آشکار است که ضرایب انتقال حرارت بروی سطح فشار ناشی از افزایش تلاطم، زیاد میشود. نتایج سطح مکش نشان می دهند که محل گذار در جهت مخالف جریان حرکت کرده است که ناشی از افزایش تلاطم جریان آزاد از $S/L=0.25$ تا $S/L=1.0$ است. این نمونه نتایج ای است که قبلاً برای یک پره توربین

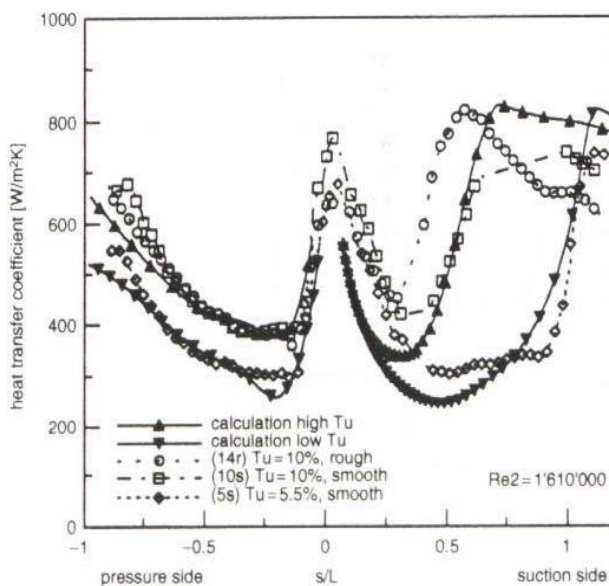


Figure 2.30

کلاسیک بحث گردید. سطح فشار تحت تاثیر صیقل بودن سطح در آشفتگی بالا نمی باشد. ضرایب انتقال حرارت افزایش یافته قبلی ناشی از آشفتگی جریان آزاد تحت تاثیر زبری سطح نمی باشند. با این حال، تاثیر بر سطح مکش چشمگیر است. محل انتقال بنظر نمی رسد که تحت تاثیر سطح زبر باشد. این طول انتقال است که شدیداً توسط افزودن زبری سطح کاهش داده می شود. ترکیبی از زبری سطح با آشفتگی جریان آزاد زیاد باعث می شود که لایه مرزی انتقال را سریعتر از حالت آشفتگی جریان آزاد طی نماید. Bunker همچنین تاثیر آشفتگی جریان آزاد و زبری سطح بر روی پره ها را بررسی کرد. بررسی او نتایج مشابه ای را نشان می دهد.

۲.۳.۵- انتقال حرارت پره کسکید آنولار^۱:

مارتینز- بوتاس^۲ از یک تونل باد و یک کسکید NGV آنولار برای اندازه گیری های انتقال حرارت استفاده کرد. تونل باد به تفصیل توسط Baines ارائه می شود. یک تونل انتقال حرارت سرد (CHTT) ابتدا توسط مارتینز- بوتاس استفاده گردید. در این تونل سیال اصلی لازم نیست گرم شود. NGV گرم می شود و ناگهان در داخل تونل باد قرار گرفته می شود. ضرایب انتقال حرارت توسط ثبت دمای پره متغیر با استفاده از روش کریستال مایع زودگذر اندازه گیری می شود. برای اجزای آزمایش انتقال حرارت زودگذر NGV ها قبل از حرکت توسط جداسازی کاست انتقال حرارت پیش گرم می شوند (شکل ۲-۳۱) که شامل چهار معبر با استفاده از یک مکانیز شاتر (shutter) است. شاتر در طی حرکت حذف (برداشته) می شود هنگامی که آزمایش زود گذر آغاز می شود.

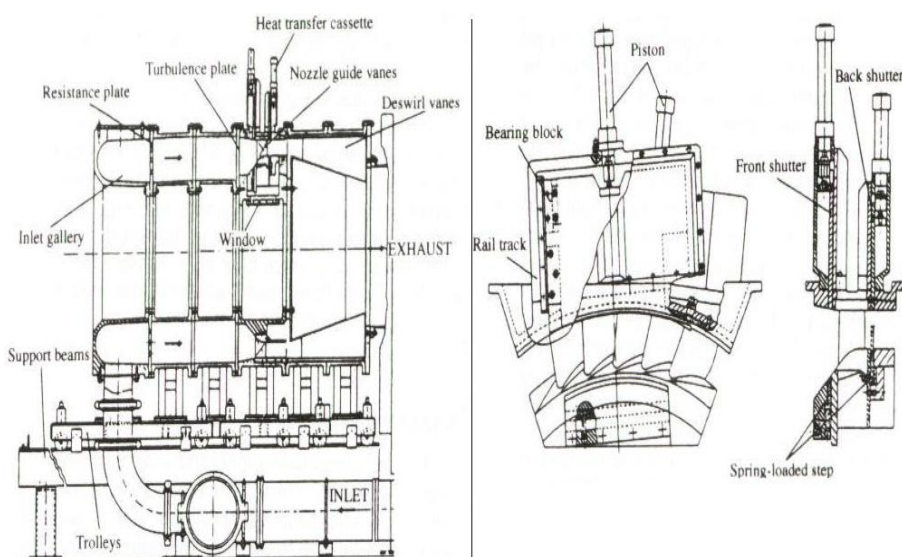


Figure 2.31

1.ANNULAR

2.Martines-botás

شکل ۲-۳۲ توزیع عدد ماخ ایزنتروپیک را بر روی NGV در سه محل دهانه متفاوت ۱۰٪ و ۵۰٪ و ۹۰٪ نشان می‌دهد. اطلاعات یک شیب فشار شعاعی (نوک به مرکز) به طرف داخل را نزدیک به پشت فویل هوا نشان می‌دهد.

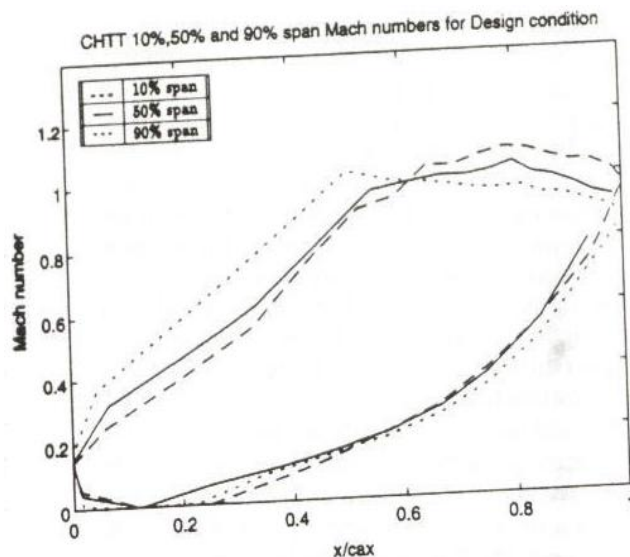


Figure 2.32

شکل ۲-۳۳ توزیع عدد نوسلت (nusselt) آزمایشی را در وسط فویل هوا نشان می‌دهد. بالاترین مقدار انتقال حرارت از دنباله لبه بر روی سطح فشار رخ می‌دهد. بر روی سطح مکش، ماگزیم در سطح ۸٪ رخ می‌دهد و برای یک فاصله سطح بزرگتر از ۲۰٪ ثابت باقی می‌ماند. بر سطح فشار، عدد نوسلت در ابتدا کم می‌شود و سپس به تدریج دورتر از ۱۵٪ فاصله سطح به طرف دنباله لبه بطور پیوسته افزایش می‌یابد. یک پیش‌بینی انتقال حرارت لایه مرزی ۲ بعدی نیز برای مقایسه لحاظ می‌شود.

شکل ۲-۳۴ توزیع ضریب انتقال حرارت بر سطح فشار و مکش هر دو را نشان میدهد. ضرایب انتقال حرارت به طرف دنباله لبه زیاد می‌شود همینطور که در شکل ۲-۳۳ دیده می‌شود. سطح مکش تغییرات قوی را نشان می‌دهد. نواحی انتقال حرارت زیاد نزدیک به نوک در لبه هدایت کننده

وجود دارند که توسط یک ناحیه انتقال حرارت کم دنبای شوند در جایی که ممکن است جدایش

رخ دهد. تاثیرات دیواره انتهایی حاصل

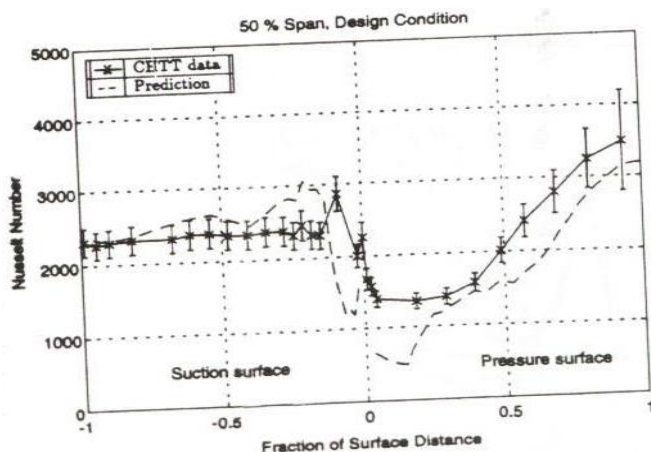


Figure 2.33

در معبر و گردابها ممکن است باعث تغییرات قوی بر روی سطح مکش گردد. جزئیات بیشتر درباره

تاثیرات دیواره انتهایی در بخش 2.5 نشان داده می شوند.

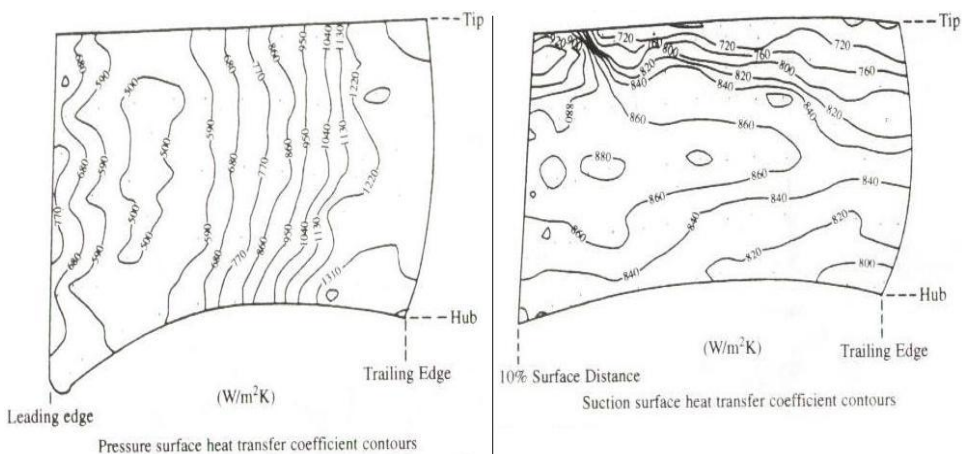


Figure 2.34

2.4- انتقال حرارت پره کسکید :

2.4.1- مقدمه

وقتی که جریان از داخل معبر های NGV عبور می کند، شدت آشفتگی جریان آزاد بدلا لیل

افزایش جریان در راخن گلویی پره کم می شود. تاثیرات آشفتگی جریان آزاد کاهش یافته بر انتقال

حرارت پره روتور مانند تاثیرات آشفتگی جریان آزاد بر روی انتقال حرارت پره قابل توجه نمی باشد. بطور نمونه، مقادیر آشفتگی جریان آزاد در حدود ۱۵ تا ۲۰٪ در لبه هدایت کننده پره استیج اول هستند و بدلیل افزایش سرعت جریان در معتبر پره. شدت آشفتگی در لبه هدایت کننده پره روتور مرحله اول تحت تاثیر پارامتر مهم مهم دیگر است: یعنی تاثیر عدم یکنواختی در جریان. عدم یکنواختی جریان از حرکت نسبی ردیف های پره روتور نسب به ردیف های پره ثابت ناشی میشود. شکل ۲-۳۵ یک دیدگاهی مفهومی از انتشار مسیر غیر یکنواخت در داخل یک ردیف پره روتور را نشان می دهد. نواحی سایه خورده نشان میدهد که در کجا عدم یکنواختی توسط ایرفویل های هوایی جریان مخالف ایجاد می شود. برای یک پره استیج اول، مولفه های اصلی عدم یکنواختی که توسط Doorly ارائه شد به این شرح می باشند:

(۱) عبور جریان - جریان خروجی از ردیف پره مخالف جریان در جهت محیطی بدلیل مسیر های سایه خورده در دنباله لبه پره های مخالف جریان بصورت غیر یکنواخت است. این مسیر ها پره ها

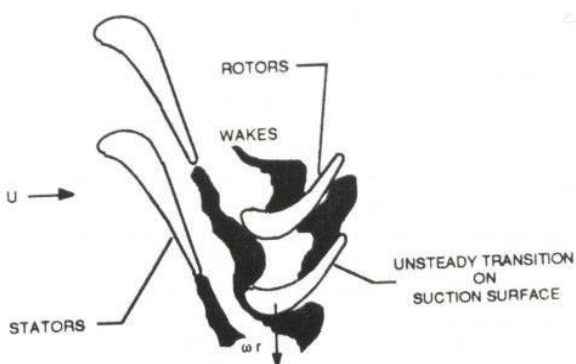


Figure 2.35

را در معرفی یک سرعت جریان تناوبی و میدان آشفته قرار می دهد. زیرا دوران نسبی ردیف ها باعث می شود که پره ها در جهت موافق جریان این مسیرها حرکت کنند.

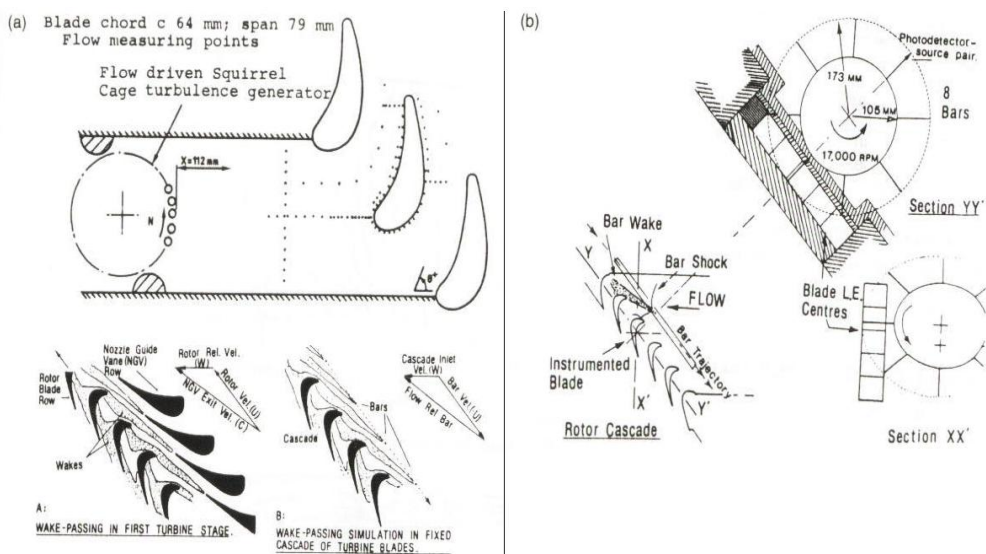
(۲) عبور موج شوک- (برای توربین های فقط تراسونیک) امواج شوک توسط یک ردیف پره تراسونیک تولید می شود که بر روی ردیف پره موافق جهت جریان تولید می شوند، اینها علاوه بر تاثیر مسیر می باشد.

(۳) اندر کنش های جریان پتانسیل - تغییرات پریودی در میران پتانسیل توسط حرکت نسبی ردیف های پره و تیغه ایجاد می شوند. افزایش ردیف پره می تواند این نوع تاثیر را کاهش دهد.

(۴) آشفتگی زیاد انرژی اضافی - این امر مقدار آشفتگی جریان آزاد دست کم ممکن است در داخل معبر پره ایجاد شود.

2.4.2 - آزمایشات شبیه سازی مسیر غیر یکنواخت:

آزمایشات شبیه سازی مسیر یک سازگاری بین استفاده از مولفه های ثابت یا گردان میباشد. جریان غیر یکنواخت تولید شده توسط پره در جهت مخالف جریان که برروی روتور در جهت موافق جریان بر خوردمی نماید با استفاده از یک کسکید پره ثابت (ب) حرکت) و یک ژنراتور جریان



مخالف جهت اصلی شبیه سازی می شود. آزمایشات شبیه سازی نوعاً از یک ژنراتور چرخ پره دار و در حال گردش با یک ژنراتور قفسه ای سنجابی و در حال گردش در جهت مخالف جریان کسکید پره ثابت استفاده کردتا حرکت نسبی دنباله لبه های پره را شبیه سازی کند. شکل ۲-۳۶ طرحی از ژنراتور قفسه سنجابی را نشان می دهد. حرکت نسبی میله ها برروی ژنراتور باعث ایجاد جریانهای می شود که بر کسکید پره در جهت موافق ضربه می زند.

اعتبار استفاده از شبیه سازی میله گردان را با مقایسه خصوصیات بدست آمده با شبیه سازی های میله روتور در جهت جریان مخالف را نشان می دهد. آنها اطلاعات بدست آمده از سطح مکش یک پره روتور با اطلاعات کسکید عبوری ۲ بعدی در دو محل متفاوت از $x/s = 0.1$ و $x/s = 0.31$ بر روی سطح پره نشان میدهد. شکل ۲-۳۷ مقایسه در $x/s = 0.31$ را نشان می

دهد. اندر کنش های غیر یکنواخت اندازه گیری شده برای روتور و کسکید مشابه هستند. با این حال، دسته های مضاعف برای روتور کارآمد تر از کسکید ۲ بعدی هستند. Guenette اشاره کرد

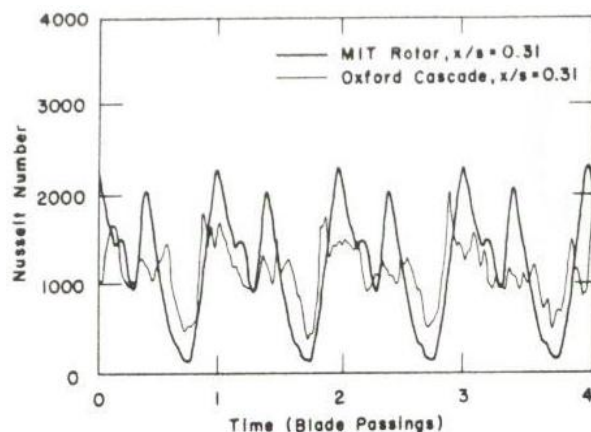


Figure 2.37

که اندر کنش های ناپایدار این مسیر و تیغه برای روتورقوی تر از کسکید ۲ بعدی هستند اگرچه آنها از لحاظ طبیعت مشابه می باشند. اطلاعات غیر یکنواخت برای کسکید ۲ بعدی از یک بررسی توسط old field Doorly در دست آمدند.

Old field Doorly تاثیرات موج شوک و عبور مسیر بر یک پره روتور توربین را شبیه سازی کردند. آنها از یک ژنراتور چرخ میله دار برای تولید موج شوک و عبور از مسیر استفاده کردند. شکل ۲-۳۸ سابقه زمانی یک مسیر جدا شده و موج شوک عبور کننده بر روی تعدادی از حالت های متوالی را نشان می دهد. مسیر های انتقال حرارت برای محل های اندازه گیری متفاوت نیز رسم می شوند. تمام سنجه ها بر روی سطح مکش پره از لبه هدایت کننده تا محل گلویی قرار داده می شوند. تمام سنجه ها بر روی سطح مکش پره از لبه هدایت کننده تا محل گلویی قرار داده می شوند (۱۱-۱). موج شوک با خطوط پر رنگ نشان داده می شود. همچنین، مسیر سایه خورده تو سط میله کننده تا دنباله لبه معتبر بطور واضح نشان داده می شود. همچنین، مسیر سایه خورده تو سط میله گردان یک نارسا یی سرعت تناوبی باعث می شود که معتبر پره را در بر میگیرد هنگامی که میله هادر

جلوی کسکید عبور می کنند. انتشار این ناحیه کمودسرعت در مسیرهای زمانی ، بطور واضح نشان داده می شود. به گزارش old field Doorly ، تاثیر اصلی مسیر های تناوبی عبارتند از تاثیر گذار لایه مرزی بر روی سطح مکش پره موافق جریان می باشد. انتقال حرارت بر سطح پره به شدت تحت تاثیر مسیر های ناشی از تولید منطقه آشفتگی و همچنین انتقال سریع (گذار) می باشد. بر خورد موج شوک جدا شده (ایزوله شده) بر یک لایه مرزی لایه ای دیگر بروسط مکش یک حباب جدا تولید کرد. انتقال حرارت بسیار سریع همراه با شوک توسط یک مسیر آشفته (در پست حباب) ایجاد شد. تاثیر امواج شوک که بطور همزمان با مسیر ها عمل می نمایند مسیرهای لایه مرزی آشفته را تولید می نماید که یک لایه مرزی آشفته پیوسته را تشکیل می دهد. اندر کنش مسیر و شوک ترکیبی بر لایه مرزی خیلی پیچیده است و ashworth Doorly شرح دقیقی از این پدیده ارائه کردند.

(۱۹۸۵) تاثیرات اندر کنش های مسیر از یک پره هدایت نازل مخالف جریان را بر

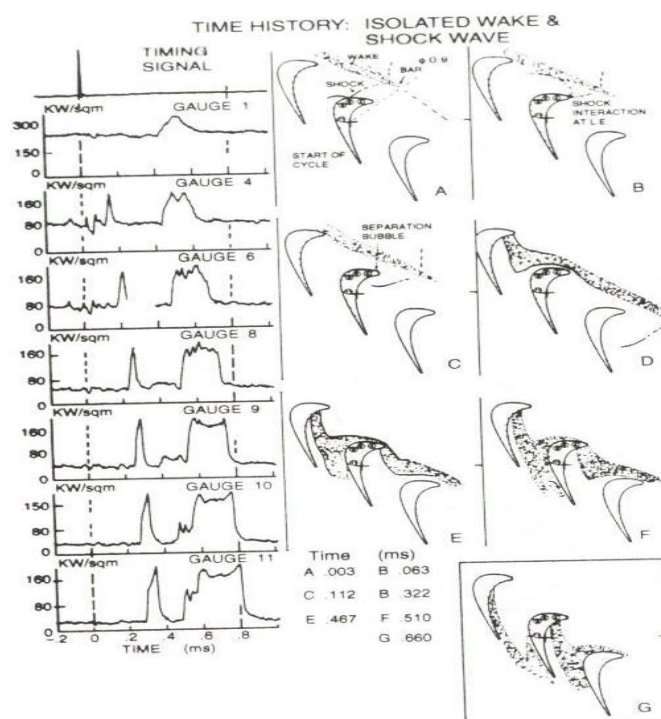


Figure 2.38

یک جریان پره روتور و انتقال حرارت بررسی کرد. او همکاران اش یک سیستم مسیر متحرک را توسط یک مولد مسیر چرخ میله دار شبیه سازی کردند. آنها انتقال حرارت موضعی را با استفاده از سنجه های جریان حرارت در ۲۲ محل در امتداد سطح تیغه اندازه گرفتند. شکل ۳-۳۹ توزیع های انتقال حرارت بدست آمده برای شرایط آشفتگی جریان آزاد ۴% و ۸% با اندرکنش های مسیر ناپایدار را نشان می دهد. سیگنالهای بعضی از سنجه های جریان حرارت موضعی بر روی سطح شکل نشان داده می شوند. مقایسه های انتقال حرارت بصورت خطوط پر رنگ نشان داده می شوند. بنظر می رسد که ضرایب انتقال حرارت در امتداد پره شدیداً برای $Tu = 0.8\%$ در امتداد سطح پره افزایش می یابند. بیشترین افزایش ها در نزدیک پره هدایت کننده مشاهده می شوند.

انتقال محل گذار به طرف لبه هدایت کننده برای معتبر با اندرکنش های مسیر قابل توجه می باشد. حضور مسیر ناپایدار باعث گذار لایه مرزی زود هنگام می گردد. با یک افزایش در آشفتگی جریان آزاد، تاثیرات مسیر ناپایدار قابل توجه نمی باشند. مقدار آشفتگی جریان آزاد بدون مسیر، انتقال حرارت در امتداد سطح پره را افزایش داده و همچنین گذار زود هنگام بر سطح فشار را موجب می گردد. تاثیر افزودن مسیر ناپایدار فقط جزئی است.

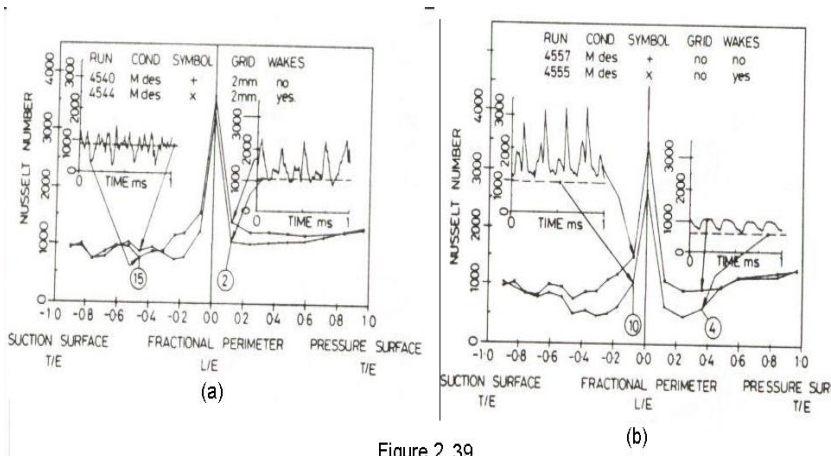


Figure 2.39

اندازه گیری های انتقال حرارت زمانی متوسط را با استفاده از یک ژنراتور چرخ

میله دار شبیه سازی شده آزمایشگاهی انجام داد. کسکید شامل پنج پره در مجموعه آزمایش گاز داغ ادغام می شود. گاز داغ تولید شده توسط یک محفظه احتراق از داخل یک شبکه آشفته و یک ژنراتور مسیر گردان عبور می کند. جزئیات بیشتر درباره دستگاه آزمایش می تواند از مقالات Dullenkopf و Wittig بدست آید. اندازه گیریها بوسیله سیم داغ را انجام دادو سیگنال های سرعت رابا گردش ژنراتور مسیر ثبت کرد. اندازه گیری ها در مدخل ورودی کسکید پره انجام شدند. یک سیگنال سیم داغ از یک مسیر عبور کننده در جهت مخالف جریان کسکید در

شکل ۲-۴۰ دیده می شود.

سیگنال بطور واضح کاهش سرعت هر میله عبوری را نشان می دهد که با جریان معمولی بین میله

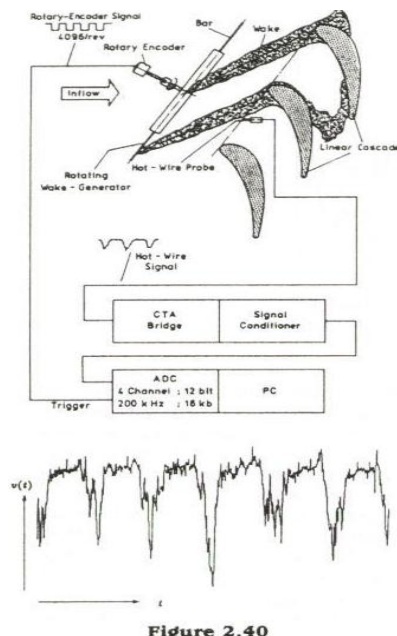


Figure 2.40

ها دنبال می شود. پارامترهای مهم شبیه به سرعت وابسته به زمان $\bar{U}(t)$ از متغیر تناوبی $u(t)$

تشکیل گردیدند و نوسانات سرعت $\bar{U}'(t)$ در شکل ۲-۴۱ دیده می شوند.

تحلیل معدل گیری برای بدست آوردن توزیع های آشفتگی میانگین گیری شده در زیر شرح داده

می شود. توزیع مولفه نوسان کننده آشفتگی بر روی یک فاصله توسط معادله زیر ارزیابی می شود:

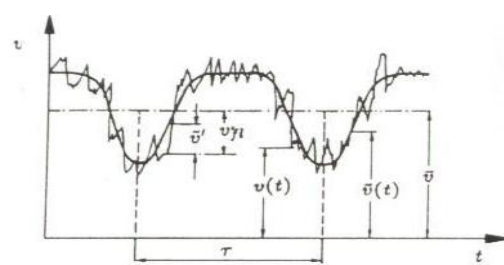


Figure 2.41

$$\bar{U}'^2(t_1) = \frac{1}{m-1} \sum_{j=1}^m \left[v_j(t_1) - \bar{U}(t_1) \right]^2$$

شکل ۲-۴۲ ارزیابی توزیع آشفتگی معدل گیری شده را نشان می‌دهد.

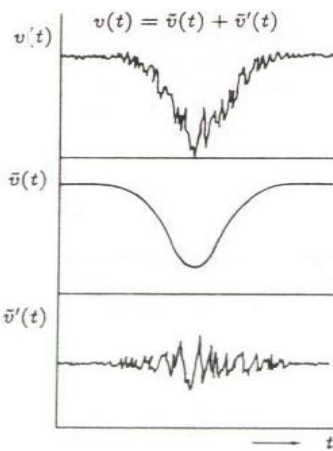


Figure 2.42

شکل ۲-۴۳ ضریب انتقال حرارت را برکل پره برای شرایط متفاوت نشان میدهد.

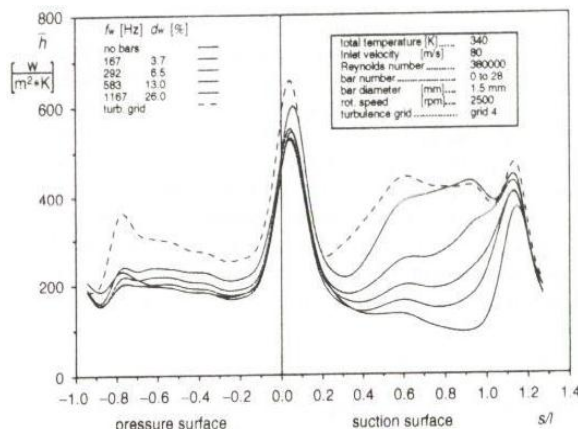


Figure 2.43

عدد رینولدز بر اساس وتر پره 380000 برابر پره مختلف بود: بدون میله ۷ میله، ۱۴ میله، 28 میله و حالت آشفتگی کامل با آشفتگی تولید شده توسط شبکه به میزان

۸٪ فرکانس گردش مسیر (f_w) و مدت دوام مسیر (dw) برای هر مسیر داده می‌شوند. مدت

دوام نسبی مسیر برابر با نسبت زمان دوام مسیر به پریود عبور مسیر است. با مشاهده حالت‌های

مختلف واضح است که ضریب انتقال حرارت سطح مکش برای هر حالت بدلیل گذار لایه مرزی

قبلی بالاتر هستند. محل گذار با افزایش فرکانس مسیر در جهت مخالف جریان به طرف لبه هدایت

کننده نزدیک می‌شود. محل گذار از یک فاصله سطح $1.0 \sim 1.3$ به حدود ۰.۳ برای بالاترین

فرکانس مسیر حرکت می کند. حالت آشتفتگی تولید شده توسط شبکه دارای یک محل گذار در حدود $I \sim 0.2$ s می باشد. Dullenkopf نشان داد که ناحیه آشتفته و مسیر جریان آزاد در خارج از لایه مرزی بطور مستقل عمل می کنند هنگامی که گذار توسط مسیر در هر محل آغاز می شود. توزیع ضریب انتقال حرارت میانگین زمانی حاصل از کسر زمان آشتفته و لایه ای تشکیل می شود، که در آن کسر زمان آشتفته در طول سطح افزایش می یابد. این امر افزایش طول زود گذار در مقایسه با حالت خط پایه (بدون میله ها) را نشان می دهد. سطح فشار یک تاثیر کمتر در مقایسه با تاثیر سطح مکش را نشان می دهد. این امر ممکن است رخ دهد زیرا intermittency ایجاد شده توسط مسیر تقریباً ثابت است. جزئیات بیشتر در باره تاثیرات intermittency موضعی در بخش بعدی بحث خواهد گردید.

2.4.3 - پیش بینی های انتقال حرارت تحت تاثیر مسیر:

همانطور که در بالا شرح داده شد، یکی از دلایل اصلی جریان ناپایدار در توربین های گاز عبارتند از انتشار مسیر ها از ایرفویل های هوایی در جهت مخالف جریان می باشد. این مسیر ها جریان آزاد را با یک سرعت ناپایدار پریودی، دما و شدت آشتفتگی اعمال می کنند. کاهش سرعت همراه با مسیر ممکن است یک جریان همرفتی را بطرف سطح یا مخالف آن ایجاد نماید. مسیر ها یک گذار لایه مرزی لایه ای به آشتفته ناپایدار زود هنگام را ایجاد می کنند تا در طرف مکش اتفاق بیافتد. انتقال حرارت همراه با جریان ناپایدار بطور واضح گذار لایه مرزی زود هنگام را نشان می دهد (شکل ۴-۲).

در این بخش، ما بر روی نظریه Mayle و محققان همکار او تمرکز می نماییم تا انتقال حرارت بر سطح را تحت تاثیر عبور مسیر ناپایدار پیش بینی نماییم. Mayle تاثیر گذار آشتفته لایه ای را در

طراحی موتور توربین گاز نشان داد و پیشنهادهایی با ارزش برای بررسی های بعدی ارائه کرد. او یک شرح عمومی از گذار و شکل های مختلف آن ارائه کرد و نکات نظری و عملی را برای هر حالت گذار امتحان نمود.

Mayle و Dullenkopf یک توزیع موج مربعی شکل را برای تابع تولید نوار آشفته فرض کردند و یک نرخ تولید را آزمایشات ارزیابی نمودند آنها به یک عبارت ساده دست یافتند:

$$\bar{\gamma}_\omega(x) = 1 - \exp \left[-1.9 \left(\frac{x - x_{t\omega}}{U_\tau} \right) \right]$$

U سرعت برخورد ایرفویل است و τ پریود عبور مسیر می باشد. عبارت زیر پس از ترکیب عبارت های قبلی دست یافتند:

$$\bar{\gamma}(x) = 1 - e^{-0.412 \left(\frac{x - x_m}{x_{75} - x_{25}} \right)^2} e^{-b \left(\frac{\tau\omega}{\tau} \right) \left(\frac{x - x_{t\omega}}{U_x} \right)}$$

x_{25} و x_{75} محل هایی برروی سطح هستند در جایی که intermittency برابر با 0.75 است، τ_ω زمان دوام مسیر برروی محل، $x_{t\omega}$ و τ پریود عبور مسیر می باشد.

شکل ۲-۴۵ نتایج حاصل از کارهای Pfeil و herbst و wittig Dring را با مقادیر حاصل از نظریه فوق مقایسه کردند. توافق با تمام سه بررسی خیلی خوب است. مقایسه های بین اطلاعات انتقال حرارت آزمایشی (تجربی) و پیش بینی هایی براساس مدل Mayle-Mayle را در شکل ۲-۴۶ نشان می دهد. با این حال، آغاز گذار از سنجش های آزمایشی

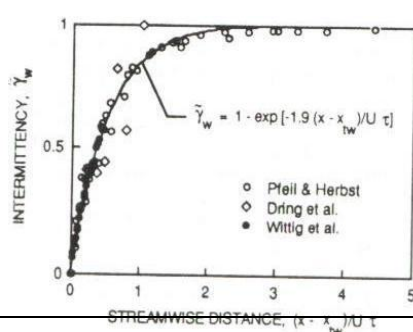


Figure 2.45

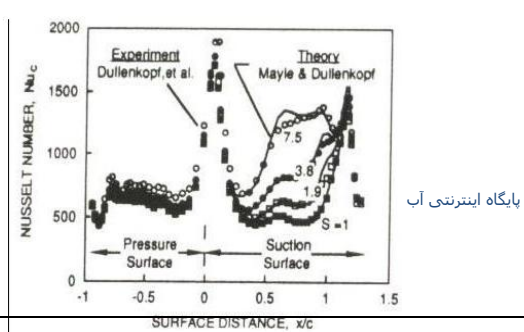


Figure 2.46

تعیین شدند تا مدل گذار را بکار ببرند و ضرایب انتقال حرارت را محاسبه نمایند. Han بعضی مقایسه ها را بین مدل گذار Dullenkopf-Mayle و آزمایشات انتقال حرارت آنها را با استفاده از یک ژنراتور مسیر چرخ - میله دار نشان می دهند.

2.4.4 - تاثیرات مرکب آشفتگی جریان آزاد و مسیر ناپایدار :

در دانشگاه A&M تگراسن تاثیرات مسیر ناپایدار را در ترکیب با آشفتگی جریان آزاد بالاتر بر ضرایب انتقال حرارت در یک پره روتور مطالعه کردند. آنها تاثیرات اولیه مسیر ناپایدار و آشفتگی جریان آزاد را مطالعه کردند و سپس هر دو تاثیر را ترکیب نمودند و آن را با تاثیرات اولیه مقایسه کردند. مسیر های مخالف جریان با استفاده از ژنراتور چرخ - میله دار مطابق شکل ۲-۴۷ تولید شدند. ژانگ^۱ و هان^۲ یک شدت آشفتگی میانگین (\bar{Tu}) را برای تعیین آشفتگی تولید شده توسط ترکیب آشفتگی جریان آزاد و ناپایدار تعریف نمودند. جزئیات بیشتر توسط ژانگ و هان ارائه می شود.

شکل ۲-۴۸ تاثیر استحکام مسیر ناپایدار بر ضرایب انتقال حرارت سطح پره از مطالعه هان و ژانگ را نشان می دهد. تاثیر افزایش استحکام مسیر آشکار می باشد. با افزایش استحکام مسیر محل گذار

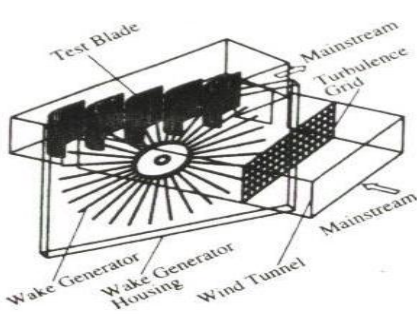


Figure 2.47

1.Zhang 2.Han

بر سطح مکش به طرف لبه هدایت کننده حرکت می کند. دو حالت اضافه، در جایی که آشفتگی جریان آزاد ۰.۷٪ است و یک آشفتگی تولید شده توسط شبکه به مقدار ۵.۷٪ نیز لحاظ می شوند. تمام حالت های مسیر دارای یک آشفتگی تولید شده توسط شبکه در جهت مخالف جریان با ۵.۷٪ بودند. خطوط پر رنگ روی سطح مکش پیش بینی هایی براساس روش بحث شده قبلی هستند. مقادیر $X_{t\omega}$ ، محل آغاز برای گذار ناشی از مسیر، c ، 0.25 ، 0.2 ، 0.15 و 0.1 برای $s=0.1$ و 0.2 و 0.3 می باشند. (وتر فویل هوا می باشد)، نتایج یک انطباق خوب را در ناحیه موافق جریان آغاز گذار نشان می دهند. با این حال، در جهت مخالف جریان گذار، نظریه مقادیر انتقال حرارت را کمتر از مقادیر واقعی پیش بینی می کند. نتایج فوق برای نشان دادن توانایی نظریه گذار Mayle برای پیش بینی مقادیر انتقال حرارت معدل گیری شده زمانی برای پره ها تحت تاثیرات مسیر ناپایدار، ارائه می شوند.

شکل ۲-۴۹ سه حالت را مقایسه می کنند: جایی که آشفتگی به شیوه های مختلف ایجاد می شود

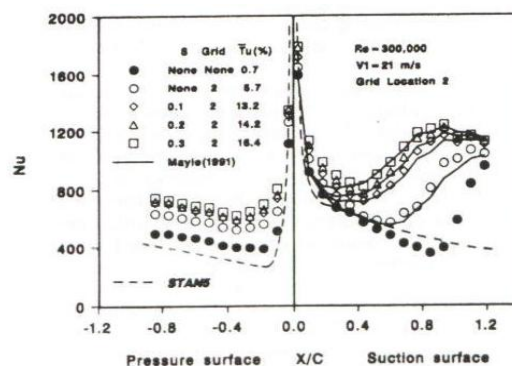


Figure 2.48

ولی شدت آشفتگی میانگین تمام سه حالت در $\bar{T}u = 13.5\%$ مشابه است.

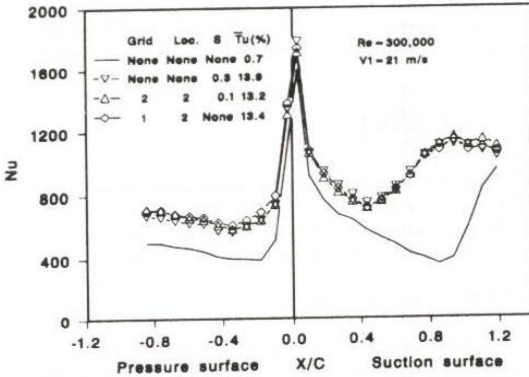


Figure 2.49

هر حالت دارای مقادیر آشفتگی تولید شده توسط شبکه متفاوت و استحکام های مسیر مخالف می باشد. با این حال ، ضرایب انتقال حرارت معدل گیری شده زمانی برای شیوه تولید

آشفتگی، شدیدمی باشند. خصوصیات آشفتگی برای سه حالت متفاوت خواهند بود، اما شدت

آشفتگی میانگین آنها هنوز یکسان است. این نتایج نشان می دهد که خصوصیات آشفتگی ممکن

است خیلی مهم نباشد اگر شدت آشفتگی میانگین بتواند شبیه سازی گردد تا تقریباً "همانند شدت

از یک معب پره موتور توربین گاز باشد. شکل ۲-۵۰ تاثیر استحکام مسیر ناپایدار در جهت مخالف

جريان برای یک آشفتگی جريان آزاد ورودی را نشان می دهد ($Tu=17.2\%$). اعداد استروهال^۱

برهم نهاده شده برای آن موارد عبارتند از ۰.۱، ۰.۲، ۰.۳ می باشند. شدت های آشفتگی میانگین

محاسبه شده $\bar{T}u$ در ورودی کسکید برابر با ۲۰.۹٪ ۲۱.۱٪ و ۲۱.۲٪ می باشند. توزیع

های عدد نوسلت شدت کم را برای تغییر در عدد استروهال نشان می دهند. نتایج در شکل فوق

نسبتاً مهم هستند زیرا آنها نشان میدهند

که فرکانس در جهت مخالف جريان هیچ تاثیر ندارد و هنگامی که جريان آزاد شدیداً آشفته

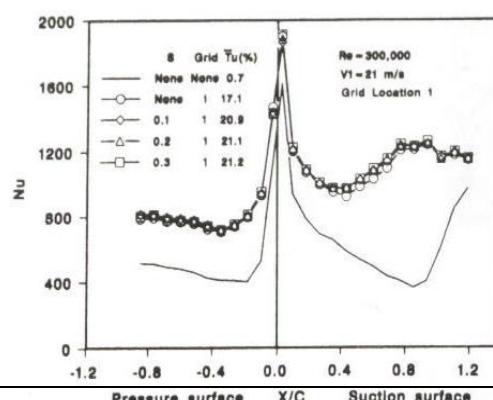


Figure 2.50

پایگاه اینترنتی آب و آهن و آتش (مهندسر)

. (Tu=17.2%) باشد.

Du از همان آزمایش Han استفاده کرد و تاثیر اضافه خروج دنباله لبه پره در جهت مخالف جریان

را با مسیر ناپایدار بر ضریب انتقال حرارت پره در جهت موافق جریان بررسی کردند. خروج ماده

سرد کننده توسط تزریق ماده سرد کننده از سوراخ های مختلف بر روی میله ژنراتور بدست آمد.

آنها ضرایب انتقال حرارت را روی پره با استفاده از یک روش کریستال مایع زودگذر اندازه گرفتند.

تاثیر خالص عبارتست از افزایش ضرایب انتقال حرارت برروی فشار و سطح مکش در اطراف

ناحیه لبه هدایت کننده بود. شکل ۲-۵۱ تاثیر مسیر ناپایدار، آشفتگی جریان آزاد و خروج ماده

سرد کننده بر توزیع انتقال حرارت یک پره روتور توربین نشان می دهد. حالت‌هایی برای یک تونل

باد) حالت 7، $\bar{T}u = 0.7\%$ ، مسیر ناپایدار(حالت 8 ، $\bar{T}u = 10.4\%$) ، شبکه و مسیر(حالت 9

، $\bar{T}u = 13.7\%$) ، شبکه مسیر و سرعت دمتش جت خروجی $M=0.25$ (حالت 10 ،

$\bar{T}u = 13.4\%$) و بالاخره شبکه، مسیر و جت خروجی $M=0.5$ (حالت 11 ، $\bar{T}u = 13.0\%$) را

X/SL مقایسه کنند. افزودن تاثیر مسیر خودش محل گذار در حرکت سمت از 0.5 تا 0.25 را ایجاد می نماید.

با افزودن آشفتگی شبکه جریان آزاد، یک حرکت بعدی محل گذار

مخالف جهت جریان وجود دارد. تاثیر جت یا سطح مکش عبارتند از افزایش انتقال حرارت در

جهت مخالف جریان محل گذار تا ۲۵% است (در مقایسه با حالت بدون خروج

جهت (مورد ۹)). تاثیر جت در نواحی کاملاً "آشفته و گذار ناچیز" می شود. انتقال حرارت سطح فشار

هیچ افزایش چشمگیری را مطابق آنچه که برروی سطح مکش دیده می شود، نشان نمیدهد.

با این حال، یک افزایش تا ۱۵% در مقادیر انتقال حرارت در ناحیه نزدیک به لبه هدایت کننده

وجود دارد.

نتایج مشابه را از آزمایشات مدل موتور روتور- استاتور گزارش کرد. ممکن است نتیجه گرفته شود که افروزان خروج دنباله لبه عبارتند از جبران کاهش سرعت ناشی از مسیر می باشد که باعث یک افزایش در سرعت جریان اصلی برخورد کننده است و یک پروفیل شدت آشفتگی یکنواخت تر را تولید می نماید.

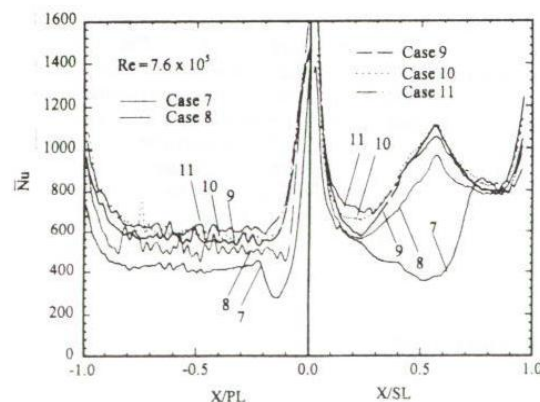


Figure 2.51

5-2- انتقال حرارت دیوار انتهایی ایرفویل:

2.5.1- مقدمه :

ناحیه دیواره انتهایی ایرفویل ناحیه پیچیده‌ای است برای تحلیل، که توسط مهندسان توربین گاز بکار برده می‌شود. دیوار انتهایی یک بخش بزرگ از سطح خنک شونده را در یک نسبت جنبه کم مدرن، با طراحی صلبیت کم را نشان می‌دهد. با افزایش دماها و فشارهای ورودی توربین، مسئله خنک کردن دیوار انتهایی چشمگیر شده است.

ناحیه دیوار انتهایی یک ناحیه پیچیده ناشی از حضور جریان‌های ثانوی سه بعدی می‌باشد.

York در سال ۱۹۸۴ نشان داد که خصوصیات ضروری مسئله دیوار انتهایی عبارتند از:

وجود شیب‌های فشار و دما در جریان ورودی که جریان‌های ثانوی را به صورت برگشت‌های

جریان در معبرهای پره موجب می‌شود.

حرکت لایه مرزی در لبه هدایت کننده هر ایرفویل، در داخل یک گرداب مجزا که در داخل

معبر هم‌رفت می‌شود.

لایه‌های مرزی سه بعدی بر روی دیوار انتهایی با مؤلفه‌های جریان عرضی بزرگ که توسط

شیب‌های فشار جریان عرضی قوی ایجاد می‌شود.

اندرکنش مارپیچ در گوش دیوار انتهایی - سطح مکشی.

برای درک عبارت‌های فوق، شخص باید میدان جریان دیوار انتهایی را درک نماید. تعداد زیادی

از بررسی‌های بر روی میدان جریان دیوار انتهایی در تلاش برای درک ساختارهای جریان ثانوی و

انتقال حرارت مربوطه متمرکز شده‌اند.

2.5.2 - توصیف میدان جریان:

wang در سال ۱۹۹۷ مدل‌های ثانوی گوناگون منتشر شده، درباره میدان جریان نزدیک به

Butler Sharma و Langston در سال ۱۹۸۸ دیوار انتهایی یک پره توربین را خلاصه کرد.

Spons و Goldstein (۱۹۸۷) سه مدل نماینده اصلی را نشان دادند. شکل ۲-۵۲

میدان جریان خلاصه شده توسط Langston را نشان می‌دهد. عکس تکامل تدریجی و توسعه دو

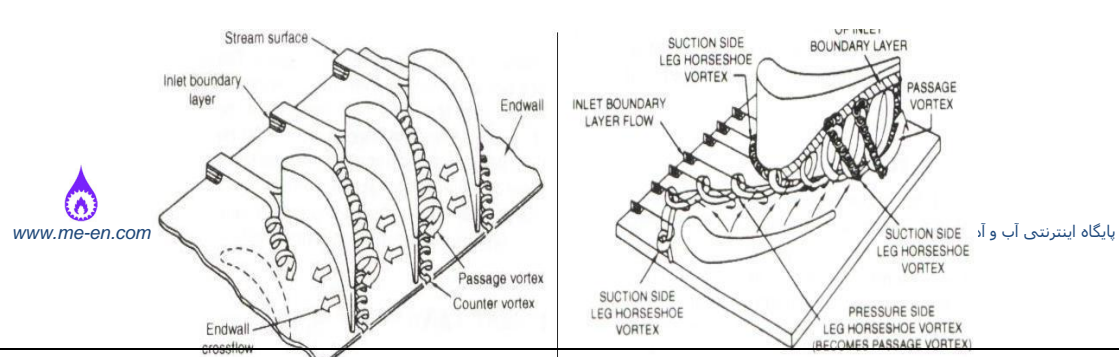


Figure 2.52

Figure 2.53

ساق مارپیچ و یک مارپیچ معبّر را نشان می‌دهد. شکل ۲-۵۳ یافته‌های Sharma و Butler را خلاصه می‌کند. آنها نشان می‌دهند که مارپیچ در سمت فشار به یک مارپیچ معبّر تبدیل می‌شود و به طرف مارپیچ در سمت مکش نزدیک می‌گردد. مارپیچ‌ها جریان لایه مرزی را بطرف نوک ایرفویل حمل می‌نمایند. Spons و Goldstein تایج خودشان را درباره میدان جریان دیوار انتهایی ارائه کردند.

شکل ۲-۵۴ الگوی مارپیچ مشروح توسط Spons و Goldstein را نشان می‌دهد. شکل تمام مارپیچ‌های فعال را نشان می‌دهد. جریانهای ثانوی از ناحیه دیوار انتهایی اساساً نتیجه دو شیب فشار اصلی در معبّر پره می‌باشند. تغییر فشار در معبّر توسط توزیع سرعت لایه مرزی و تجمع جریان بر روی پره ایجاد می‌شود. این تغییرات فشار جریان را بطرف دیوار انتهایی جلو می‌برد و آن را به داخل دو ساق مارپیچ لب هدایت کننده به پیش می‌راند. زاویه برگشت جریان بین ایرفویلهایک شیب فشار قوی را در معبّر بوجود می‌آورد. این شیب بر روی مسیرهای دو ساق مارپیچ و همچنین جریان با مومنتوم (اندازه حرکت) کم در مجاورت دیوار انتهایی تاثیر می‌گذارد. این تغییر، یک جریان را بر روی سطح فشار (رو به پایین) و یک جریان بر روی سطح مکش (رو به بالا) را موجب می‌شود. مارپیچ ساق سمت فشار با جریان مومنتوم کم نزدیک به دیوار انتهایی ترکیب می‌شود و مارپیچ معبّر را بوجود می‌آورد. مارپیچ معبّر از لب هدایت کننده سمت فشار به طرف لب دنباله سمت مکش ایرفویل مجاور در معبّر جابجا می‌شود. این مارپیچ (بر چسب ۳) دیوار انتهایی نزدیک به سمت مکش را بلند می‌کند و در امتداد سمت مکش می‌چسبد، هنگامی که به موافق جریان در معبّر عبور می‌نماید. مارپیچ سمت مکش (با بر چسب ۲) نزدیک به دیوار انتهایی

باقی می‌ماند تا اینکه به خط جدائیش در سمت مکش می‌رسد و سپس دیوار انتهایی را بلند می‌کند و در امتداد سمت مکش در جهت موافق جریان ادامه می‌یابد.

مارپیچ سمت مکش در اطراف مارپیچ معبّر می‌پیچد. این محل پیچیدن در محل‌های مختلف برای شکل‌های هندسی کاسکاد مختلف رخ می‌دهد. همچنین مارپیچ‌های با مومتوом کم دیگری وجود دارند که موسوم به مارپیچ‌های گوشه می‌باشند. همچنین یک مولفه رو به پایین از سرعت در طرف فشار به طرف دیوار انتهایی وجود دارد که ممکن است مارپیچ معبّر را به طرف سمت مکش

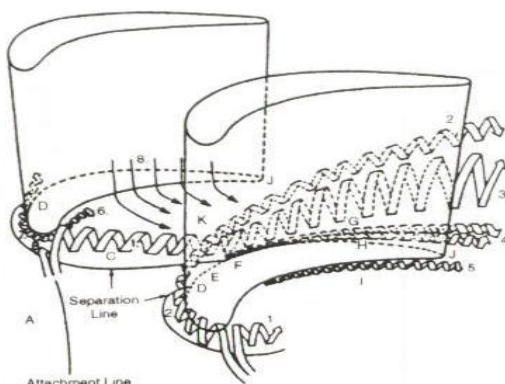


Figure 2.54

به جلو براند. این توزیع‌های جریان ثانوی پیچیده ممکن است منجر به رفتار انتقال حرارت پیچیده شود که ممکن است تغییرات قوی در دیوار انتهایی معبّر را نشان دهد. جریان‌های ثانوی می‌توانند انتقال حرارت را افزایش دهند و مدل‌های صفحه تخت نمی‌توانند انتقال حرارت را برای دیوارهای انتهایی پیش‌بینی نمایند. بنابراین، حصول اندازه گیری‌های انتقال حرارت دقیق برای جریان‌های دیوار انتهایی امری مهم است.

2.5.3 - انتقال حرارت دیوار انتهایی:

Graziani (۱۹۸۰) شرح داد که انحنای خط جریان از جریان اصلی یک شیب فشار قوی را از سطح فشار تا سطح مکش ایجاد می‌نماید که بر روی دیوار انتهایی فشار داده می‌شود. جریان ثانوی

دیوار انتهایی از سیال با مومنتوم کم تهیه می شود که با سیال جریان اصلی اندر کنش می نماید.

آزمایشاتی در یک مقیاس وسیع، سرعت کم، با تونل باد کاسکاد مدار باز انجام داد. او Graziani

سطح پره و توزیع انتقال حرارت سطح دیوار انتهایی را برای دو ضخامت متفاوت از لایه مرزی

ورودی اندازه گیری کرد. توزیع سطوح تیغه و فشار دیوار انتهایی توسط فشار استاتیک محاسبه

گردید. توزیع های انتقال حرارت با استفاده از مدل های جریان حرارت یکنواخت و گرم شده به

طریق الکتریکی بدست آمدند.

جزئیات بیشتر درباره روش آزمایش می تواند از مقالات Graziani بدست آید. شکل ۲-۵۵

حاشیه های (کانتور) فشار استاتیک دیوار انتهایی بر روی دیوار انتهایی پره را برای دو ضخامت لایه

مرزی متفاوت نشان می دهد. مقایسه فوری نشان می دهد که الگوی لایه مرزی با خرابی های

موقعی کمتر، پیچیدگی خیلی کمتری دارد. نقطه زمینی از جدایش بر روی دیوار انتهایی ، مسیر

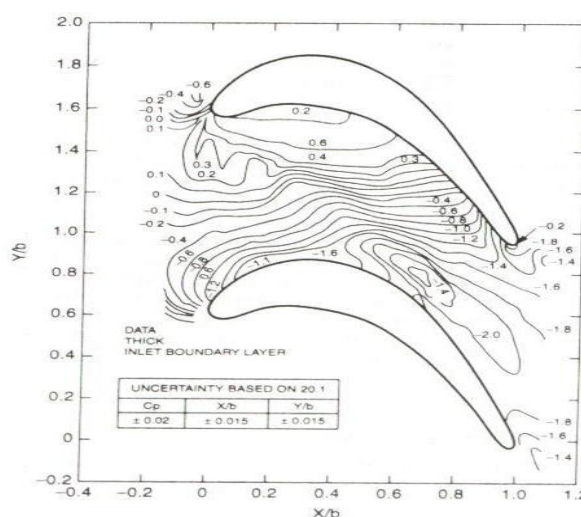


Figure 2.55

مارپیچ معبر و خط جدایش دیوار انتهایی فقط برای لایه مرزی ضخیم تر قابل تشخیص هستند.

فقط نزدیک به سطح مکش در محل فشار حداقل، معبر مارپیچ آشکار می باشد.

شکل ۲-۵۶ توزیع‌های عدد استانتون دیوار انتهایی را برای یک ضخامت لایه مرزی زیاد نشان می‌دهد. انتقال حرارت در نزدیک لبه هدایت کننده بدلیل حضور یک مارپیچ، زیاد می‌باشد. مسیر مارپیچ با یک الگوی شیب‌های تند مشخص می‌شود که در ناحیه نقطه زمینی آغاز می‌شود و در دیوار انتهایی تا سطح مکش ادامه می‌یابد.

اعداد استانتون به تدریج به طرف سطح مکش کاهش می‌یابد. کمترین مقادیر انتقال حرارت بر روی دیوار انتهایی در نزدیک سطح فشار پیدا می‌شوند. ناحیه عدد استانتون کم یک حلقه را شکل

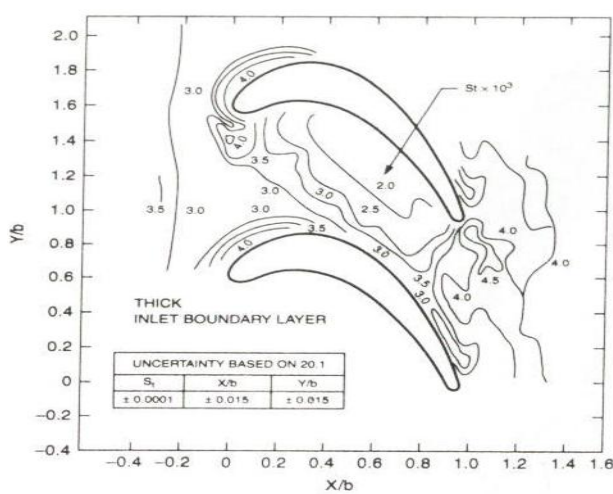


Figure 2.56

می‌دهد که از ناحیه نقطه زمینی یه طرف سطح فشار از خارج به داخل معتبر نزدیک به لبه دنباله ادامه می‌یابد. یک سیستم از نواحی کانتور (حاشیه) عدد استانتون بسته بالاترین نواحی انتقال حرارت را در ناحیه wake ایرفویل نشان می‌دهد. واضح است که در دیوار انتهایی جریانهای لایه مرزی سه بعدی وجود دارد که برای آن مفروضات لایه مرزی قراردادی ممکن است قابل کاربرد نباشد.

شکل ۲-۵۷ کانتورهای عدد استانتون را بر روی سطح دیوار انتهایی و پره برای یک لایه مرزی ورودی ضخیم نشان می‌دهد. تاثیرات مارپیچ موجود در جریانهای ثانوی در اطراف ناحیه مرکزی پره دیوار انتهایی، در توزیع‌ها به شدت آشکار هستند.

توزیع‌های انتقال حرارت سطح مکش شبیه به ناحیه دیوار انتهایی سه بعدی هستند. با این حال، توزیع‌های انتقال حرارت سطح فشار کمتر هستند و بر روی سطح کمتر تغییر می‌نمایند این یک بررسی مقدماتی بود که بر روی ناحیه دیوار انتهایی ایرفویل تمرکز داشت و یک دیدگاه بسیار پیچیده از پدیده را نشان می‌داد. بررسی محققان را به تمرکز بر روی سطح ایرفویل و همچنین ناحیه‌نوك و دیوار انتهایی از ایرفویل هدایت کرد. مقادیر انتقال حرارت زیاد هستند و سرد کردن دیوارهای انتهایی را ضروری می‌نمایند. سایر بررسی‌ها توسط Dunn (۱۹۷۹)، stoddard (۱۹۷۹) Russell (۱۹۸۴) Boyle (۱۹۸۴) Wedlake (۱۹۸۴) York (۱۹۷۹) Hause و Dunn (۱۹۸۹) و Blair (۱۹۹۴) بر روی مقادیر انتقال حرارت دیوار انتهایی تمرکز کرده‌اند.

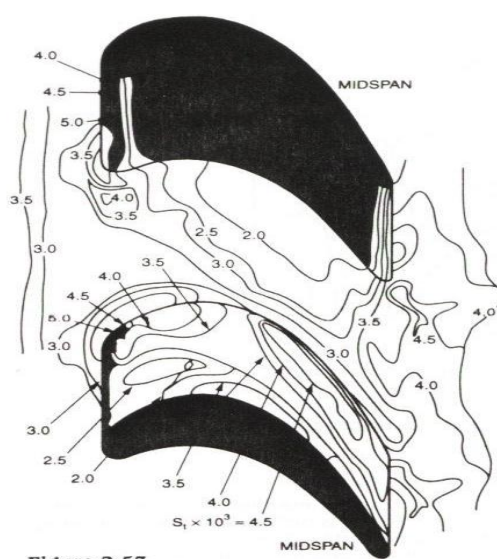


Figure 2.57

توzیع‌های انتقال جرم مفصل را Goldstein و Chen (1992)، Wang (1995) Goldstein و Chen (1995) توزیع‌های انتقال جرم را بر روی دیوار انتهایی ارائه کرده‌اند. آنها خصوصیات انتقال جرم را بر روی دیوار انتهایی و بر روی سطوح فشار و مکش نزدیک به دیوار انتهایی بررسی کرده‌اند. بررسی‌های آنها بر اساس جریان‌های عدد رینولدز کم بود و بصیرت با ارزش نسبت به جریان‌های ثانوی دیوار انتهایی و تأثیرات آنها بر روی سطوح مکش و فشار تیغه را فراهم کرد.

2.5.4 - انتقال حرارت نزدیک دیوار انتهایی:

بررسی‌های کمی بر روی تأثیرات اندرکنش‌های مارپیچ‌های تولید شده توسط دیوار انتهایی با سطح پره و تأثیر بر روی انتقال حرارت متمرکز شده‌اند. Graziani (1980) و sato (1987) از جمله کسانی هستند که انتقال حرارت سطح تیغه را در ناحیه نزدیک به دیوار انتهایی مطالعه کردند. Chen و Goldstein (1995) انتقال جرم بر روی ناحیه نزدیک دیوار انتهایی سمت مکش را بررسی کرد. آنها نشان دادند که توزیع‌های انتقال حرارت یک الگوی جداسازی لایه‌ای، گذرا و اتصال مجدد را ناشی از یک شب فشار معکوس را نمایش می‌دهند.

Goldstein (1995) تأثیر جریان‌های ثانوی نزدیک دیوار انتهایی و آشفتگی لایه مرزی را بر روی انتقال حرارت سطح ایرفویل مطالعه کرد. ناحیه نزدیک به دیوار انتهایی شدیداً سه بعدی است که بدلیل سه بعدی بودن جریان در این ناحیه می‌باشد. الگوی جریان پیچیده قبل از شرح داده شده است. شکل ۲-۵۸ توزیع‌های عدد شروود را بر روی سطوح مکش و فشار تیغه توسط Goldstein (1995) نشان می‌دهد. همانطور که از توزیع‌ها می‌توان مشاهده کرد، مارپیچ انتقال حرارت سطح مکش را نزدیک به لب هدایت کننده تحت تأثیر قرار نمی‌دهد. در اطراف یک فاصله محوری

$$\frac{S}{C} = 0.37$$

سطح تحت تأثیر مارپیچ قرار می‌گیرد. تأثیر مارپیچ معتبر در این نقطه آغاز می‌شود.

مارپیچ سمت مکش سپس از دیوار انتهایی دور می شود و بالاتر از مارپیچ معبّر در امتداد سطح مکش حرکت می کند و تغییرات شدید در توزیع انتقال حرارت را موجب می شود. محل انتقال حرارت اوج در امتداد این مارپیچ است، هنگامی که از سمت مکش تیغه بالا می رود و در جهت موافق جریان توسط مارپیچ معبّر حمل می شود. بر روی سطح فشار، انتقال حرارت (انتقال جرم) بصورت دو بعدی توزیع می شود، تأثیر زیادی بر روی سمت فشار بدلیل جریان های ثانوی وجود ندارد. هنگامی که مارپیچ معبّر بطرف سمت مکش حرکت می کند، و مارپیچ سمت فشار اندکی کوچکتر است و باعث تأثیرات در مقیاسی بزرگ می شود. اندکی بین مارپیچ سمت فشار و رژیم های لایه مرزی متفاوت باعث جدایش جریان گذار و اتصال مجدد می شود و افزایش نزدیک به دیوار انتهایی رخ می دهد. تأثیرات ۳ بعدی بر روی سطح فشار محدود به یک ناحیه نزدیک به دیوار انتهایی می باشد.

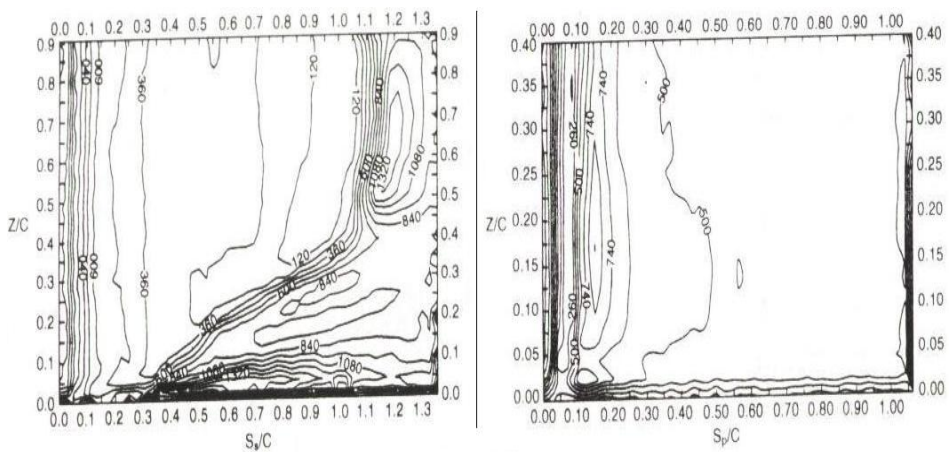


Figure 2.58

2.5.5 - آزمایش و بررسی های وضعیت موتور:

یک سری آزمایش بر روی یک کاسکاد NGV در یک کاسکاد پیستون سبک Wedlake ایزنتروپیک (ILPC) (ILPC) انجام داد. ILPC یک وضعیت جریان مشابه با یک موتور توربین گاز را می‌خواهد تولید نماید. آنها نسبت‌های دمای گاز به فلز را بجای استفاده از مقادیر دمای واقعی شبیه سازی کردند که در یک توربین گاز واقعی وجود دارد. شکل ۲-۵۹ ILPC را نشان می‌دهد.

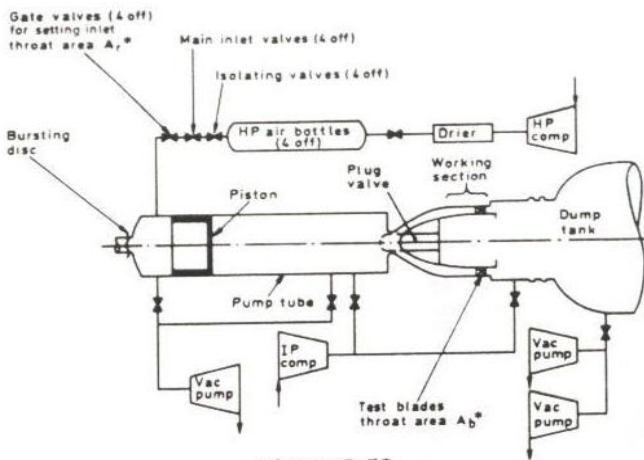


Figure 2.59

اندازه‌گیری‌های انتقال حرارت توسط عبور هوای گرم شده بر روی تیغه‌های آزمایش برای مدت زمان طولانی برای ثبت پاسخ دماهای سطح به معبر گاز داغ انجام شدند. شکل ۲-۶۰ کانتورهای عدد نوسلت دیوار انتهایی بیرونی را برای یک عدد ماخ $1/4$ نشان می‌دهد. توزیع‌ها در ورودی پره در وسط معبر یکنواخت هستند و مقادیر زیادی در نواحی مارپیچ لبه هدایت کننده متمرکز می‌باشند. یک ناحیه نقطه زمینی از انتقال حرارت متوسط در معبر آشکار می‌باشد و انتقال حرارت زیاد می‌شود هنگامی که مارپیچ سمت فشار از سمت فشار یک ایرفویل به سمت مکش ایرفویل مجاور حرکت می‌کند. این امر با نتایج سرعت کم تهیه شده توسط Grariani سازگاری دارد.

Giel اندازه‌گیری‌های انتقال حرارت دیوار انتهایی را در یک کاسکاد توربین ترانسونیک ارائه کردند. آنها تاثیرات عدد ماخ خروجی و آشفتگر جریان آزاد را بر روی انتقال حرارت دیوار انتهایی بررسی نمودند. آنها نشان دادند که اعداد ماخ خروجی مافوق صوت، توزیع‌های عدد استانتون

مشاهده شده در حالت‌های عدد ماخ خروجی ساب سونیک را فرمی‌ریزد، همچنین آنها نشان دادند که مقادیر انتقال حرارت اوج پایینی را با افزودن آشفتگی تولید شده توسط شبکه بدست آوردن.

آنها فرض کردند که این امر ممکن است بدلیل تغییرات در جریان‌های ثانوی رخ دهد که توسط ضخامت لایه مرزی نازک‌تر بوجود آمده است. اخیراً Harney نیز انتقال حرارت دیوار انتهایی را بررسی کرد. آنها نتایج خودشان را با شبیه سازی‌های محاسباتی مقایسه کردند.

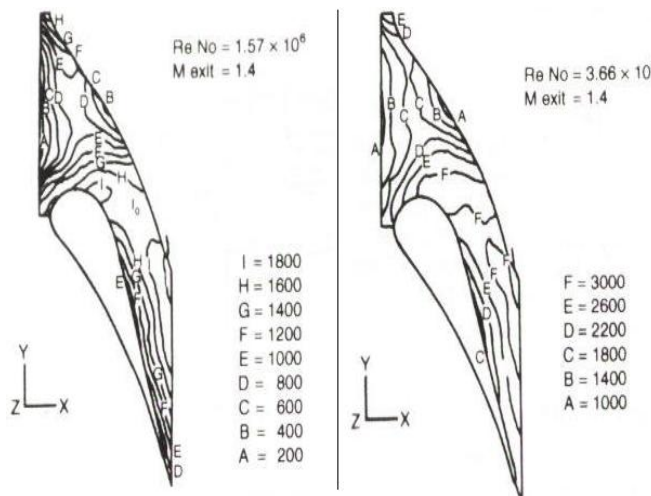


Figure 2.60

2.5.6 - تاثیر زبری سطح :

Blair تاثیر زبری بر روی انتقال حرارت سطح تیغه و دیوار انتهایی را بررسی کرد. شکل ۲-۶۱ سطح ایرفویل و کانتورهای عدد استانتون دیوار انتهایی مرکزی و سطح ایرفویل را برای دیوارهای زبر و نرم نشان می‌دهد. سطح هموار یک سطح پوشیده با کریستال مایع بود و سطح زبر 10^0 برابر زبرتر از پوشش کریستال مایع بود. یک شبکه غربال شده از ذرات به اندازه ۶۶۰ میکرومتر بطور یکنواخت بر روی کل مدل آزمایش موتور بکار برده شد تا سطح زبر را شبیه سازی کند. نتایج

برای سطح ایرفویل در اینجا ارائه می‌شوند تا تاثیرات سه بعدی را نشان دهند که جریانهای ثانوی دیوار انتهایی بر روی انتقال حرارت سطح ایرفویل نزدیک به دیوار انتهایی دارند. از نتایج سطح هموار آشکار است که جریانهای ثانوی دیوار انتهایی دارای تاثیر قوی‌تر بر روی توزیع‌های عدد استانتون سطح مکشی نسبت به سطح فشار می‌باشند. توزیع‌های انتقال حرارت بطور واضح نشان می‌دهند که لایه‌های مرزی دیوار انتهایی در معبّر بطرف سطح مکش توسط شیب فشار معبّر عرضی جاروب می‌شوند، که قبلً شرح داده شد. سپس لایه‌های مرزی به داخل یک زوج از مارپیچ نزدیک گوشة دیوار انتهایی، مرکز، ایرفویل و گوشة دیوار انتهایی، نوک ایرفویل حرکت داده می‌شوند. تاثیر بر روی سطح مکش عبارتند از تولید یک الگوی کانتورهای عدد استانتون است که مستقیماً با شکل‌های مارپیچ‌ها و خطوط جداش بددست آمده از بررسی‌های میدان جریان متناظر است.

نگاشت نقشه انتقال حرارت دیوار انتهایی مرکزی اعداد استانتون زیاد را نزدیک به لبه‌های هدایت کننده ایرفویل نشان می‌دهد. مارپیچ‌های لب هدایت کننده نیز انتقال حرارت دیوار انتهایی را افزایش می‌دهند، هنگامی که آنها انتقال حرارت سطح ایرفویل را افزایش دادند. حداقل انتقال حرارت بر روی دیوار انتهایی در لبه‌های هدایت کننده ایرفویلها رخ می‌دهد. ناحیه انتقال حرارت زیاد نزدیک به لب هدایت کننده بر روی سمت مکشی ادامه می‌یابد. اعداد استانتون بیشتر در نزدیک سطح مکش در مقایسه با سطح فشار ملاحظه می‌شوند. این امر ناشی از مهاجرت مارپیچ معبّر به سمت مکش می‌باشد. مقایسه نگاشت انتقال حرارت سطح زیر با نگاشت انتقال حرارت سطح هموار بطور واضح مقادیر انتقال حرارت افزایش یافته را نشان می‌دهد. در لایه‌های مرزی سطوح زیر کاملاً آشفته هستند و ممکن است مقادیر انتقال حرارت بالاتر را تولید نمایند. الگوهای جریان

برای سطوح زیر و نرم هر دو مشابه هستند. مقادیر انتقال حرارت بین ۲۰ و ۴۰٪ زیاد می‌باشد که بستگی به محل بر روی سطح ایرفویل و دیوار انتهایی دارد. بررسی‌های اخیر بر روی استفاده از فیلم خنک کننده برای سرد کردن ناحیه دیوار انتهایی مرکز بوده‌اند. این بررسی‌ها در فصل بعدی بر روی سرد کردن فیلم بحث خواهد گردید.

6-2 - انتقال حرارت نوک پره موتور توربین:

2.6.1 - مقدمه:

در موتورهای توربین گازمدون، پره‌هادرن‌زدیکی یک شراع (Shroud) ثابت یا دیوار خارجی هوزینگ (مقر) توربین، گردش می‌نمایند.

فاصله نوک نوعاً ۱.۵٪ فاصله پره است. خرابی‌های نوک پره اساساً توسط جریان نشست داغ

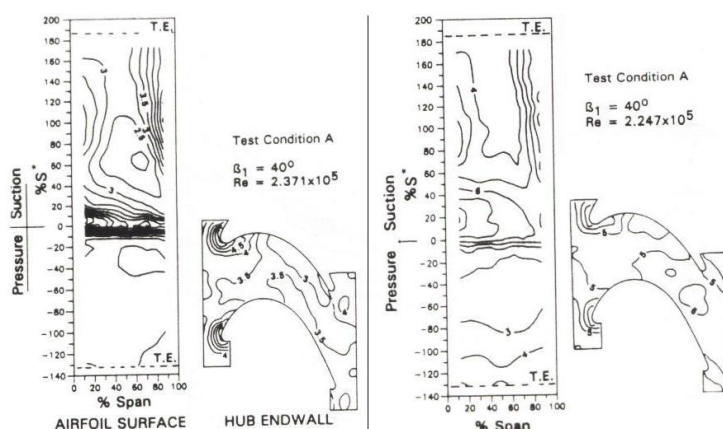


Figure 2.61

در داخل فاصله نوک ایجاد می‌شوند. تفاوت و اختلاف، فشار بین سطوح مکش و فشار، جریان را در داخل فاصله بین پره در حال گردش و شراع ثابت، موجب می‌شود. حذف فاصله بطور کلی غیرممکن است زیرا این فاصله برای رشد سانتریفوژی پره و همچنین انبساط حرارتی جزئی بین شراع و پره در نظر گرفته شده است. Metzger اشاره کرد که جریان نشست نوک تیغه معمولاً همراه با کاهش در عملکرد آیرودینامیک پره است و جنبه دوم از بار انتقال حرارت تا نوک پره

نادیده گرفته می‌شود. نرخ‌های انتقال حرارت در نوک می‌تواند بر روی کل سطح پره بالاترین مقدار باشد که منجر به شیب‌ها یا سرعت‌ها و دمای زیاد و مسائل پایداری مرتبط گردد. بررسی‌های انجام شده توسط Dunn در محیط استاتوری روتور نشان داده‌اند که بار حرارتی بر روی سطوح نوک پرّه بقدر زیاد هستند که می‌توانند موجب خرابی ساختاری شوند، اگر گرم کردن ناحیه نوک بقدر کافی در ملاحظات حرارتی در نظر گرفته نشود. انتقال حرارت نوک پرّه مرتبط با خصوصیات جریان نشست نوک می‌باشد. برای درک کامل انتقال حرارت نوک، محققان لازم است تا جریان ورودی نوک پرّه و خصوصیات جریان خروجی و تاثیرات آن بر روی فشار و انتقال حرارت سطح مکشی نزدیک به نواحی نوک را مطالعه نمایند.

2.6.2- میدان جریان ناحیه نوک پرّه و انتقال حرارت:

جریان نشست نوک پرّه یک جریان ناشی از فشار می‌باشد که ممکن است بر روی سطح مکشی نزدیک به نوک در خروجی تأثیر بگذارد. بررسی‌هایی بر روی جریان نشست نوک پرّه برای مقاصد آبرودینامیک متمرکز شده‌اند. تاثیرات جریان نشست نوک پرّه بر روی عملکرد پرّه مطالعه گردید. بررسی‌هایی توسط Bindon و Morphus Bindong برای درک بهتر الگوهای جریان فاصله- نوک کمک نموده‌اند. Bindon اندازه‌گیری‌های میدان جریان و فشار را بر روی یک نوک پرّه توربین محوری در یک کاسکاد خطی تحت شرایط سرعت کم، انجام داد. شکل ۲-۶۲ شرح درباره جریان نشست فاصله- نوک را نشان می‌دهد. او پیشنهاد کرد که سمت فشار نزدیک به جریان نوک بر روی نوک می‌غلطد که ناشی از شیب فشار فعال قوی در نوک می‌باشد. با جریان دیوار سمت مکش ورودی مواجه می‌شود و تمایل دارد که جدا شود و بداخل یک مارپیچ بغلطد. رشد مارپیچ هنگامی که جریان نوک از فاصله خارج می‌شود باعث یک افزایش در

مقدار کلی جریان ثانوی در داخل معبرا پره توربین می‌گردد و بنابر این منجر به تلفات آبرودینامیک بزرگ می‌شود. جریان نشت نوک دارای تاثیر چشمگیر بر روی انتقال حرارت نوک پره، انتقال حرارت ناحیه نزدیک نوک سمت فشار، و ناحیه انتقال حرارت نزدیک نوک سمت مکش می‌باشد. جریان نشت دارای یک خصوصیت شبیه به چاهک بر روی لبه هدایت کننده فشار به لبه دنباله می‌باشد همانطور که توسط اختلاف فشار موضعی در نوک نشان داده شده است، جریان چاهک بر هم نهاده شده جریان را در داخل فاصله کوچک افزایش سرعت می‌دهد که منجر به لایه‌ای شدن مجدد احتمالی لایه مرزی نزدیک به نوک می‌گردد، جریان نشت بر روی سمت مکش نیز از نوع یک جریان منبع است که وارد یک جریان اصلی موجود قبلی می‌شود. انتقال حرارت سمت مکش نیز تحت تاثیر تولید مارپیچ می‌باشد. جریان نشت شامل گازهای جریان اصلی داغ است و اکسیداسیون رخ می‌دهد. فاصله اکسید شده وسیع تر می‌شود که به نوبه خود جریان نشت را افزایش می‌دهد و منجر به از کار افتادگی نوک پره می‌شود. گوشه نوک سمت فشار از وتر میانی تا لبه دنباله از بزرگترین آسیب ناشی از اکسیداسیون رنج می‌برد. Moore و Yaras (۱۹۸۹) نیز به درک جریان بر روی فاصله‌های نوک کمک کردند.

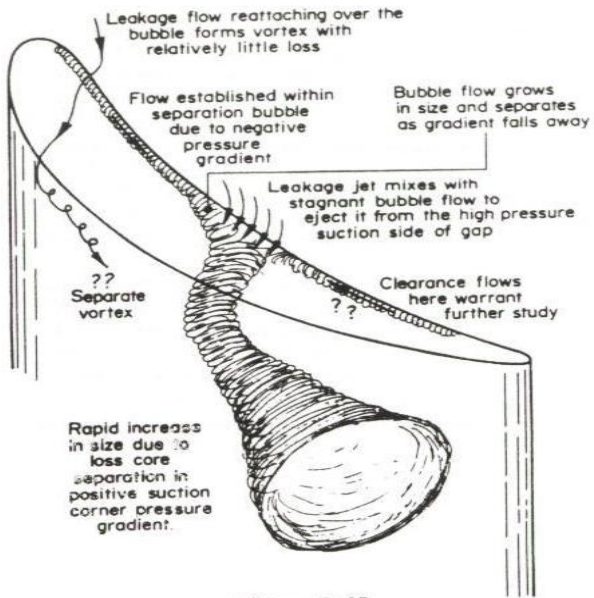


Figure 2.62

شکل ۲-۶۳ اندازه‌گیریهای جریان بین پره‌های مجاور را در معتبر با استفاده از یک میله پنج

سوراخه نشان می‌دهد که توسط Yamamoto (۱۹۸۹) نشان داده می‌شوند. نتایج دو نوع از بردارها را نشان می‌دهد: (۱) سرعت تصویر شده بر روی دیوار انتهایی (W) و اندازه بردار جریان ثانوی بر اساس جهت جریان معدل گیری شده توسط جرم (VS) و (۲) خطوط بر روی یک صفحه پره به پره و کانتورهای کاهش فشار کل در جهت موافق جریان، رابطه بین جریان دیوار انتهایی و جریان نشت برای فرایند تولید کاهش کاسکاد بطور موثر نشان داده می‌شود. نشت در داخل فاصله نوک پره نزدیک به سطح مکش با جریان دیوار انتهایی اندرکنش می‌کند و از دیوار انتهایی در امتداد یک خط اندرکنش (یاجدایش) دور می‌شود و یک مارپیچ نشت با تولید کاهش چشمگیر را تشکیل می‌دهد. مارپیچ با مارپیچ نشت دوران می‌نماید. مکانیزم‌های جریان تحت تاثیر اندازه‌های فاصله جهت مخالف با مارپیچ نشت دوران می‌نماید. آزاد، زاویه‌های برخورد صفحات راهنمای ورودی W و محل صفحات پره به پره در داخل فاصله

می باشند. جریان حرارت شراع و نوک پره را برای یک توربین در حال گردش استیج Metzger

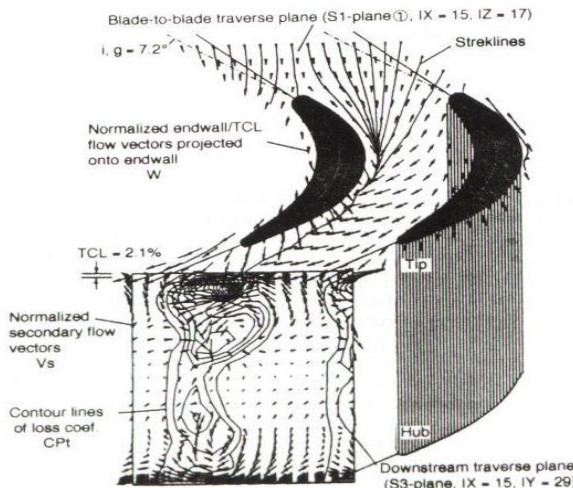


Figure 2.63

کامل ۲-۷۳۱ را اندازه‌گیری کرد. این تحقیق مشابه با تحقیقات منتشر شده توسط Dunn بود.

شکل ۲-۶۴ مقادیر جریان حرارت اندازه‌گیری شده را در نوک پره در امتداد وتر از لبه هدایت

کننده تا حدود وتر پره ۳۰٪ برای دو مقدار فاصله شراع ، نوک را نشان می دهد. خط چین عبارتند

از مقدار جریان حرارت نوک برآورده شده بر روی یک مدل یک بعدی ساده بصورت یک جریان

ورودی بداخل یک مجرای ثابت و کوتاه می باشد. برآورد در توافق خوب با اطلاعات برای فاصله

آزاد = 0.015 in است که برای آن محاسبه می شود. مقادیر جریان حرارت برای یک فاصله آزاد

0.025 in در نتیجه سرعت جریان بالاتر، زیادتر هستند. Diller و Yang یک بررسی از انتقال

حرارت و جریان را برای یک نوک پره توربین شیاردار در یک کاسکاد ترانسونیک را نشان می دهد.

انها انتقال حرارت بر روی نوک شیاردار را در محل واحد برای جریان‌های فاصله نوک متفاوت

تحت شرایط ترانسونیک سرعت بالا اندازه‌گیری نمودند.

اندازه‌گیری‌های دقیق‌تر تحت شرایط جریان سرعت بالا بر روی یک کاسکاد توربین واقعی

مستلزم برآورد بهتر بار حرارتی برای نوک‌های پره می باشد.

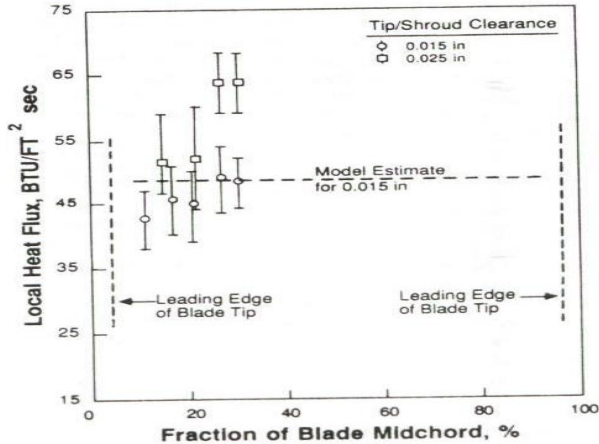


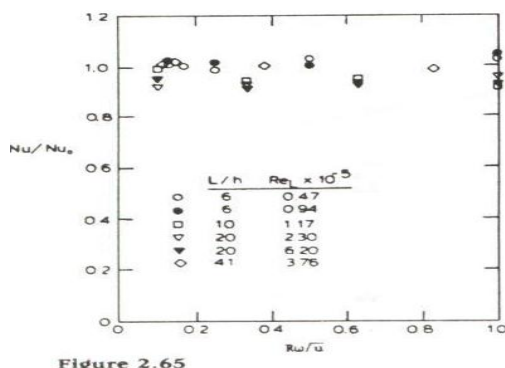
Figure 2.64

2.6.3 - انتقال حرارت نوک پره صاف:

بررسی درباره انتقال حرارت توسط Metzger و Mayle (۱۹۸۲) انجام گرفت. آنها انتقال حرارت به یک نوک شبیه‌سازی شده را با و بدون یک شراع گردان انجام دادند. در بررسی آنها، مدل انتقال حرارت نوک پره ثابت نگه داشته شد. دیوار مجاور ایجاد شده توسط سطح لبه یک دیسک (قرص) گردان در حال حرکت بود. سطح انتقال حرارت یک نوار گرم شده بود که یک سمت فشار نمونه را با جریان سمت مکش درنوک نشان می‌دهد. این آزمایش یک مدل ساده است که اطلاعات انتقال حرارت را بروی یک نوک پره برای یک شراع گردان یا ثابت فراهم کرد.

شکل ۲-۶۵ اطلاعات انتقال حرارت با گردش (دوران) نرمالیزه شده (Nu) توسط اطلاعات انتقال حرارت بدون گردش (Nu_0) در مقابل یک پارامتر سرعت نسبی (Rw/u) را نشان می‌دهد. R شعاع شراع از مرکز دوران، W سرعت زاویه‌ای و n سرعت متوسط جریان در فاصله آزاد می‌باشد. از این اطلاعات، به نظر می‌رسد که تأثیر دیوار متحرک بر روی کل محدوده پارامترهای در نظر گرفته شده در این بررسی ناچیز است. بررسی نسبت L/h را تغییر داد که طول را بر روی نسبت نوک (L) به ارتفاع فاصله آزاد (h) نشان می‌دهد. این بررسی عدد رینولدز طول جریان را تغییر داد. Metzger و Mayle (۱۹۸۹) نتیجه گرفتند که آزمایشاتی که تأثیر دوران پره را نادیده

گرفته‌اند می‌توانستند برای ارزیابی انتقال حرارت نوک پره بکار بروند البته مادامی که شرایط جریان مشابه باشند. Rued و Metzger (۱۹۸۹) انتقال حرارت و نتایج جریان را در ناحیه نزدیک به نوک سطح فشار با استفاده از یک شبیه‌سازی نوک پره و یک جریان چاهک نشان داد. این مدل یک جریان چاهک مشابه با خصوصیات شبیه به چاهک فاصله نوک پره برروی سمت فشار را شبیه سازی کرد. جریان چاهک مشابه با جریان‌های نشست نوک پره داخلی شبیه‌سازی می‌شوند. Rued و Metzger انتقال حرارت و نتایج جریان را در ناحیه نزدیک نوک سطح مکشی بالاستفاده از یک شبیه‌سازی نوک پره و یک جریان منبع ارائه کردند. این مدل یک سطح مکش پره را با یک فاصله شبیه‌سازی کرد که یک جریان منبع را مشابه با جریان خارج شونده از فاصله نوک برروی سطح



مکش یک ایرفویل را تعذیه می‌کرد.

2.6.4 - انتقال حرارت نوک پره شیار دار:

نوعاً نوک‌های پره توربین شیار دار می‌شوند تا جریان نوک و انتقال حرارت را کاهش دهند. شیار بصورت یک درز لابیرنت (حلزونی) عمل می‌کند تا مقاومت جریان را افزایش دهد و جریان نشت را کم کند و آن نیز به نوبه خود انتقال حرارت را کم نماید. شکل ۲-۶۶ نوک شیار دار یک پره و همچنین خطوط جریان را نشان می‌دهد که نشان‌دهنده الگوهای جریان نوک می‌باشد. دو بردار متمایز میتوانند بطور واضح در داخل شیار دیده شود. یک مارپیچ جداسازی تولید می‌شود هنگامی که

جريان ورودی لبه داخلی لبه سمت فشار را جدا می نماید. این مارپیچ (گرداب) دیوار جانبی سطح فشار را دربر میگیرد و از شیار نزدیک به لبه دنباله پره جدا می گردد. مارپیچ دوم، نیز یک مارپیچ جداسازی است که از ناحیه بدون حرکت (Stagnation) تا سطح مکش پره پیش می رود. لبه

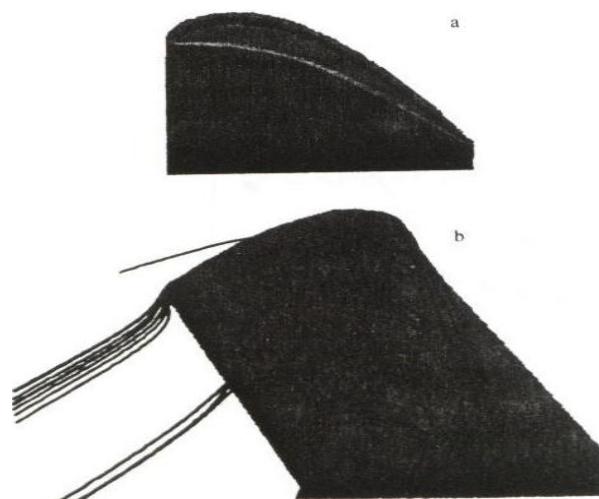


Figure 2.66

سمت فشار، لبه سمت مکش و مارپیچ جریان نوک نیز در این فرایند تولید می شوند. لبه سمت فشار، لبه سمت مکش و مارپیچ جریان نوک نیز در این فرایند تولید می شوند.

Metzger و chyu (۱۹۸۹) انتقال حرارت را بر روی نوک های توربین شیار دار بطور وسیعی مطالعه کردند. آنها از روش سوبلیمه کردن نفتالین استفاده کردند تا ضرایب انتقال جرم را در داخل نواحی شیاردار نوک های شبیه سازی شده بدست آوردند. شکل ۲-۶۷ یک تصویری از مدل نوک

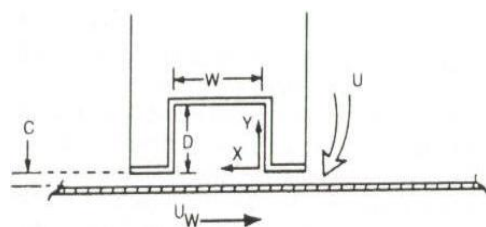


Figure 2.67

پره شیار را نشان میدهد.

پرده در این مدل ثابت است و شراع در یک سرعت ثابت معلوم حرکت نسبی را ایجاد می‌کند.

جهت جریان نشست در جهت shroud مخالف از فشار تا سمت مکش می‌باشد. همچنین شکل

نمایش‌های پارامتری بکار رفته را در هر دو بررسی نشان می‌دهد. شکل ۲-۶۸ تاثیر فاصله آزاد را

بر روی انتقال حرارت برای جریان بر روی نوک را نشان می‌دهد.

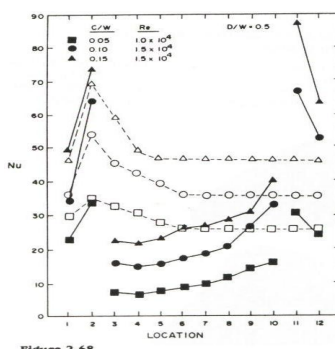


Figure 2.68

نسبت عمق به پهنای حفره (d/W) ، عدد رینولدز جریان $Re=VC/v$ ، $C=$ فاصله آزاد) برای

تمام موارد بدون سرعت شراع حفظ می‌شوند. ضریب انتقال حرارت موضعی با افزایش نسبت

فاصله آزاد به پهنای حفره (C/W) افزایش می‌ابد. بعلاوه، توزیع انتقال حرارت در داخل حفره با

فاصله‌های آزاد متفاوت تغییر می‌کند. به گزارش محققان، فاصله آزاد بزرگ‌تر اجازه رشد لایه برش

جدا شده را می‌دهد و مقادیر آشفتگی بیشتر در جریان اصلی فاصله را موجب می‌شود. انتقال

حرارت بر روی دیواره حفره تحت تأثیر خصوصیات این لایه برش است. نتایج نوک تخت نیز

برای مقایسه با نوک تخت کاهش داده می‌شود. انتقال حرارت در انتهای مخالف جریان حفره در

مقایسه با نوک تخت کاهش داده می‌شود. حفره در جهت جریان موافق مقادیر انتقال حرارت برای

نوک شیاردار زیادتر می‌باشند که ناشی از اتصال مجدد جریان در داخل حفره است. مقادیر انتقال

حرارت در لبه موافق جریان نوک شیار دار خیلی بیشتر از برای نوک تخت ناشی از جریان

شتاب دار از حفره در داخل فاصله آزاد کوچک می باشد. شکل ۲-۶۹ نتایج رابا انتقال حرارت معدل گیری شده بر روی کف حفره نسبت به افزایش عمق حفره خلاصه می نماید. نتایج محاسبه شده تأثیر جزیی سرعت شراع را بر روی ضریب انتقال حرارت نشان می دهند که قبل اینکه بروزی اتفاق افراطی در عمق حفره نیز به کاهش بار حرارت متصل شده به نوک فاصله آزاد کاهش یافته میتواند بار انتقال حرارت به نوک پره را کاهش دهد. (به نتایج بررسی $C/W=0.05$ مراجعه کنید) افزایش در عمق حفره نیز به کاهش بار حرارت متصل شده به نوک

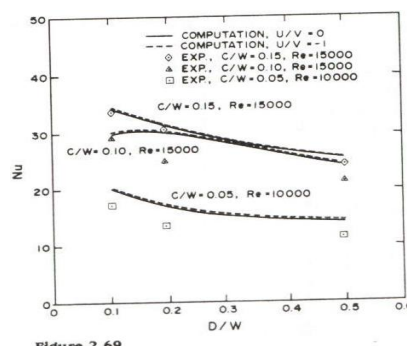
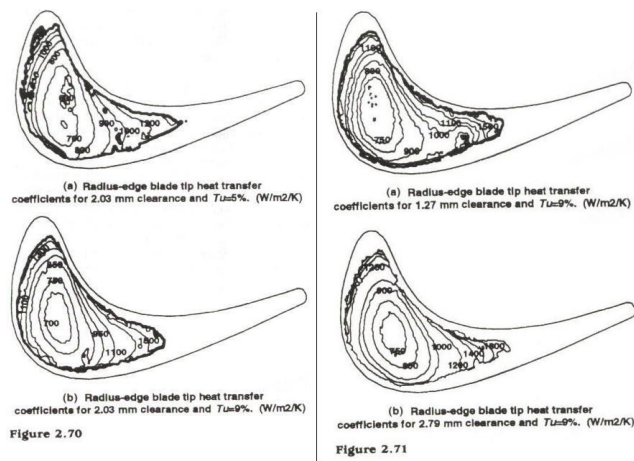


Figure 2.69

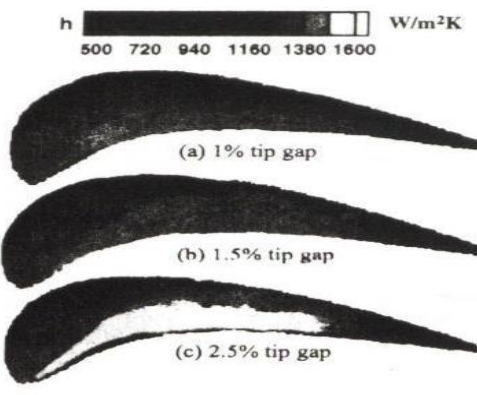
کمک می کند.

اکثر بررسی های فوق بر روی نوک پره برای جریان های سرعت کم یا برای مدل های نوک پره توربین بوده اند. چنین نتایجی اگر چه مفید هستند نمیتوانند یک درک واضح از جریان نشت نوک پره پیچیده و انتقال حرارت را فراهم کنند. بررسی اخیر درباره انتقال حرارت نوک پره توربین و جریان در یک کاسکاد خطی توسط Bunker انجام گردید. او از یک روش کریستال مایع براساس آشکارسازی رنگ استفاده کرد تا توزیع های ضریب انتقال حرارت را بر روی سطح نوک تخت با لبه های تیز و گرد برای یک توربین تولید نیروی زیاد تحت شرایط جریان نماینده موتور را بدست آورد. شکل های ۲-۷۰ و ۲-۷۱ ضرایب انتقال حرارت نوک پره برای فاصله های آزاد نوک گوناگون و مقادیر آشفتگی جریان آزاد را نشان می دهند.



نتایج نشان می‌دهند که ضرایب انتقال حرارت نوک پره می‌توانند تا ۳ برابر تغییر داده شوند و یک منطقه مرکزی بالانتقال حرارت کم وجود دارد که به ناحیه وتر میانی و به طرف سمت مکش توسعه می‌یابد. یک افزایش در مقدار شدت آشفتگی جریان آزاد از ۵ تا ۹٪ انتقال حرارت نوک را تا حدود ۱۰٪ افزایش می‌دهد. کاهش فاصله آزاد نوک به اندازه ۳۸٪ در فاصله آزاد مقدار اسمی (۲۰۳mm) منجر به یک کاهش حدود ۱۰٪ در انتقال حرارت می‌شود، در حالی که یک افزایش ۳۸٪ در فاصله آزاد نوک منجر به یک افزایش ۱۰٪ در انتقال حرارت می‌شود. Azad (۲۰۰۰) جریان و انتقال حرارت را بر روی یک سطح نوک پره یک پره روتور هواپیما GE-E³ را در یک کاسکاد خطی پنج پره‌ای در وضعیت جریان نماینده موتور گزارش کرد.

او از یک روش کریستال مایع زودگذر و نوک‌های برای فاصله‌های آزاد نوک گوناگون و مقادیر آشفتگی جریان آزاد استفاده کرد. شکل ۲-۷۲ نشان میدهد که نواحی گوناگون ضریب انتقال حرارت کم وزیاد بر روی سطح نوک با انتقال حرارت نزدیک به سمت فشار و انتقال حرارت کم نزدیک به سمت مکش و همچنین به طرف نواحی لبه دنباله و هدایت‌کننده وجود دارند.



پایگاه اینترنتی آب و آهن و آتش (مهندسر)

شکل ۲-۷۳ نشان می‌دهد که ضرایب انتقال حرارت نوک معدل‌گیری شده با افزایش فاصله آزاد نوک یا مقدار شدت آشفتگی جریان آزاد، افزایش میابد.

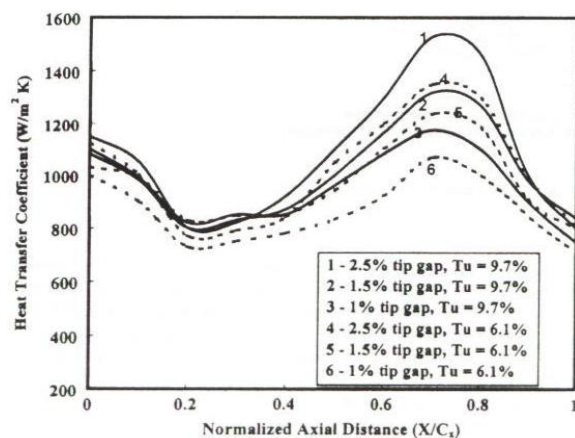


Figure 2.73

شکل ۲-۷۴ توزیع‌های ضریب انتقال حرارت را بین نوک‌های تخت و غیر تخت با فاصله‌های آزاد نوک گوناگون نشان می‌دهد. نتایج نشان می‌دهد که انتقال‌های ناحیه انتقال حرارت کمتر از لبه هدایت کننده سمت مکش نوک تخت تا حفره به طرف ضلع دنباله لبه تیغه چگونه است. پره با نوک Squealer یک ضریب انتقال حرارت کلی کمتر را فراهم می‌کند هنگامی که با پره نوک

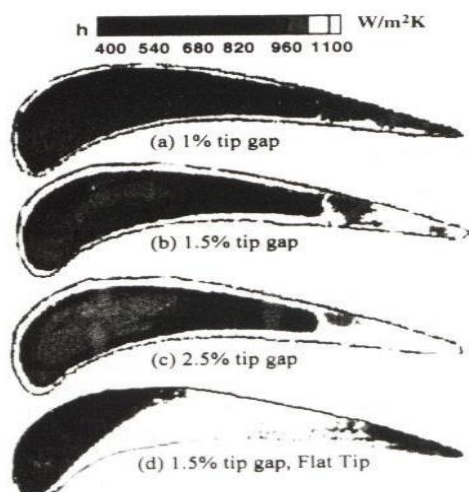


Figure 2.74

تحت مقایسه میشود.

شکل ۲-۷۵ نشان می‌دهد که انتقال حرارت میانگین بر روی لبه پره بیشتر از حفره squealer است و با افزایش فاصله نوک زیادتر می‌شود.

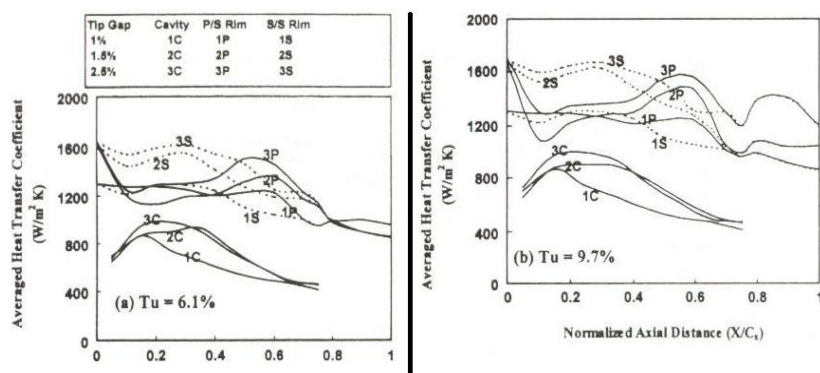


Figure 2.75

۲-۲- انتقال حرارت ناحیه لبه هدایتکننده :

۲.۷.۱ - مقدمه :

ناحیه لبه هدایت کننده ایرفویل مستلزم داشتن یک شعاع نسبتاً کوچک برای تضمین طراحی آیرودینامیک بهتر است. لبه هدایت کننده مهمترین ناحیه انتقال حرارت بر روی ایرفویل توربین است. در اکثر موارد بالاترین نرخ‌های انتقال حرارت بر روی ایرفویل در ناحیه بدون حرکت از لبه هدایت کننده رخ می‌دهند. Frossling (۱۹۵۸) ناحیه بدون حرکت را بصورت یک استوانه دایره‌ای یا بیضی شکل برای یک جریان آزاد لایه‌ای مدل‌بندی کرد.

نتایج Frossling برای مقایسه در تمام بررسی‌های بعدی درباره انتقال حرارت لبه هدایت کننده استفاده می‌شوند. بررسی‌های متعددی بر روی ناحیه لبه هدایت کننده توسط مدل کردن آن بصورت

یک استوانه در یک جریان عرضی با یک لبه هدایت کننده نیم دایره یا یضوی متمرکز کرده‌اند.

تأثیرات مجزا از قبیل آشفتگی جریان آزاد، مسیرهای ناپایدار، زبری سطح و شکل هندسی کانون

بررسی‌های متعدد بوده‌اند.

2.7.2 - تأثیر آشفتگی جریان آزاد :

آشفتگی زیاد توسط شبکه‌ها در جهت مخالف جریان مقطع آزمایش در یک تونل باد تولید

می‌شود. شبکه آشفتگی را توسط عمل کردن به صورت یک مانع برای جریان تولید می

نماید. آشفتگی در پشت یک شبکه از بین می‌رود و مجاورت مقطع آزمایش برای شبکه را برای

تأثیرات شدت آشفتگی زیاد ضروری می‌نماید. شبکه‌های جهت برای تولیدشدهای آشفتگی زیاد

استفاده می‌شوند. یک شبکه جت شامل یک آرایش از میله‌های توخالی یالوله‌ها است که در داخل

آنها هوا وارد می‌شود و به سوراخ‌های کوچک بر روی میله‌هایی تحویل داده می‌شود که در داخل

جریان اصلی می‌رود. جت‌ها می‌توانند برای دمش جریان مخالف یا موفق با نرخ‌های

(سرعت‌های) جریان کترل شده آغاز شوند. مطالعات توسط Keuthe و Smith (۱۹۶۶) و

Wood و kestин (۱۹۷۱) و Lowery و Vachon (۱۹۷۵) تأثیر آشفتگی جریان آزاد بر روی

انتقال حرارت ناحیه بی‌حرکت نشان داده‌اند. Vachon و Lowery یک ارتباط متقابل برای

پیش‌بینی انتقال حرارت در ناحیه بی‌حرکت تحت آشفتگی جریان آزاد را توسعه دادند. آنها معادله

زیر را برای انتقال حرارت نقطه بی‌حرکت نمایش دادند.

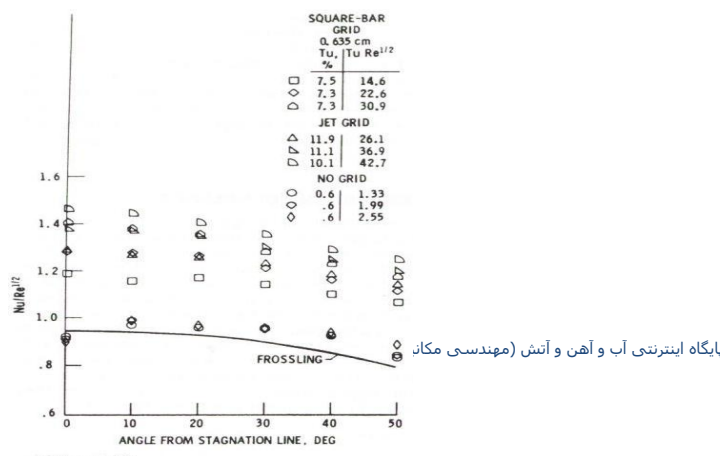
$$\frac{NU}{Re^{0.5}} = 1.01 + 2.624 \frac{Tu(Re)^{0.5}}{100} - 3/07 \left[\frac{Tu(Re)^{0.5}}{100} \right]^2$$

تمام بررسی‌های فوق یک تأثیر قوی شدت آشفتگی بر روی انتقال حرارت نقطه بی‌حرکتی را

گزارش دادند. بررسی‌ها نشان می‌دهند که کشیدگی مارپیچ باعث افزایش انتقال حرارت می‌شود.

مارپیچ‌های با مؤلفه‌های محورهای عمود بر خط بی‌حرکت استوانه و عمود بر جهت حرکت جریان آزاد کشیده می‌شوند و کج می‌گردند که ناشی از انحراف خطوط جریان و شتاب در اطراف جسم می‌باشد. ذخیره کردن مومنتوم (اندازه حرکت) زاویه‌ای باعث می‌شود که این مارپیچ شدن، تقویت گردد.

VanFossen و Obrien (۱۹۸۵) تأثیر آشفتگی شبکه جت بر روی انتقال حرارت ناحیه بدون حرکت را برای یک استوانه در جریان عرضی مطالعه کردند. شکل ۲-۷۶ نتایج انتقال حرارت موضعی پیرامونی برای نیمه جلویی استوانه از نقطه بی‌حرکتی (Stagnation) تا حدود 50° از بی‌حرکتی را نشان می‌دهد. عدد Frossling $NU/Re^{1/2}$ بصورت تابعی از زاویه از خط بی‌حرکتی استوانه رسم می‌شود. اطلاعات برای سه وضعیت آشفتگی ارائه می‌شوند: بدون شبکه مربع - میله - شبکه، شبکه جت. شدت آشفتگی حالت بدون شبکه $9/6\%$ ، حالت مربع - شبکه حدود $7/4\%$ و شبکه جت حدود $11/0\%$ بود. خط پرنگ محاسبه نظری Frossling برای حالت دارای بالاترین شدت تلاطم ($TuRe^{1/2}=42/7$) بدست کلاسیک برای یک لایه مرزی لایه‌ای اطراف یک استوانه را نشان می‌دهد. اطلاعات برای حالت‌های آشفتگی کم برای سه عدد رینولدز در توافق خوب با جواب (راه حل) Frossling می‌باشد. بالاترین اعداد Frossling برای حالت دارای بالاترین شدت تلاطم ($TuRe^{1/2}=42/7$) بدست می‌آیند. افزایش انتقال حرارت ترکیبی از شدت آشفتگی جریان آزاد (TU) و عدد رینولدز جریان آزاد (Re) است. در تمام موارد، افزایش انتقال حرارت در سطح کل استوانه نسبتاً یکنواخت است.



انتقال حرارت ناحیه بی حرکتی از کارهای VanFossen و Obrien (۱۹۸۵) بدست می آیند که با روابط از keuthe و Smith و Lowery و Vanchor در شکل ۲-۷۷ مقایسه می شوند. رابطه Keuthe و Smith و Frossling یک افزایش در عدد Frossling ناحیه بی حرکتی را با افزایش TuRe^{1/2} را نشان می دهد. روابط vachon و lowery و kestint را برای مقادیر TuRe^{1/2} بزرگتر از ۳۰ نشان می دهند. نتایج از Van Obrien و Frossling کمتر از تمام روابط سه گانه است.

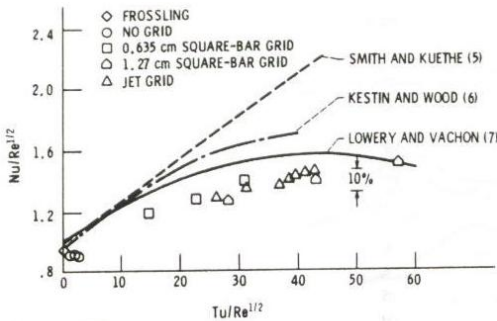


Figure 2.77

Mehendale (۱۹۹۱) تأثیر آشفتگی جریان آزاد بر روی انتقال حرارت برای یک جسم دارای یک لبه هدایت کننده نیم دایره و جسم تخت را مطالعه کردند. مقادیر آشفتگی جریان اصلی زیاد با استفاده از شبکه های جت بدست آمدند. آزمایشات در یک توپل باد مدار باز با سرعت کم انجام شدند. مقادیر آشفتگی متفاوت (۱۵-۱٪) برای یک سری از اعداد رینولدز (۱۰۰۰۰-۲۵۰۰۰) برای انتقال حرارت با استفاده از گرمکن های نوار مجهز شده و ترموکوپل های مطالعه شدند. سنجش های انتقال حرارت با استفاده از گرمکن های نوار مجهز شده و ترموکوپل های وصل شده انجام شدند.

شکل ۲-۷۸ توزیع های عدد نوسلت رابرای مقادیر آشفتگی متفاوت در $Re=100000$ را نشان می دهند. همانطور که می توان مشاهده کرد، آشفتگی جریان آزاد ($Tu=12/9\%$) مقادیر انتقال

حرارت را تا ۶۰٪ بر حالت آشفتگی کم $Tu=0/75\%$ زیاد می نماید. تأثیر آشفتگی تولید شده توسط شبکه در مواری ناحیه منحنی شده بر روی جسم تخت غیر چشمگیر است.

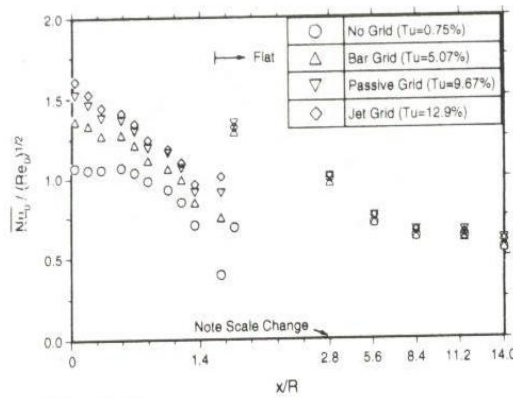


Figure 2.78

Mehendale مشاهده کرد که اطلاعات انتقال حرارت نقطه بی حرکتی در توافق خوب با رابطه vachon-lowery بودند. با این حال، آنها یک رابطه جدید برای انتقال حرارت معدل گیری شده کلی بر روی کل ناحیه لبه هدایت کننده را پیشنهاد کردند.

$$\frac{Nu}{Re^{0.5}} = 0.902 + 2.14 \frac{Tu(Re)^{0.5}}{100} - 2.89 \left[\frac{Tu(Re)^{0.5}}{100} \right]^2$$

این رابطه در پیش بینی اطلاعات انتقال حرارت روی ناحیه لبه هدایت کننده استوانه ای برای شرایط آشفتگی جریان آزاد و عدد رینولدز بر اساس قطر لبه هدایت کننده با آشفتگی زیاد برای روابط توسعه یافته توسط mehendale و vachon lowery را نشان می دهد. (شکل ۲-۷۹)

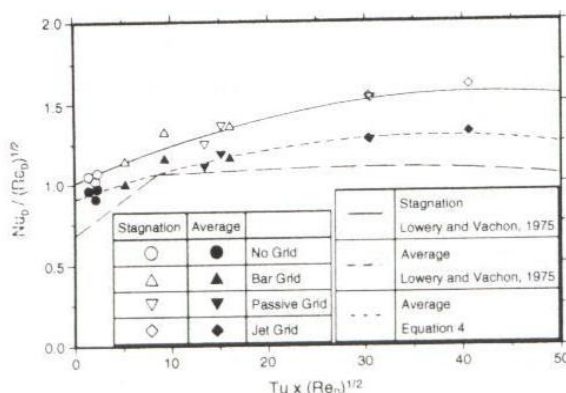


Figure 2.79

ching و vanfossen تاثیر مقیاس طول بر روی افزایش انتقال حرارت در ناحیه بی حرکتی برای یک شدت آشفتگی مفروض را بررسی کردند. مدل انتقال حرارت دارای یک گرمکن فویل الکتریک با ترمو کوپل های نصب شده برای اندازه گیری دمای سطح بود. آنها پنج شبکه را برای تولید مقادیر آشفتگی تا ۰.۸٪ و مقیاس های طول متفاوت را استفاده کردند. شکل ۲-۸۰ تاثیر مقیاس های طول بر روی frossling نقطه بی حرکتی را نشان میدهد. شبکه های G1 از ۰.۸٪ نیز در شکل نشان

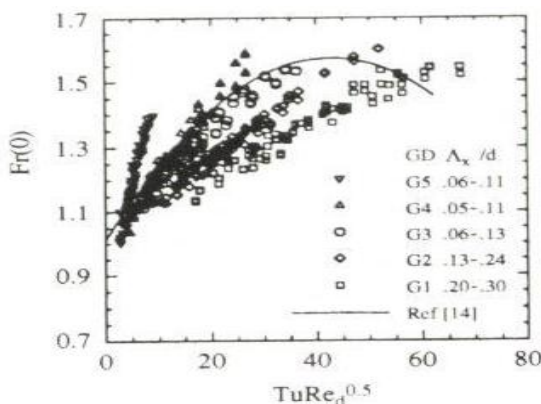


Figure 2.80

داده می شوند. برای افزایش شدت تلاطم، شبکه به طرف استوانه حرکت داده شد. دامنه مقیاس طول از ۰.۰۵ تا ۰.۳ تغییر کرد. رابطه lowery-vachon اطلاعات انتقال حرارت را فقط در یک محدوده باریک از مقیاسهای طول را پیش‌بینی می‌کند. بالاتر از یک مقدار $TuRe_d^{0.5}$ برابر با ۴۰ رابطه Ching Van Fossen به طرف پایین در مقابل روش اطلاعات Vachon – Lowery خم می‌شود.

شکل ۲-۸۱ عدد Frossling نقطه بی حرکتی را در مقابل یک پارامتر ارتباط متقابل

$$Tu Re^{0.5-0.57} \left(\frac{\lambda}{d} \right)$$

$$Fr(o) = A Fr \sqrt{Tu Be^{\gamma} \left(\frac{\lambda}{d} \right)^{\chi}} + C \quad (2.9)$$

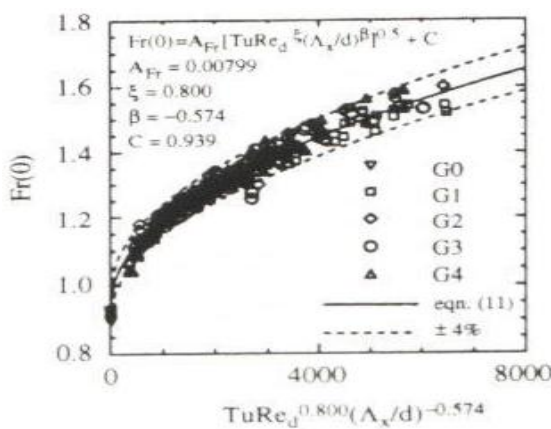


Figure 2.81

در جایی که $A_{Fr} \cdot C$ از انطباق حداقل مربعات تعیین می‌شوند. افزایش انتقال حرارت در ناحیه بی‌حرکتی افزایش می‌یابد. هنگامی که مقیاس طول انتگرال زیاد می‌شود، همانطور که Ames (۱۹۹۷) در این بررسی اشاره کرد، آشفتگی تولید شده توسط محفظه احتراق دریک موتور توربین گاز نوعاً در مقیاس بزرگ است. طراحان انتقال حرارت لازم است تا بر روی آشفتگی مقیاس بزرگ بر روی انتقال حرارت به ویژه در لبه هدایت کننده ایرفویل تمرکز بیشتر نمایند.

2.7.3 - تأثیر شکل لبه هدایت کننده :

تأثیر اضافی شکل لبه هدایت کننده تحت شرایط Vanfossen و Simoneau (۱۹۹۴) را به صورت موارد مقاله Ching و Vanfossen مطالعه کردند. شکل ۲-۸۲ اندازه‌گیری یکسان را به همراه داشتند. چهار شکل لبه هدایت کننده بکار رفته را در بررسی آنها نشان می‌دهند.

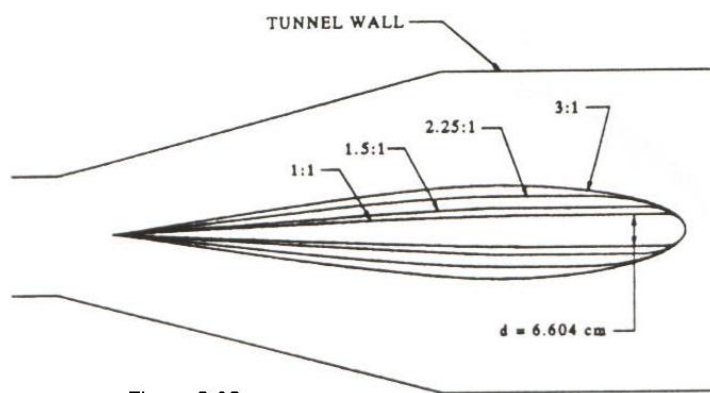


Figure 2.82

نسبت‌های محورهای بزرگ به کوچک برابر با $1:1$ ، $1:5:1$ ، $2:25:1$ و $1:3$ بودند. شکل

۲-۸۳ توزیع‌های عدد آشفته کم را در اطراف چهار شکل نشان می‌دهد.

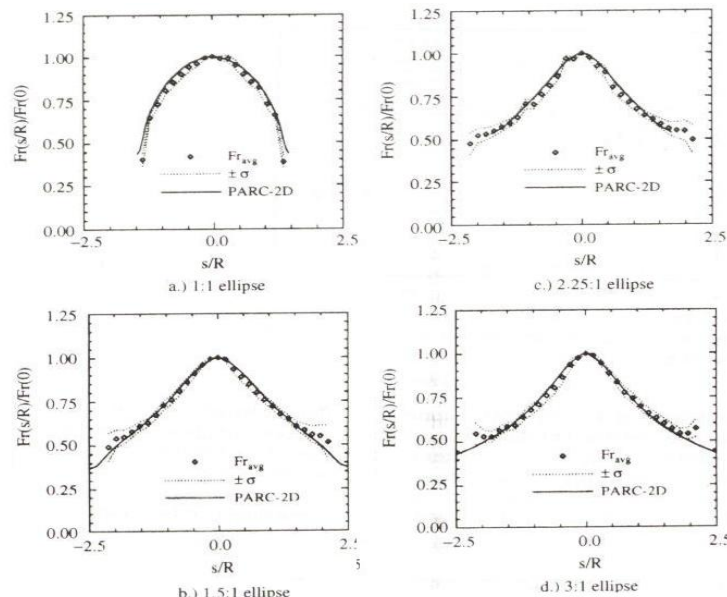


Figure 2.83

توزیع‌های اطراف لبه‌های هدایت کننده برای هر شکل، نمونه هستند. پروفیل توزیع انتقال حرارت

برای بیضی قوی ($1:3$) نازکتر است. یک نکته مهم دیگر آن است که مقدار انتقال حرارت نقطه

بیحرکتی برای یک شکل بیضی قوی‌تر افت می‌کند، که برای طراح ایرفویل تشویق کننده است. از

آنچایی که لبه هدایت‌کننده ایرفویل بیضی‌ترمی باشد، بررسی یک مقایسه جالب را ارائه می‌نماید.

2.7.4 - تأثیر مسیر ناپایدار:

تأثیر مسیر ناپایدار بر روی انتقال حرارت سطح پره و جریان به تفصیل در بخش‌های قبلی بحث

گردید. با این حال، بررسی‌های کمی بر روی تأثیر مسیر ناپایدار بر روی انتقال حرارت هدایت کننده

تمرکز کرده‌اند. مسیرهای مخالف جریان با استفاده از میله‌های گردان شبیه‌سازی می‌شوند که

مسیرهای بر روی مدل‌های استوانه‌ای ثابت موافق جریان را بازسازی می‌کند. اکثر کار در ارتباط با

تأثیر مسیر ناپایدار بر روی مدل‌های لبه هدایت کننده توسط Simoneau (۱۹۸۴) و O'Brien و Morehouse (۱۹۸۶) و Cupp (۱۹۸۹) انجام شد. آنها یک آزمایش را برای شبیه‌سازی دینامیک‌های مسیر یک اندرکش استاتور، روتور توربین توسعه دادند. آنها از یک چرخ میله دار استفاده کردند که دریک جریان حلقه مانند برای تولید مسیرهای برخورد بر روی یک لبه هدایت‌کننده استاتور شبیه‌سازی شده متشکل از یک استوانه دایره‌ای با یک صفحه جدا کننده در پشت آن گردش می‌کرد. شکل ۲-۸۴ مفهوم آزمایش انتقال حرارت مسیر موتور انجام شده توسط گروه محققان فوق را نشان می‌دهد.

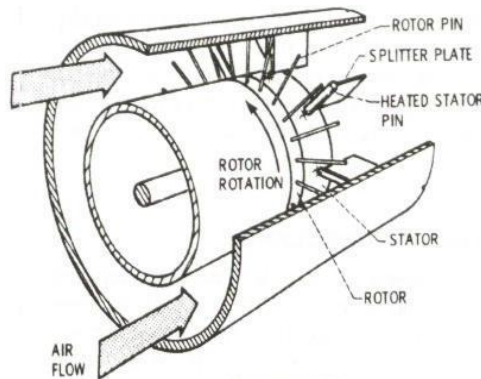


Figure 2.84

شده را اندازه‌گیری کردند. آنها از اندازه‌های مختلف پین و ترکیب‌های شبکه مش متفاوت برای شبیه‌سازی جریان ناپایدار متفاوت استفاده کردند. شکل ۲-۸۵ تأثیر انواع مختلف ناپایداری بر روی توزیع انتقال حرارت پیرامونی بر روی استوانه را نشان می‌دهد. مقادیر پارامتر آشفتگی ناپایدار Tu از ۱.۱۲ تا ۰.۹۸۰٪ متغیر هستند. بر اساس نتایج و تأثیر مسیر ناپایدار مانند تأثیر آشفتگی تولید شده توسط شبکه چشمگیر نمی‌باشد. با این حال، نیاز به درک پدیده‌های جریان مسیر ناپایدار برای در نظر گرفتن رفتار انتقال حرارت امری ضروری است. Capp و O'Brien (۱۹۸۹) مؤلفه‌های

مماضی و محوری جریان آشفته ناپایدار موافق جهت بکار رفته توسط بررسی‌های قبلی را اندازه‌گیری کردند.

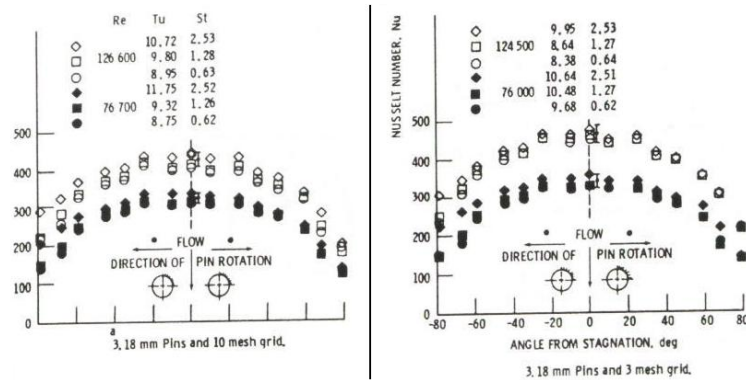


Figure 2.85

آنها همچنین یک پارامتر جدید موسوم به ضریب جریان روتور $\frac{V}{V_b}$ را اندازه گرفتند که می‌تواند با

عدد استروهال (S) رابطه داشته باشد:

$$\frac{\bar{U}}{V_b} = \frac{\bar{u}}{r_b \left(2\pi \cdot \frac{f_b}{2f} \right)} = \frac{2udb}{r_b s} \quad (2.10)$$

قطر میله در حال گردش و r_b شعاع فاصله میانی میله‌های تولید کننده مسیر اندازه‌گیری

شده از خط مرکز روتوری می‌باشد. اندازه‌گیری جریان نمایش داده شده توسط این مطالعه به

شخص کمک می‌کند که خصوصیات مسیر را درک کند و به تأثیرات آنها را بر روی افزایش

انتقال حرارت متوجه شود. Funazaki (۱۹۹۶) توزیع انتقال حرارت معدل گیری شده زمانی را

در اطراف لبه هدایت کننده یک جسم تحت تأثیر مسیرهای دورهای داد. او مشاهده کرد

که افزایش انتقال حرارت قوی با افزایش عدد استروهال مسیر عبور کننده میله وجود دارد.

شکل ۲-۸۶ توزیع های انتقال حرارت تحت تأثیر مسیر Wake را بر روی مدل آزمایش برای شرایط جریان غیر یکنواخت برای یک $Re = 67000$ نشان می دهد.

پروفیل های انتقال حرارت تحت تأثیر مسیر با افزایش استحکام مسیر Wake نا متقارن تر می شوند. یک وضعیت مسیر Wake ثابت نیز نشان داده می شود که نمونه حالت واقعی نمی باشد. روش برای حالت میله ثابت برای مقایسه و جریانهای روش غیر مشابه در مقایسه با سایر حالتها نشان داده می شود. اطلاعات funazaki بطور واضح تأثیر مسیر Wake قوی را بر روی انتقال حرارت در اطراف لب هدایت کننده نشان می دهد. مدل آزمایش بکار رفته توسط Funazaki شبیه به Mehendale بود، بغیر از اینکه Funazaki دارای یک ژنراتور مسیر

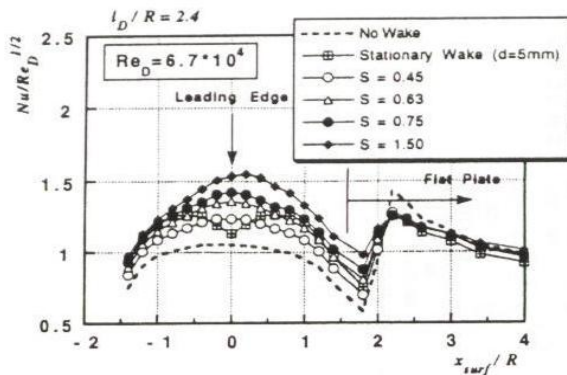


Figure 2.86

مخالف جهت جسم بود. میله ها در فرکانس های مختلف دوران داده شدند تا اعداد استروهال متفاوت بدست آید. تلاش های بیشتر مشابه با این بررسی به طراحان کمک می نماید تا انتقال حرارت را بر روی ناحیه لبه هدایت کننده ایرفویل ها در نظر بگیرند. تأثیر مرکب آشفتگی جریان آزاد و برخورد مسیر ناپایدار نیز بر روی انتقال حرارت ناحیه لبه هدایت کننده نیز مهم است. با این حال هیچ مطالعه ای متمرکز بر روی این تأثیرات بر روی انتقال حرارت لبه هدایت کننده وجود نداشته است. بدلیل اینکه ترکیبها بی از آشفتگی جریان آزاد و مسیر ناپایداری

می‌تواند موجب یک پاسخ انتقال حرارت متفاوت در مقایسه با تأثیرات واحد گردد، تمرکز بر روی این جنبه انتقال حرارت لب هدایت کننده نیز مهم است. همچنین هیچ اطلاعات وابسته به زمانهای برای ناحیه لب هدایت کننده مانند مورد ارائه شده توسط Guenette (۱۹۸۹) وجود ندارند.

8-2 - انتقال حرارت سطح تخت:

2.8.1 - مقدمه:

بعضی از بررسی‌ها درباره تأثیر آشفتگی جریان آزاد اندازه‌گیری‌ها را بر روی سطوح ساده و تخت انجام دادند.

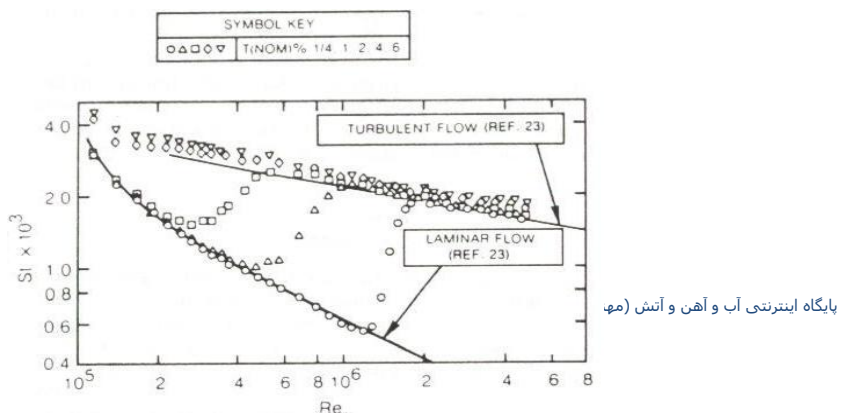
تأثیر آشفتگی جریان آزاد مانند، بخش‌های قبلی یک تأثیر عمده بر روی لایه‌های آشفته کامل و لایه‌های آرام-آشفته و در نتیجه بر روی انتقال حرارت دارد. بررسی‌های بنیادی بر روی لایه‌های مرزی بر روی سطوح تخت انجام شدند تا تأثیرات واحد بر روی گذر لایه مرزی را تعیین نمایند. آشفتگی جریان آزاد، شبکه‌شار، انحنای در جهت جریان و زبری سطح کانون بررسی‌های متعدد بودند. پیش‌بینی‌های دقیق توسعه لایه مرزی و توزیع‌های انتقال حرارت همراه با آن برای فویل‌های هوای توربین مهم هستند که در محیط‌های با آشفتگی زیاد کار می‌کنند. مدل‌سازی فویل‌های هوای توربین بصورت محدب و مقعر می‌توانند به سهولت مسئله و ارائه یک راه حل بنیادی‌تر کمک نمایند که می‌توانند برای پروفیل‌های واقعی تحت شرایط موتور واقعی بکار برد شوند.

2.8.2 - تأثیر تلاطم جریان آزاد:

و Hancock (۱۹۷۹) و Kreskovsky و McDonald و Bradshaw (۱۹۷۴) بررسی های آیرودینامیک را بر روی تأثیرات آشفتگی جریان آزاد ارائه کردند. آنها نتیجه گرفتند که سرعت های انتقال حرارت با افزایش در آشفتگی جریان آزاد افزایش می یابد اگر شکل هایی از آنالوژی رینولدز برای این نوع جریان ها بکار بروند. Bradshaw یک رابطه وابسته به مقیاس طول و شدت را برای اطلاعات اصطکاک پوست توسعه داد. Blair و Simonich (۱۹۸۳) بر روی تأثیرات آشفتگی جریان آزاد بر روی انتقال حرارت تحت تأثیر لایه مرزی زودگذر بر روی یک سطح تخت را بررسی کردند. Bradshaw و Hancock (۱۹۸۳) یک پارامتر ارتباط جدید را بر اساس افزایش اصطکاک پوست (Skin) ناشی از تلاطم تولید شده با شبکه ارائه کردند پارامتر مربوطه α تابعی از مقدار آشفتگی و نسبت مقیاس طول پراکندگی به ضخامت لایه مرزی است و چنین توصیف می شود:

$$\alpha = \frac{T_u \%}{\left(\frac{L_u^\varepsilon}{\delta} \right) + 2} \quad (2-11)$$

Blair توزیع های انتقال حرارت را در امتداد دیواره آزمایش تخت در پنج سطح آشفتگی جریان تا $T_n = 6\%$ نمایش داد. همانطور که در فصل قبل ذکر گردید، افزایش در آشفتگی جریان آزاد گذرا لایه مرزی قبلی را موجب می شود. شکل ۲-۸۷ توزیع های انتقال حرارت را برای پنج مقدار آشفتگی متفاوت نشان می دهد.



محل گذر در جهت مخالف جریان با افزایش مقدار آشفتگی حرکت می کند. برای مقادیر بالاتر آشفتگی ، لایه مرزی قبلاً کاملاً آشفته است. Blair نشان داد که انتقال حرارت در ناحیه کاملاً آشفته تا ۳۶٪ افزایش یافت و برای یک افزایش آشفتگی جریان آزاد از ۰.۲۵٪ تا ۶٪ این کار صورت گرفت. شکل ۲-۸۸ اطلاعات آزمایش را در مقایسه با ضریب اصطکاک پوست (Skin) نشان می دهد ($\frac{\Delta C_f}{C_{fo}}$) و انتقال حرارت افزایش یافته Hancock (۱۹۸۰) استفاده گردید. شدت آشفتگی بر روی محور طول ها تعديل شده است تا عبارت تجربی β را شامل گردد رابطه Hancock یک پیش بینی خوب از تأثیرات آشفتگی جریان آزاد را بر روی لایه مرزی آشفته ارائه می کند. با این حال، اطلاعات انتقال حرارت از بررسی Blair و سایر بررسی های نشان داده شده در شکل بنظر نمی رسد که اعتبار کافی رابطه Hancock را ارائه کند. Wang و Chen تأثیر مقادیر آشفتگی جریان آزاد (تا $Tu = 6.4\%$) را روی جریان و رفتار حرارتی برای لایه های مرزی زودگذر مطالعه کردند. آنها نتایج آماری نوسانات سرعت در عرض جریان و در جهت

جریان را

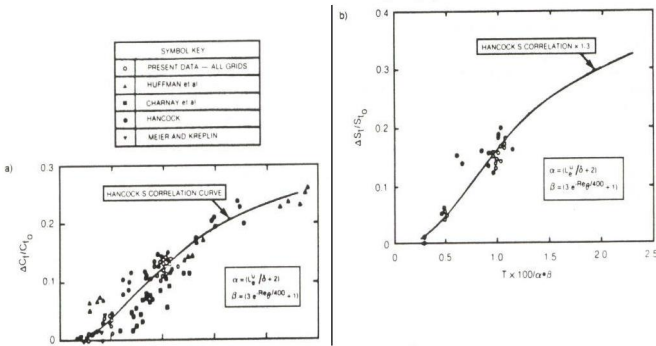


Figure 2.88

ارائه و به بررسی نوسانات حرارت تنش‌های رینولذ و جریان‌های حرارت رینولذ پرداختند.

Maciejewski و Moffat (۱۹۲۲) یک بررسی لایه مرزی را ارائه کردند در جایی که مقادیر

آشفتگی جریان آزاد تا ۶۰٪ بالا بود و از جریان جت آزاد استفاده نمودند. شکل ۲-۸۹ اطلاعات

MacMullin و Moffat Maciejewski را در مقایسه با نتایج (۱۹۸۳) MacMullin را در مقایسه با نتایج Moffat Maciejewski می‌کند که از یک

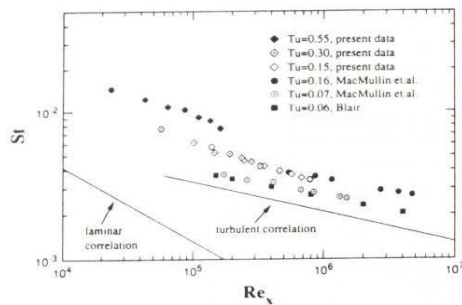


Figure 2.89

جت آزاد برای تولید آشفتگی استفاده کرد و Bair از تولید آشفتگی شبکه بهره برد.

نتایج نشان می‌دهند که عدد استانتون با افزایش آشفتگی جریان آزاد افزایش می‌یابد. این

نتیجه‌گیری شبیه به نتایج بیان شده قبلی در جریان آزاد است. رابطه لایه‌ای و آشفته در شکل دیده

می‌شوند. Maciejewski و Moffat یک پارامتر St را پیشنهاد می‌کنند که از سرعت rms

حداکثر یافت شده در ناحیه نزدیک دیوار استفاده می‌نماید. پارامتر جدید بعداً در این بخش بحث

خواهد شد.

Ames و Moffat (۱۹۹۲) اصطکاک پوست و افزایش انتقال حرارت را با استفاده از یک شبیه‌ساز محفظه احتراق بررسی کردند (شکل ۲-۲۶) آنها یک پارامتر جدید TLR معرفی کردند که از کمیت‌های انتگرال بجای ضخامت لایه مرزی استفاده می‌کند.

$$TLR = Tu \left(\frac{\Delta}{L_u^\varepsilon} \right)^{0.33} \left(\frac{Re_\Delta}{1000} \right)^{0.25} \quad (2-12)$$

آنها $\theta = 8$ را باری افزایش تنفس برش و $\Delta = \Delta_2$ را برای انتقال حرارت بکار برند. اکثر بررسی‌های انجام گرفته توسط Bogard و Thole (۱۹۹۵) در بررسی اخیر بر روی انتقال حرارت و افزایش اصطکاک پوست برای مقادیر آشفتگی جریان آزاد بکار رفته است. اطلاعات بدست آمده از بررسی‌ها بر حسب پارامتر جدید st' رسم می‌شوند که توسط Moffat و Maciejewski (در شکل ۲-۹۰) معرفی گردید.

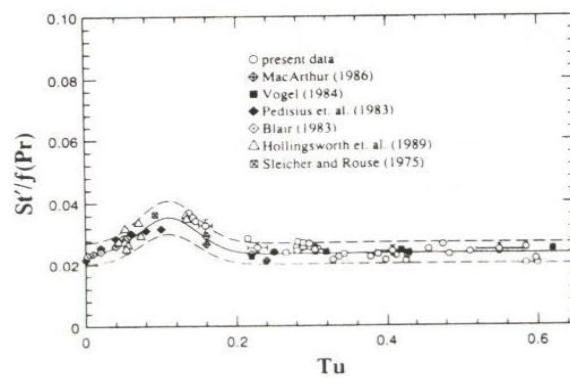


Figure 2.90

پارامتر جدید بصورت $st' = \frac{h}{pcpu_{\max}^1}$ تعریف می‌شود در جایی که u'_{\max} حداقل انحراف معیار در مؤلفه در جهت جریان سرعت در ناحیه تحت تأثیر دیوار می‌باشد، که ناحیه نزدیک به سطح است که رفتار «قانون دیوار» را در پروفیل سرعت میانگین نشان می‌دهد. اطلاعات از Ames (۱۹۸۹) MacMulin (۱۹۹۲) Moffat و Maciejewski

Moffat و Sahm (۱۹۹۵) و Bogard و Thole (۱۹۹۲) برای مقاصد مقایسه

ارائه می‌شوند. اکثر اطلاعات افزایش ۶۴٪ را در اطراف $T_u = 11\%$ نشان نمی‌دهند که توسط

Moffat و Maciejewski پیش‌بینی گردید. روابط آشفتگی پذیرفته شده موجود در پیش‌بینی

افزایش‌های انتقال حرارت برای مقادیر آشفتگی جریان آزاد قرار می‌گیرد. همچنین فیزیک افزایش

انتقال حرارت برای مقادیر آشفتگی جریان آزاد بالاتر توسط بررسی‌های فوق نشان داده می‌شود که

متفاوت با موارد آشفتگی جریان آزاد کم است. اگر چه، این بررسی مقادیر آشفتگی جریان آزاد از

$T_u = 30\% - 35\%$ برای موقعیت‌های توربین گاز مهم نمی‌باشد. بالاترین مقادیر آشفتگی برای

موقعیت‌های توربین گاز در حدود ۱۵ تا ۲۰٪ در مدخل پره راهنمای نازل می‌باشد.

2.8.3 - تأثیر گراديان فشار :

برای مدل‌سازی یک وضعیت توربین تأثیر شیب فشار امری ضروری است چون هر دوی

این آثار در استیج‌های توربین وجود دارند، لازم است که تأثیرات شیب فشار بر روی

سرعت‌های انتقال حرارت درک شود.

شیب فشار می‌تواند گذر لایه مرزی را در محیط موتور واقعی تحت تأثیر قرار دهد. Blair

آزمایشات را بر روی یک دیوار تخت با یک شیب غیر صفر و برای دو مقدار شتاب در جهت

جریان پوست (Skin) را انجام داد. او همچنین مقادیر آشفتگی جریان آزاد از ۰.۷ تا ۵.۰٪ را

تغییر داد. تأثیرات شیب فشار بر اساس پارامتر شتاب $K = \left(\frac{V}{V_e^z} \right) \left(\frac{\delta U_e}{\delta m} \right)$ تعریف می‌شوند.

دو سطح جریان شتاب را با پارامتر شتاب دادن $K = 0.2 \times 10^{-6}$ آزمایش کرد.

نتایج برای جریان شیب غیر صفر در شکل ۲-۸۷ دیده می‌شوند. نتایج برای جریان‌های شتاب

در شکل ۲-۹۱ نشان داده می‌شوند.

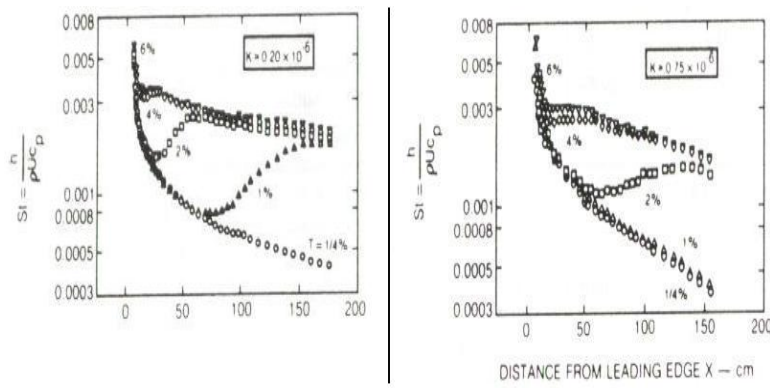


Figure 2.91

توزيعهای انتقال حرارت نقش تأثیرات شتاب و آشفتگی بر روی فرایند گذر را نشان می‌دهند.

موارد در شکل ۲-۹۱ را با موارد در شکل ۲-۸۷ مقایسه کنید، آشکار می‌شود که شتاب از پدیده

گذر لایه مرزی طبیعی جلوگیری می‌کند. برای موارد با آشفتگی کمتر لایه مرزی بر روی کل طول سطح آزمایش باقی می‌ماند (برخلاف حالت شیب با فشار صفر) - دونکته قابل ذکر هستند (۱) شتاب افزایش یافته محل گذار لایه مرزی را در جهت موافق پیش‌می‌راند و اینکه (۲) اگر گذار منحنی یا میدان جریان کاهش سرعت ممکن است تأثیر مخالف را موجب گردد. با این حال، جداسازی جریان یک مشکل بزرگ است وقتی که میدان جریان در معرفی شیب‌های فشار معکوس قوی باشد. این امر بر روی سطوح مکش تیغه کاملاً آشکار است. طراحان باید درباره سطح مکش نزدیک به لبه دنباله (Trailing) دقیق باشند، در جایی که جریان ناشی از شیب فشار معکوس کم می‌شود.

و Rued (1986) اطلاعاتی را ارائه کردند که با رابطه ارائه شده توسط Kays و Wittig

(1980) برای جریان‌های با تأثیرات شیب فشار انطباق یافت:

$$st = 0.0295(pr)^{-0.4} Re^{-0.2} \left[1 - F_k \frac{k(x)}{st} \right] F(Tu) \quad (2-13)$$

در جایی که K پارامتر شتاب می باشد. $F(Tu)$ یک تابع مقیاس طول آشفتگی و شدت

می باشد. F_k تأثیرات شیب فشار را در نظر می گیرد (مقدار از ۹۰ تا ۱۶۵ تغییر می کند).

2.8.4- تأثیر انحنای جهت جریان :

(۱۹۷۹) اندازه گیری های انتقال حرارت را بر روی سطوح محدب و مقعر با یک لایه Mayle

مرزی، آشفته را نشان داد. شکل ۲-۹۲ توزیع های انتقال بر روی سطوح منحنی را در مقایسه با

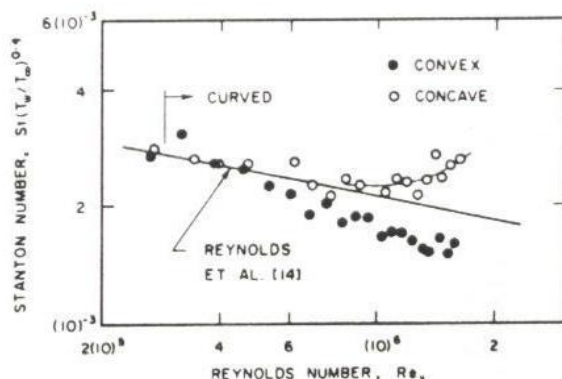


Figure 2.92

رابطه سطح تخت نشان می دهد. با افزایش انحنای سطح محدب مقادیر انتقال حرارت به کمتر از

رابطه سطح تخت افت می کند و انتقال حرارت سطح مقعر بالاتر است. همانطور که توسط

Mayle ذکر شده است، انحراف برای سطوح محدب ممکن است توسط طبیعت دو بعدی

جریان ایجاد شود که تنش برش آشفته را کاهش می دهد و انتقال حرارت را کم می کند.

با این حال برای سطوح مقعر، انحراف توسط مارپیچ های Taylor Gortler یکنواخت در داخل

لایه مرزی ایجاد می شود. رابطه برای انتقال حرارت در لایه مرزی آشفته توسط رینولدز نیز برای

مقایسه رسم می باشد.

$$st\left(\frac{T_w}{T_\infty}\right)^{0.4} = 0.0296 pr^{-0.4} Re^{-0.2} \quad (2-14)$$

Moffat و simon (۱۹۸۲) اطلاعات انتقال حرارت را برای سطوح منحنی محدب ذکر کردند. سایر بررسی‌ها با روی یک سطح منحنی محدب توسط Gillis و johnston (۱۹۸۳) ذکر شدند و You (۱۹۸۶) و همکارانش تأثیرات شدت آشفتگی جریان آزاد را بر روی جریان‌های منحنی محدب ارائه نمودند. آنها ذکر کردند که (a) تأثیر انحنای کمتر بر روی تأثیر شدت آشفتگی حکم‌فرما است. (b) تأثیر انحنا بر روی ضریب اصطکاک پوست بیشتر از عدد استانتون است و (C) شدت آشفتگی در جهت جریان مشابه و پروفیل‌های تنش برش در پایان منحنی بر خلاف پروفیل‌های متفاوت در جهت مخالف جریان منحنی‌ها اندازه‌گیری شدند.

Simon و Kim (۱۹۸۷) تأثیرات انحنای محدب در جهت جریان، بازیافت، و شدت آشفتگی جریان آزاد (تا ۲٪) بر روی انتقال آشفتگی حرارت و اندازه حرکت در یک لایه مرزی آشفته را بررسی کرد. اطلاعات درباره تأثیرات آشفتگی جریان آزاد بالا بر روی لایه‌های مرزی آشفته با انحنای مقعر خیلی محدود هستند. Kime لایه‌های مرزی با انحنای مقعر را برای شدت‌های آشفته تا ۸.۶٪ را بررسی کرد. آنها انتقال عرضی اندازه حرکت را توسط بررسی مرزی در هسته جریان بر روی یک دیوار مقعر گزارش کردند هنگامی که شدت آشفتگی تا ۸.۶٪ بالا رفت.

Simon و Kestoras (۱۹۹۵-۱۹۹۷) تأثیرات شدت آشفتگی بر روی لایه مرزی دیوار و انتقال حرارت را بررسی کردند. شکل ۲-۹۳ تغییرات در ساختار آشفتگی تحت تأثیر ورود منحنی مقعر با شرایط آشفتگی جریان آزاد بالا را نشان می‌دهد آشفتگی جریان آزاد زیاد جریان‌های سرگردان با اندازه حرکت زیاد و در مقیاس وسیع را در جهت جریان از جریان هسته تا لایه مرزی ایجاد می‌کند. در ناحیه داخلی، تأثیرات انحناء بر تأثیر آشفتگی جریان آزاد

حکمفرما است. آگاهی‌های بیشتر درباره لایه مرزی دیوار منحنی ممکن است از مقاله Kim و Kestoras و Simon بدست آید.

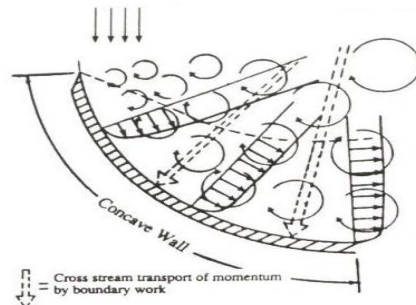


Figure 2.93

2.8.5- تأثیرات زبری سطح :

زبری توسط عدد رینولدز زبری مشخص می‌شود $K^+ = \int U \frac{F}{V}$ که U_J سرعت اصطکاک و K ارتفاع جزء در المان زبری است.

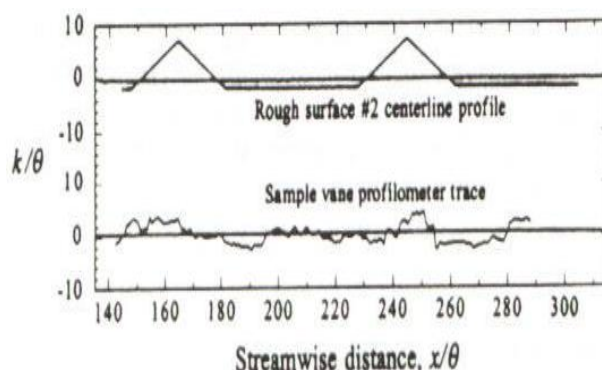
روابط مختلف را برای پیش‌بینی‌های انتقال حرارت بر روی دیوارهای زبر نمایش داد. Blair (۱۹۹۴) اطلاعات خودشان را بر اساس آزمایشات صفحه Yaglom و Kadar (۱۹۷۲)

$$st = \frac{\sqrt{C_F} Pr^{-1}}{4.3 \ln(Rex Cf) + 3.8} \quad (2-15)$$

تخت به صورت زیر نشان دادند.

Bogard (۱۹۹۶) یک بررسی بر روی شبیه‌سازی آزمایشگاهی زبری سطح ایرفویل توربین ارائه کرد. آنها خصوصیات فیزیکی زبری سطح مشاهده شده بر روی اولین استیج را شبیه‌سازی کردند (پره‌های فشار بالا بر روی یک سطح تخت).

شکل ۲-۹۴ یک مقایسه از پره نمونه و مسیرهای پروفیلومتر سطح-زبر را نشان می‌دهد.



پایگاه اینترنتی آب و آهن و آتش (مهندسر)

شکل ۲-۹۵ نتایج انتقال حرارت را برای سطوح نرم و زبر نشان می‌دهد. اطلاعات سطح

زبر با رابطه Kays و Crawford (Crawford و Kays ۱۹۸۰) برای جریان‌های کامل زبر خشن مقایسه گردیدند

(جریان‌های کاملاً زبر برای $Re_{ks} > 70$).

$$St = \frac{C_f}{2} \left(Pr_t + \frac{\left(\frac{C_f}{2} \right)^{0.5}}{St_{ks}} \right)^{-1} \quad (2-16)$$

در جایی که عدد استانتون زبری (St_{ks}) چنین است.

$$St_{ks} = C Re_{ks}^{-0.2} Pr^{-0.4} \quad (2-17)$$

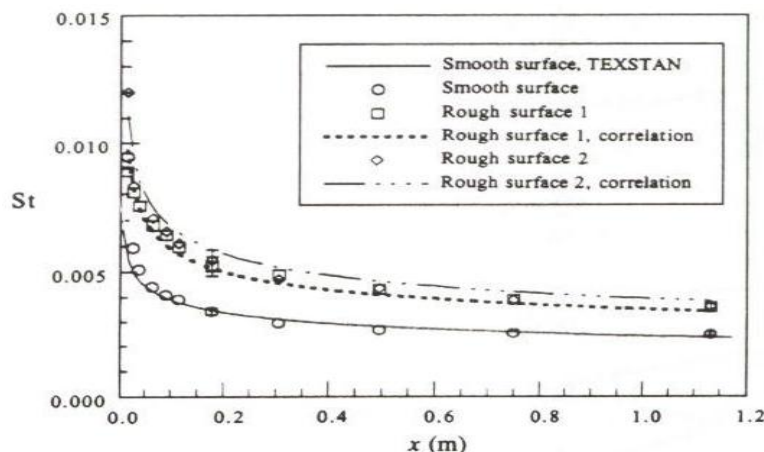


Figure 2.95

نتایج یک افزایش بیش از ۵۰٪ را برای سطوح زبر و خشن نشان می‌دهد. رابطه یک افزایش از

سطح زبر ۱ به سطح زبر ۲ را نشان دادند. در حالیکه سنجش‌ها هیچ تأثیر بعدی در مقادیر زبری را

نشان ندادند. نتایج برای تأثیرات زبری سطح بر روی سطوح تحت اهمیت در نظر گرفتن زبری

سطح را برای طراحان بصورت یک ضریب افزایش انتقال حرارت نشان می‌دهند که ممکن است مستقیماً بر روی عمر عملیاتی مولفه موثر تأثیر بگذارد.

2-9 - خاتمه :

طراحان ایرفویل توربین لازم است هر کدام از تأثیرات فوق را در طراحی خودشان در نظر بگیرند. بستگی به نیازهای عملیاتی ایرفویل‌ها در شرایط متغیر عمل می‌کنند که ممکن است باعث یک ترکیب آمیخته از هر کدام از تأثیرات شود. شبیه‌سازی یک ترکیب از تمام پارامترها و آزمایشات تحت شرایط واقعی امری دشوار است. نیاز به در نظر گرفتن روابط CFD برای کاهش زحمت بر روی روابط بدست آمده تجربی وجود دارد. با این حال محاسبات CFD لازم است تا با بعضی نتایج آزمایشی موجود سازگار باشد. پیش‌بینی‌های دقیق توسط کدهای CFD هنوز با انطباق نیازهای طراحان ایرفویل فاصله دارد.

